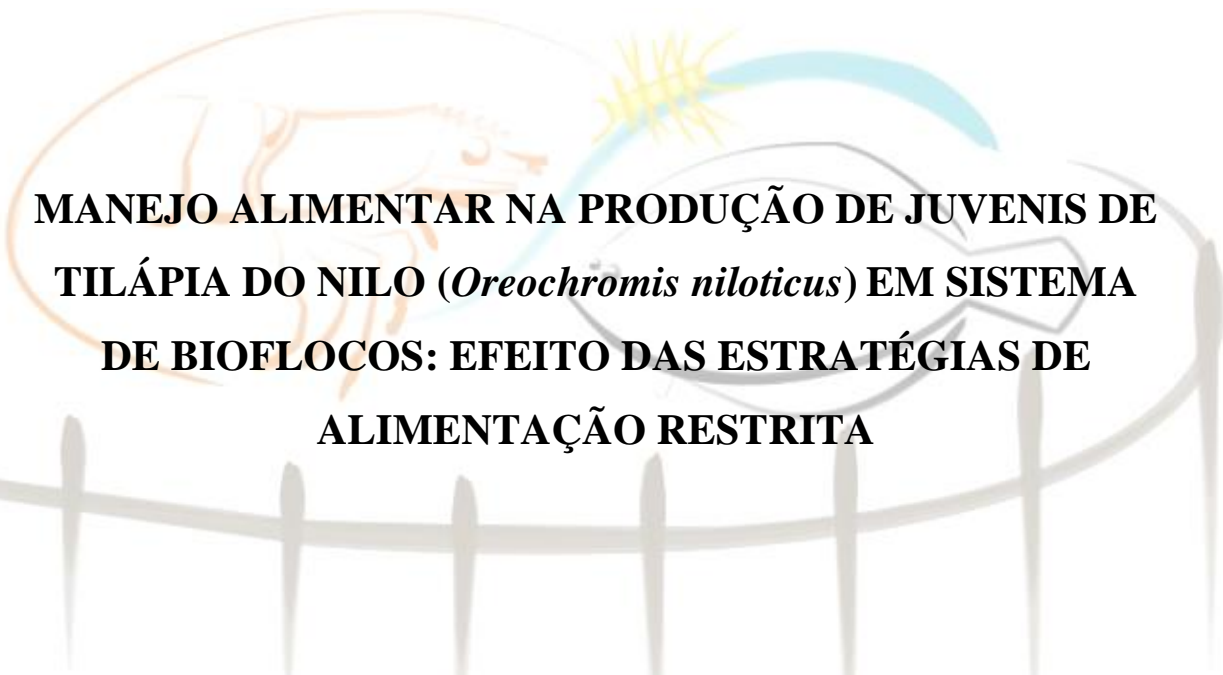




**UNIVERSIDADE FEDERAL DO RIO GRANDE – FURG**  
**INSTITUTO DE OCEANOGRAFIA**  
**PROGRAMA DE PÓS-GRADUAÇÃO EM AQUICULTURA**

The background of the title page features a faint, artistic illustration of a Nile tilapia fish in a biofloc system. The fish is depicted in a light brown color, swimming in a circular tank. The water is represented by a light blue arc, and there are yellow, starburst-like shapes representing bioflocs. The tank is supported by a grey frame with vertical posts.

**MANEJO ALIMENTAR NA PRODUÇÃO DE JUVENIS DE  
TILÁPIA DO NILO (*Oreochromis niloticus*) EM SISTEMA  
DE BIOFLOCOS: EFEITO DAS ESTRATÉGIAS DE  
ALIMENTAÇÃO RESTRITA**

**Luciana Kelly Oliveira Silva**

**Rio Grande – RS, Brasil**

**Fevereiro, 2023**

**UNIVERSIDADE FEDERAL DO RIO GRANDE – FURG**  
**INSTITUTO DE OCEANOGRAFIA**  
**PROGRAMA DE PÓS-GRADUAÇÃO EM AQUICULTURA**

**MANEJO ALIMENTAR NA PRODUÇÃO DE JUVENIS DE  
TILÁPIA DO NILO (*Oreochromis niloticus*) EM SISTEMA  
DE BIOFLOCOS: EFEITO DAS ESTRATÉGIAS DE  
ALIMENTAÇÃO RESTRITA**

**Luciana Kelly Oliveira Silva**

Tese apresentada como parte dos requisitos para  
obtenção do grau de **Doutora em Aquicultura**  
em Aquicultura no Programa de Pós-Graduação  
em Aquicultura da Universidade Federal do Rio  
Grande – FURG.

Orientador: Dr. Marcelo Borges Tesser

Co-orientador: Dr. Wilson Wasielesky

**Rio Grande – RS, Brasil**

**Fevereiro, 2023**

## Ficha Catalográfica

S586m Silva, Luciana Kelly Oliveira.  
Manejo alimentar na produção de juvenis de Tilápia do Nilo  
(*Oreochromis niloticus*) em sistema de bioflocos: efeito das  
estratégias de alimentação restrita / Luciana Kelly Oliveira Silva. –  
2023.

170 f.

Tese (doutorado) – Universidade Federal do Rio Grande –  
FURG, Programa de Pós-Graduação em Aquicultura, Rio  
Grande/RS, 2023.

Orientador: Dr. Marcelo Borges Tesser.

Coorientador: Dr. Wilson Wasielesky.

1. BFT 2. Alimentação 3. Sólidos 4. Crescimento compensatório  
5. Juvenis 6. Eficiência alimentar I. Tesser, Marcelo Borges  
II. Wasielesky, Wilson III. Título.

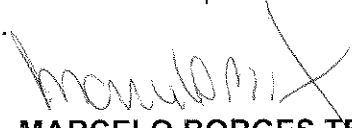
CDU 639.3.05

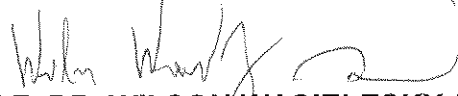
Catálogo na Fonte: Bibliotecário José Paulo dos Santos CRB 10/2344

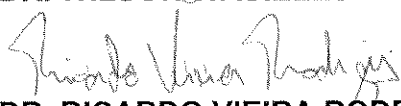
ATA 02/2023

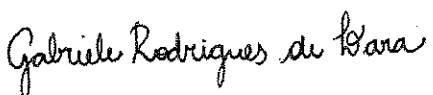
DE DEFESA DA 79ª TESE DE DOUTORADO EM AQUICULTURA

No dia vinte e sete de fevereiro de dois mil e vinte e três, às quatorze horas, reuniu-se a Banca Examinadora de Tese de Doutorado em Aquicultura, da **LUCIANA KELLY OLIVEIRA SILVA**, orientado pelo Prof. Dr. Marcelo Borges Tesser composta pelos seguintes membros: Prof. Dr. Marcelo Borges Tesser (orientador – IO/FURG), Prof. Dr. Wilson Wasielesky (coorientador - IO/FURG), Prof. Dr. Ricardo Vieira Rodrigues (IO/FURG), Dr.ª Gabriele Rodrigues de Lara (PUCV - Chile) e o Prof. Dr. Ricardo Bertheaux Robaldo (UFPel). Título da Tese: “**MANEJO ALIMENTAR NA PRODUÇÃO DE JUVENIS DE TILÁPIA DO NILO (*Oreochromis niloticus*) EM SISTEMA DE BIOFLOCOS: EFEITO DAS ESTRATÉGIAS DE ALIMENTAÇÃO RESTRITA.**” Dando início à defesa, o Coordenador do PPGAq Prof. Dr. Ricardo Vieira Rodrigues, passou a presidência da sessão ao Prof. Dr. Marcelo Borges Tesser, que na qualidade de orientador, passou a palavra para o candidato apresentar a Tese. Após ampla discussão entre os membros da Banca e o candidato, a Banca se reuniu sob a presidência do Coordenador. Durante esse encontro ficou estabelecido que as sugestões dos membros da Banca Examinadora devem ser incorporadas na versão final da Tese, ficando a cargo do Orientador o cumprimento desta decisão. A candidata **LUCIANA KELLY OLIVEIRA SILVA** foi considerada **APROVADA**, devendo a versão definitiva da Tese ser entregue a Secretaria do PPGAq, no prazo estabelecido nas Normas Complementares do Programa. Nada mais havendo a tratar, foi lavrada a presente ata, que após lida e aprovada, será assinada pela Banca Examinadora, pelo candidato e pelo Coordenador do PPGAq.

  
PROF. DR. MARCELO BORGES TESSER (ORIENTADOR – IO/FURG)

  
PROF. DR. WILSON WASIELESKY (COORIENTADOR - IO/FURG)

  
PROF. DR. RICARDO VIEIRA RODRIGUES (IO/FURG)



PROF.ª DR.ª GABRIELE RODRIGUES DE LARA (PUCV - Chile)

PROF. DR. RICARDO BERTEAUX ROBALDO (UFPel) 

Documento assinado digitalmente

RICARDO BERTEAUX ROBALDO

Data: 28/02/2023 17:11:04-0300

Verifique em <https://verificador.iti.br>

LUCIANA KELLY OLIVEIRA SILVA 

Documento assinado digitalmente

LUCIANA KELLY OLIVEIRA SILVA

Data: 02/03/2023 14:55:53-0300

Verifique em <https://verificador.iti.br>

  
PROF. DR. RICARDO VIEIRA RODRIGUES (coordenador do PPGAq)

## INDICE

RESUMO GERAL.....	vi
GENERAL ABSTRACT.....	viii
INTRODUÇÃO GERAL .....	10
OBJETIVOS .....	15
Objetivo geral .....	15
Objetivos específicos.....	15
REFERÊNCIAS.....	16
Capítulo I: Fish culture in biofloc technology (BFT): insights on stocking density, carbon sources, C/N ratio, fish nutrition and health .....	29
ANEXO I: Tabelas .....	75
Capítulo II: Efeitos da restrição alimentar sobre juvenis de tilápia do Nilo ( <i>Oreochromis niloticus</i> ) mantidos em sistema de bioflocos .....	81
ANEXO I: Tabelas .....	111
ANEXO II: Figuras .....	118
Capítulo III: Os bioflocos são capazes de sustentar o crescimento de juvenis de tilápia-do-Nilo ( <i>Oreochromis niloticus</i> ) submetidos à restrição alimentar cíclica?.....	122
ANEXO I: Tabelas .....	157
ANEXO II: Figuras .....	163
CONCLUSÃO GERAL .....	166
PERSPECTIVAS FUTURAS.....	168

*“É justo que muito custe o que muito vale”*

Santa Teresa de Jesus

## DEDICATÓRIA

Dedico essa tese as pessoas que tanto se dedicam a mim: aos meus pais, **Lucia Oliveira** e **Assis Silva**, ao meu irmão **Lucas Eduardo**, a minha irmã do coração **Verônica Rodrigues** e a minha avó **Djanira Oliveira** *in memoriam*.

Vocês são a “**minha riqueza**”.

## AGRADECIMENTOS

Agradeço à força da natureza onipresente, onisciente e onipotente a qual chamamos de Deus. Se há ciência, ela existe por que Deus assim permitiu.

Agradeço a minha família por ser minha fortaleza e minha fonte diária e incondicional de amor. Em especial a minha mãe, minha inspiração de força, coragem, perseverança e determinação. Com vocês eu posso tudo!

Agradeço ao meu orientador, Prof. Dr. Marcelo Borges Tesser pelo tempo, paciência, ensinamentos, confiança e orientação, mas principalmente por não me deixar em uma zona de conforto durante esses 4 anos de trabalho juntos. Afinal, *“o fruto não cai longe do pé”*.

Agradeço ao meu co-orientador, Prof. Dr. Wilson Wasielesky pela confiança, conversas e conselhos. Nosso encontro profissional há muito tempo estava escrito.

Agradeço ao meu co-autor, Prof. Dr. Dariano Krumennauer pelo cuidado e a atenção dispensada a mim desde a minha chegada a Estação Marinha de Aquicultura/EMA.

Agradeço aos professores Dr. Luís André Sampaio e Dr. Ricardo Vieira Rodrigues por todo o suporte, atenção, conversas e convivência durante esses anos na EMA.

Um agradecimento especial a Msc. Ingrid Ribeiro, Dra. Olivia Menossi, Dr. Marcelo Okamoto, Msc. Thaíse Zancan e a Anne Gomes pela amizade. Vocês fizeram minha vida ao longo do doutorado muito mais leve, e seguraram a minha mão nos momentos mais difíceis.

Agradeço ao Msc. Ítalo Braga pela amizade, pelo tempo, pela parceria e por de certa forma ser uma referência de família no sul do sul do Brasil.

Agradeço aos queridos Dr. Rafael Buitrago, Msc. Aline Bezerra e Msc. Thaise Zancan que de alguma forma contribuíram muito no esforço de análise nesse último semestre do doutorado.

Agradeço a Enoe Amorim, Luís Arthur Silva, Raquel dos Anjos e a Kelviane Gomes pela amizade de tantos anos, e por me apoiarem em todas as decisões que me trouxeram até aqui. Da UFC pra vida!

Um agradecimento especial ao Dr. Álvaro Bicudo por acreditar em mim, quando eu mesma não acreditava que seria possível, por plantar a semente e por me preparar para trilhar um doutorado.

Agradeço a FURG, e ao Programa de Pós-graduação em Aquicultura pela oportunidade de formação profissional.

Agradeço a CAPES por resistir a tentativa de desmonte da educação superior e da ciência brasileira nos últimos 4 anos, e manter o incentivo acadêmico o qual contribuiu para o desenvolvimento da presente tese, e para minha formação profissional.

Também não poderia deixar de agradecer ao retirante nordestino, torneiro mecânico, metalúrgico que tantas vezes foi acusado de analfabeto, porém foi o presidente do Brasil

que mais investiu na educação e na ciência brasileira. Obrigada presidente Lula, por sonhar e nos fazer sonhar com a universidade grande, forte, pintada de povo, cheia de mulheres, negras, nordestinas e filhas da classe trabalhadora.

“A gratidão traz junto dela uma série de outros sentimentos, como amor, fidelidade, amizade e muito mais, diz-se que a gratidão é um sentimento muito nobre”.

## 1 **RESUMO GERAL**

2 A presente tese é composta por três capítulos que abordam a criação de peixes em  
3 sistema de bioflocos com ênfase no manejo alimentar de juvenis de tilápia do Nilo  
4 (*Oreochromis niloticus*) com o objetivo de determinar a contribuição dos agregados  
5 microbianos frente a restrição de alimento inerte. Como primeiro capítulo apresentamos  
6 uma revisão sobre a criação de peixes em sistema BFT com *insights* sobre os principais  
7 parâmetros de manejo do sistema que influenciam diretamente os peixes, especialmente  
8 o uso dos agregados microbianos como alimento. O segundo capítulo aborda a restrição  
9 total de alimento inerte ao longo de semanas com o objetivo de avaliar o potencial do  
10 bioflocos na manutenção e sustentação do crescimento dos peixes. O terceiro e último  
11 capítulo consistiu na avaliação do potencial do bioflocos no desempenho zootécnico dos  
12 peixes em ciclos combinando restrição e alimentação. Os estudos experimentais foram  
13 conduzidos em sistema de bioflocos estáticos composto por 15 unidade experimentais  
14 isoladas afim de avaliar a influência dos diferentes manejos alimentares sobre a  
15 concentração dos sólidos, a qualidade nutricional dos bioflocos e a composição da  
16 comunidade microbiana. Em ambos, os ensaios durante o período de alimentação os  
17 animais receberam ração comercial em três refeições diárias (9h, 13h e 17h) *ad libitum*.  
18 Os peixes foram avaliados quanto ao seu desempenho, sua condição corporal e  
19 composição química corporal, exceto no capítulo II onde foram adicionalmente  
20 avaliados os parâmetros hematológicos. A qualidade da água foi monitorada ao longo  
21 do ensaio, e quando necessário, as medidas corretivas foram aplicadas. Com isso  
22 manteve-se os parâmetros dentro dos ranges estabelecidos para a espécie e para a  
23 operação do sistema. Os bioflocos foram significativamente influenciados pelos  
24 manejos empregados, e sua composição nutricional interferiu na capacidade de  
25 compensação de crescimento dos peixes, posto que sua composição foi reflexo do

26 aporte de nutrientes via ração. Contudo, os bioflocos foram capazes de compensar o  
27 crescimento totalmente nas seguintes condições: sob restrição total de alimento inerte  
28 por até uma semana, e sob restrição parcial em ciclos de 1 dia de restrição/6 dia de  
29 alimentação. Nossos resultados demonstram que os bioflocos são aliados importantes no  
30 manejo alimentar de juvenis de tilápia, ao contribuir com a melhoria da eficiência  
31 alimentar, na economia de ração, em situações de baixa provisão dos estoques de ração  
32 e na manutenção estratégica de estoques de juvenis de tilápia para atender uma alta  
33 demanda de mercado, especialmente nas regiões sul e sudeste do país.

34 **Palavras-chave:** BFT, alimentação; sólidos; crescimento compensatório; juvenis;  
35 eficiência alimentar.

36

37

38 .

39

40

41

42

43

44

45

46

47

48

49

50

## 51 **GENERAL ABSTRACT**

52 The present thesis is composed of three chapters that address the rearing of fish in a  
53 biofloc system with emphasis on the feeding management of Nile tilapia juveniles  
54 (*Oreochromis niloticus*), with the objective of determining the contribution of microbial  
55 aggregates to the restriction of inert food. In the first chapter, we present a review of  
56 fish culture in a BFT system, with insights into the main management parameters of the  
57 system that directly influence fish, especially the use of microbial aggregates as food.  
58 The second chapter addresses the total restriction of inert food over weeks to evaluate  
59 the potential of bioflocs to maintain and sustain fish growth. The third and last chapters  
60 evaluated the potential of bioflocs in the growth performance of fish in cycles  
61 combining restriction and feeding. The experimental studies were carried out in a static  
62 biofloc system composed of 15 isolated experimental units to evaluate the influence of  
63 different feeding practices on the solids concentration, nutritional quality of the  
64 bioflocs, and composition of the microbial community. During the feeding period in  
65 both trials, the animals received commercial feed in three daily meals (9:00, 13:00, and  
66 17:00), ad libitum. The fish were evaluated for their performance, body condition, and  
67 body chemical composition, except in Chapter II, where hematological parameters were  
68 evaluated. Water quality was monitored throughout the trial and corrective measures  
69 were applied when necessary. With this, the parameters were maintained within the  
70 ranges established for the species and for the operation of the system. The management  
71 used significantly influenced the bioflocs, and their nutritional composition interfered  
72 with the ability to compensate for the growth of the fish, as their composition was a  
73 reflection of the supply of nutrients via the feed. However, the bioflocs were able to  
74 fully compensate for growth under the following conditions: total inert feed restriction  
75 for up to one week and partial restriction in 1-day restriction/6-day feed cycles. Our

76 results demonstrate that bioflocs are important allies in the feeding management of  
77 tilapia juveniles, by contributing to the improvement of feed efficiency, in feed  
78 economy, in situations of low supply of feedstocks, and in the strategic maintenance of  
79 tilapia juvenile stocks to meet a high market demand, especially in the southern and  
80 southeastern regions of the country.

81

82 **Keywords:** BFT, food; solids; compensatory growth; juveniles; food efficiency.

83

84

85

86

87

88

89

90

91

92

93

94

95

96

97

98

99

100

101

102

103

## 1 **INTRODUÇÃO GERAL**

2           Em sistemas aquícolas intensivos, a aquisição de rações nutricionalmente  
3 completas representa de 40 a 60% dos custos de produção (Arru et al., 2019; Kaleem  
4 and Bio Singou Sabi, 2021). Devido à forte influência desse insumo nas despesas de  
5 criação, é fundamental a otimização dos regimes alimentares, por meio de programas de  
6 manejo que considerem os aspectos nutricionais, econômicos e o próprio sistema de  
7 produção. O manejo alimentar pode ser entendido como o ato de fornecer alimento aos  
8 animais confinados. As estratégias de manejo alimentar governam a entrega de alimento  
9 através de um conjunto de práticas que envolvem a quantidade – taxa de  
10 alimentação/arraçoamento –, o número de refeições por dia – frequência de alimentação  
11 –, sazonalidade – restrição de alimento – e a qualidade do alimento – tipo de ração – a  
12 ser ofertado (An and Anh, 2020; Attia et al., 2012; Busti et al., 2020; Rahman et al.,  
13 2022). Essas práticas são importantes para obtenção do máximo crescimento dos  
14 organismos criados em cativeiro sem, no entanto, impactar a sustentabilidade da  
15 produção (Cadorin et al., 2022; Mihelakakis et al., 2002).

16           Períodos de privação alimentar são muito comuns no ambiente natural  
17 ocasionados por fatores bióticos e abióticos (Mehner and Wieser, 1994) que promovem  
18 flutuações na disponibilidade de alimento. Frente a escassez de alimento, os vertebrados  
19 ectotérmicos, com suas taxas metabólicas mais baixas são resistentes à períodos  
20 prolongados de jejum (Wang et al., 2006). Em condições alimentares restritas, os  
21 processos fisiológicos essenciais relacionados à manutenção e conservação do  
22 metabolismo basal são priorizados pelo organismo, e recebem a energia anteriormente  
23 direcionada ao processo de crescimento e armazenamento (Pujante et al., 2015). Um  
24 conjunto de respostas fisiológicas à restrição alimentar ocorrem como por exemplo, a  
25 redução do peso dos órgãos, o fator de condição e o crescimento. Em parte, esses

26 processos são apoiados pela modulação da expressão de uma variedade de genes  
27 associados ao sistema GH/IGF-I (hormônio de crescimento/fatores de crescimento  
28 semelhantes à insulina tipo 1) (MacKenzie et al., 1998).

29 Os peixes exibem três fases comportamentais em resposta a escassez de  
30 alimento: a) intensificação da atividade locomotora a fim de ampliar a chance de  
31 encontro do alimento; b) redução da locomoção e da atividade metabólica frente a  
32 ausência contínua do alimento; e c) com a disponibilidade do alimento realiza a  
33 transformação dos nutrientes em substância corporal o mais rápido possível. Quando  
34 restabelecidas as condições favoráveis os animais apresentam uma fase de crescimento  
35 acelerado, conhecido como crescimento compensatório (Ali et al., 2003; C. Py et al.,  
36 2022). Esse fenômeno pode ser classificado em diferentes graus de compensação: a)  
37 sobrecompensação, quando os animais submetidos a restrição ultrapassam o  
38 crescimento dos animais continuamente alimentados com a mesma idade; b) compensação  
39 total, após a realimentação os indivíduos alcançam o tamanho daqueles não restritos  
40 durante o mesmo período; c) compensação parcial, refere-se aqueles que não atingem o  
41 mesmo tamanho dos contemporâneos continuamente alimentados; e d) não  
42 compensação, caracterizada pela não ocorrência de respostas compensatórias durante o  
43 período de realimentação, ou seja, os animais não apresentam crescimento algum (Ali et  
44 al., 2003; Hornick et al., 2000; Clara Py et al., 2022).

45 A quantidade e a qualidade dos nutrientes presentes no ambiente  
46 influenciam fortemente o crescimento dos organismos, desta forma a privação de  
47 alimento pode alterar o desenvolvimento dos animais, assim como seus mecanismos de  
48 regulação do crescimento (Bertucci et al., 2019; Chantranupong et al., 2015; Chen et al.,  
49 2019). Existem diferentes métodos para a indução do crescimento compensatório como  
50 protocolos de restrição, restrição/realimentação e manipulação de nutrientes na dieta

51 (Ali et al., 2003; Cho and Heo, 2011; de Macêdo et al., 2021). Diferentes fatores podem  
52 influenciar essas respostas como espécie, idade, tamanho, estoque energético (Jafari et  
53 al., 2019), a intensidade da privação do alimento e a condição nutricional dos peixes  
54 (Favero et al., 2020, 2019; McCue, 2010). Os estudos indicam que os órgãos digestivos  
55 são muito sensíveis à privação de alimentos. Muitas espécies de vertebrados  
56 ectotérmicos expressam mudanças nos órgãos gastrointestinais em resposta ao jejum  
57 (Wang et al., 2006), como a atividade enzimática digestiva (Chan et al., 2008; LÓPEZ-  
58 Vásquez e Castro-Pérez, 2009), alterações bioquímicas e morfológicas no fígado e  
59 intestino (RIOS et al., 2004, 2007, 2009). Além disso, os parâmetros hematológicos  
60 podem ser influenciados em função da restrição alimentar (Akbari and Jahanbakhshi,  
61 2016; Kim et al., 2014; Moustafa and El-kader, 2017; Yarmohammadi et al., 2015).

62 O estudo do crescimento compensatório ultrapassa o campo teórico,  
63 podendo ser aplicado na aquicultura (Jobling et al., 1994; Clara Py et al., 2022). No  
64 ambiente aquícola a privação de alimentos não é frequente; contudo a adequada  
65 exploração desse fenômeno pode proporcionar melhorias na eficiência alimentar,  
66 aumento nas taxas de crescimento, otimização da qualidade da carne para consumo  
67 humano (Heide et al., 2006; Lippe et al., 2021; Suárez et al., 2010) e consequente  
68 redução de custos de produção. Um grande número de trabalhos tem se dedicado a  
69 explorar a utilização dos efeitos do jejum e restrição proteica na produção animal, sendo  
70 a aquicultura e seus diferentes sistemas um vasto campo a ser pesquisado. A princípio a  
71 ocorrência de respostas compensatórias foi explorada principalmente em salmão do  
72 Atlântico, *Salmon salar* (Hevrøy et al., 2011) e truta arco-íris, *Oncorhynchus mykiss*  
73 (Higgins et al., 2005). No entanto, outras espécies como bacalhau do Atlântico, *Gadus*  
74 *mohua* L. (Olsen et al., 2008), alabote do Atlântico, *Hippoglossus hippoglossus* (Foss et  
75 al., 2009; Heide et al., 2006), esturjão siberiano, *Acipenser baerii* (Babaei et al., 2016;

76 Jafari and Falahatkar, 2018), enguia europeia, *Anguilla anguilla* (Caruso et al., 2010;  
77 Gisbert et al., 2011), dourada, *Sparus aurata* (Bavčević et al., 2010), robalo europeu,  
78 *Sea bass* (Chatzifotis et al., 2011), atum amarelo, *Seriola rivoliana* (Argüello-Guevara  
79 et al., 2018), incluindo peixes neotropicais como a matrinxã, *Brycon amazonicus*  
80 (Urbinati et al., 2014), o jundiá, *Rhamdia quelen* (Barcellos et al., 2010), curimatá,  
81 *Prochilodus lineatus* (Rios et al., 2011) têm recebido a atenção dos pesquisadores.

82           Nesse campo de estudo há uma elevada heterogeneidade nos resultados  
83 gerados, não havendo um consenso sobre qual protocolo deverá ser empregado para a  
84 obtenção de respostas compensatórias. Dentre as espécies estudadas encontra-se a  
85 tilápia (*Oreochromis sp.*), um ciclídeo africano introduzido em muitas regiões tropicais,  
86 subtropicais e temperadas do mundo (El-Sayed, 2006). Sua escolha como modelo  
87 experimental consiste na sua importância como recurso aquícola. Embora seja uma  
88 espécie exótica, a *Oreochromis niloticus*, corresponde a 62,3% da piscicultura brasileira  
89 (IBGE, 2020). Estudos anteriores demonstram a capacidade dessa espécie em responder  
90 a restrição alimentar apresentando diferentes graus de compensação (Abdel-Tawwab et  
91 al., 2006; Liu et al., 2019; Sakyi et al., 2020; Wang et al., 2000). No Brasil, a criação de  
92 tilápia está amplamente difundida através de diferentes sistemas e regimes de produção  
93 como viveiros escavados, tanques-rede de pequeno e grande volume e sistemas de  
94 recirculação. Mais recentemente, o emprego da tecnologia de bioflocos (BFT) tem se  
95 tornado uma alternativa de sucesso aos sistemas de cultivo tradicionais (Liu et al.,  
96 2018), por meio do manejo controlado do ambiente e a dinâmica microbiana que  
97 permitem a manutenção da qualidade de água (Wasielesky Jr. et al., 2006), maior  
98 densidade de cultivo (Adineh et al., 2019; Battisti et al., 2020; Haridas et al., 2017),  
99 melhora na saúde dos animais através do seu efeito probiótico (Hostins et al., 2017).

100                   A comunidade microbiana representa uma fonte considerável de nutrientes  
101 como proteínas, lipídios, vitaminas, sais minerais, compostos bioativos e ácidos graxos  
102 disponíveis “*in situ*” com potencial valor nutricional para a aquicultura (Khanjani et al.,  
103 2023; Oliveira et al., 2022). Essa característica nutricional possibilita a manipulação do  
104 aporte de alimento a ser ofertados aos organismos aquáticos, o que favorece a eficiência  
105 alimentar e conseqüentemente a redução nos custos com alimentação (Cavalcanti Nery  
106 et al., 2019; Correa et al., 2020; Ekasari et al., 2015; Pérez-Fuentes et al., 2018; Rocha  
107 et al., 2019; Wasielesky Jr. et al., 2006). Essa produtividade natural do sistema BFT  
108 permite explorar diferentes manejos de alimentação em espécies com potencial para o  
109 aproveitamento da matéria orgânica em suspensão como alimento (Cavalcante et al.,  
110 2017; Cavalcanti Nery et al., 2019; Correa et al., 2020; Hisano et al., 2021; Lara et al.,  
111 2017; Mabroke et al., 2021; Oliveira et al., 2021; Pérez-Fuentes et al., 2018; Rocha et  
112 al., 2019; Silva et al., 2020). Em sistema BFT, a criação da tilápia do Nilo  
113 (*Oreochromis niloticus*) tem sido amplamente investigada (Khanjani et al., 2022).  
114 Entretanto, o manejo alimentar considerando o alimento “*in situ*” proporcionado pelo  
115 sistema continua pouco explorado, em especial aos aspectos relacionados a restrição de  
116 alimento inerte.

117

118

119

120

121

122

## 123 **OBJETIVOS**

### 124 **Objetivo geral**

125 Determinar a contribuição dos agregados microbianos no desempenho zootécnico  
126 de juvenis de tilápia-do-Nilo (*Oreochromis niloticus*) submetidos a diferentes técnicas  
127 de manejo alimentar restritivo em sistema de bioflocos.

### 128 **Objetivos específicos**

- 129 • Descrever os aspectos produtivos da criação de peixes em sistema de bioflocos,  
130 e a aplicação dos agregados microbianos na nutrição e saúde dos peixes  
131 (capítulo I);
- 132 • Avaliar os efeitos da restrição alimentar por um período de 28 dias no  
133 desempenho zootécnico e hematologia de juvenis de tilápia-do-Nilo  
134 (*Oreochromis niloticus*) em sistema de bioflocos (capítulo II);
- 135 • Avaliar a utilização de diferentes ciclos curtos de restrição e realimentação no  
136 desempenho zootécnico de juvenis de tilápia-do-Nilo (*Oreochromis niloticus*)  
137 em sistema de bioflocos durante 77 dias (capítulo III);
- 138 • Observar se os agregados microbianos estimulam a ocorrência de crescimento  
139 compensatório nos peixes quando submetidos a restrição cíclica de alimento  
140 inerte em sistema BFT (capítulo III);
- 141 • Avaliar a influência restrição alimentar sobre a condição corporal dos peixes e  
142 sua composição química (capítulo II e III);
- 143 • Avaliar os efeitos dos manejos de alimentação sobre a composição nutricional  
144 dos flocos microbianos (capítulo II e III);
- 145 • Verificar os efeitos dos manejos de alimentação sobre a composição da  
146 comunidade microbiana dos bioflocos (capítulo II e III).

147 **REFERÊNCIAS**

- 148 Abdel-Tawwab, M., Khattab, Y.A.E., Ahmad, M.H., Shalaby, A.M.E., 2006.  
149 Compensatory Growth, Feed Utilization, Whole-Body Composition, and  
150 Hematological Changes in Starved Juvenile Nile Tilapia, *Oreochromis niloticus*  
151 (L.). Journal of Applied Aquaculture 18, 17–36.  
152 [https://doi.org/http://dx.doi.org/10.1300/J028v18n03\\_02](https://doi.org/http://dx.doi.org/10.1300/J028v18n03_02)
- 153 Adineh, H., Naderi, M., Khademi Hamidi, M., Harsij, M., 2019. Biofloc technology  
154 improves growth, innate immune responses, oxidative status, and resistance to  
155 acute stress in common carp (*Cyprinus carpio*) under high stocking density. Fish  
156 and Shellfish Immunology 95, 440–448. <https://doi.org/10.1016/j.fsi.2019.10.057>
- 157 Akbary, P., Jahanbakhshi, A., 2016. Effect of starvation on growth, biochemical,  
158 hematological and non-specific immune parameters in two different size groups of  
159 grey mullet, *Mugil cephalus* (Linnaeus, 1758). Acta Ecologica Sinica 36, 205–211.  
160 <https://doi.org/10.1016/j.chnaes.2016.04.008>
- 161 Ali, M., Nieceza, A., Wootton, R., 2003. Compensatory growth in fishes. Fish and  
162 fishries 4, 147–190.
- 163 An, B.N.T., Anh, N.T.N., 2020. Co-culture of Nile tilapia (*Oreochromis niloticus*) and  
164 red seaweed (*Gracilaria tenuistipitata*) under different feeding rates: effects on  
165 water quality, fish growth and feed efficiency. Journal of Applied Phycology 32,  
166 2031–2040. <https://doi.org/10.1007/S10811-020-02110-7/TABLES/5>
- 167 Argüello-Guevara, W., Apolinario, W., Bohórquez-Cruz, M., Reinoso, S., Rodríguez,  
168 S., Sonnenholzner, S., 2018. Effects of intermittent feeding on water quality, skin  
169 parasites, feed consumption, and growth performance of juvenile longfin yellowtail

- 170 *Seriola rivoliana* (Valenciennes, 1833). *Aquaculture Research* 49, 3586–3594.  
171 <https://doi.org/10.1111/are.13825>
- 172 Arru, B., Furesi, R., Gasco, L., Madau, F., Pulina, P., 2019. The Introduction of Insect  
173 Meal into Fish Diet: The First Economic Analysis on European Sea Bass Farming.  
174 *Sustainability* 11, 1697. <https://doi.org/10.3390/su11061697>
- 175 Attia, J., Millot, S., Di-Poï, C., Bégout, M.-L., Noble, C., Sanchez-Vazquez, F.J.,  
176 Terova, G., Saroglia, M., Damsgård, B., 2012. Demand feeding and welfare in  
177 farmed fish. *Fish Physiology and Biochemistry* 38, 107–118.  
178 <https://doi.org/10.1007/s10695-011-9538-4>
- 179 Babaei, S., Abedian Kenari, A., Hedayati, M., Yazdani Sadati, M.A., Metón, I., 2016.  
180 Effect of diet composition on growth performance, hepatic metabolism and  
181 antioxidant activities in Siberian sturgeon (*Acipenser baerii*, Brandt, 1869)  
182 submitted to starvation and refeeding. *Fish Physiology and Biochemistry* 42,  
183 1509–1520. <https://doi.org/10.1007/s10695-016-0236-0>
- 184 Barcellos, L.J.G., Marqueze, A., Trapp, M., Quevedo, R.M., Ferreira, D., 2010. The  
185 effects of fasting on cortisol, blood glucose and liver and muscle glycogen in adult  
186 jundiá *Rhamdia quelen*. *Aquaculture* 300, 231–236.  
187 <https://doi.org/10.1016/j.aquaculture.2010.01.013>
- 188 Battisti, E.K., Rabaioli, A., Uczay, J., Sutili, F.J., Lazzari, R., 2020. Effect of stocking  
189 density on growth, hematological and biochemical parameters and antioxidant  
190 status of silver catfish (*Rhamdia quelen*) cultured in a biofloc system. *Aquaculture*  
191 524. <https://doi.org/10.1016/j.aquaculture.2020.735213>
- 192 Bavčević, L., Klanjšček, T., Karamarko, V., Aničić, I., Legović, T., 2010.

193 Compensatory growth in gilthead sea bream (*Sparus aurata*) compensates weight,  
194 but not length. *Aquaculture* 301, 57–63.  
195 <https://doi.org/10.1016/j.aquaculture.2010.01.009>

196 Bertucci, J.I., Blanco, A.M., Sundarrajan, L., Rajeswari, J.J., Velasco, C., Unniappan,  
197 S., 2019. Nutrient regulation of endocrine factors influencing feeding and growth  
198 in fish. *Frontiers in Endocrinology* 10, 1–17.  
199 <https://doi.org/10.3389/fendo.2019.00083>

200 Busti, S., Bonaldo, A., Dondi, F., Cavallini, D., Yúfera, M., Gilannejad, N., Moyano,  
201 F.J., Gatta, P.P., Parma, L., 2020. Effects of different feeding frequencies on  
202 growth, feed utilisation, digestive enzyme activities and plasma biochemistry of  
203 gilthead sea bream (*Sparus aurata*) fed with different fishmeal and fish oil dietary  
204 levels. *Aquaculture* 529, 735616.  
205 <https://doi.org/10.1016/J.AQUACULTURE.2020.735616>

206 Cadorin, D.I., da Silva, M.F.O., Masagounder, K., Fracalossi, D.M., 2022. Interaction  
207 of feeding frequency and feeding rate on growth, nutrient utilization, and plasma  
208 metabolites of juvenile genetically improved farmed Nile tilapia, *Oreochromis*  
209 *niloticus*. *Journal of the World Aquaculture Society* 53, 500–515.  
210 <https://doi.org/10.1111/JWAS.12833>

211 Caruso, G., Maricchiolo, G., Micale, V., Genovese, L., Caruso, R., Denaro, M.G., 2010.  
212 Physiological responses to starvation in the European eel (*Anguilla anguilla*):  
213 Effects on haematological, biochemical, non-specific immune parameters and skin  
214 structures. *Fish Physiology and Biochemistry* 36, 71–83.  
215 <https://doi.org/10.1007/s10695-008-9290-6>

216 Cavalcante, D.D.H., Lima, F.R.D.S., Rebouças, V.T., Sá, M.V.D.C., 2017. Cultivo de  
217 juvenis de tilápia do Nilo, *Oreochromis niloticus* em sistemas convencional,  
218 bioflocos e biofítton sob restrição alimentar. Acta Scientiarum - Animal Sciences  
219 39, 223–228. <https://doi.org/10.4025/actascianimsci.v39i3.33574>

220 Cavalcanti Nery, R., Costa, C.B., Rodrigues, F., Soares, R., Bezerra, R.S., Peixoto, S.,  
221 2019. Effect of feeding frequency on growth and digestive enzyme activity in  
222 *Litopenaeus vannamei* during the grow-out phase in biofloc system. Aquaculture  
223 Nutrition 25, 577–584. <https://doi.org/10.1111/anu.12880>

224 Chantranupong, L., Wolfson, R.L., Sabatini, D.M., 2015. Nutrient-sensing mechanisms  
225 across evolution. Cell 161, 67–83. <https://doi.org/10.1016/J.CELL.2015.02.041>

226 Chatzifotis, S., Papadaki, M., Despoti, S., Roufidou, C., Antonopoulou, E., 2011. Effect  
227 of starvation and re-feeding on reproductive indices, body weight, plasma  
228 metabolites and oxidative enzymes of sea bass (*Dicentrarchus labrax*).  
229 Aquaculture 316, 53–59. <https://doi.org/10.1016/j.aquaculture.2011.02.044>

230 Chen, X., Wang, G., Lu, X., Xu, P., Zeng, S., Chen, Z., Zhu, Q., Li, G., 2019.  
231 Molecular characterization and expression profiles of two insulin-like growth  
232 factor 1 receptors during fasting and re-feeding in *Siniperca chuatsi*. Fisheries  
233 Science 85, 349–360. <https://doi.org/10.1007/s12562-019-01290-7>

234 Cho, S.H., Heo, T.Y., 2011. Effect of dietary nutrient composition on compensatory  
235 growth of juvenile olive flounder *Paralichthys olivaceus* using different feeding  
236 regimes. Aquaculture Nutrition 17, 90–97. [https://doi.org/10.1111/J.1365-  
237 2095.2010.00788.X](https://doi.org/10.1111/J.1365-2095.2010.00788.X)

238 Correa, A. de S., Pinho, S.M., Molinari, D., Pereira, K. da R., Gutiérrez, S.M., Monroy-  
239 Dosta, M. del C., Emerenciano, M.G.C., 2020. Rearing of Nile tilapia

240 (*Oreochromis niloticus*) juveniles in a biofloc system employing periods of feed  
241 deprivation. *Journal of Applied Aquaculture* 32, 139–156.  
242 <https://doi.org/10.1080/10454438.2019.1679319>

243 De Macêdo, É.S., de Almeida, O.C., Lucena, J.E.C., Torres, M.B.A. de M., Bicudo, Á.J.  
244 de A., 2021. Combined effects of dietary starch:Protein ratios and short cycles of  
245 fasting/refeeding on Nile tilapia growth and liver health. *Aquaculture Research* 52,  
246 1139–1149. <https://doi.org/10.1111/ARE.14971>

247 Ekasari, J., Rivandi, D.R., Firdausi, A.P.A.P., Surawidjaja, E.H., Zairin, M., Bossier, P.,  
248 De Schryver, P., 2015. Biofloc technology positively affects Nile tilapia  
249 (*Oreochromis niloticus*) larvae performance. *Aquaculture* 441, 72–77.  
250 <https://doi.org/10.1016/j.aquaculture.2015.02.019>

251 El-Sayed, A.F.M., 2006. *Tilapia culture*, *Tilapia culture*. CABI Publishing, UK, UK.  
252 <https://doi.org/10.1079/9780851990149.0000>

253 Favero, G.C., Boaventura, T.P., Ferreira, A.L., Silva, A.C.F., Porto, L.A., Luz, R.K.,  
254 2019. Fasting/re-feeding and water temperature promote the mobilization of body  
255 reserves in juvenile freshwater carnivorous catfish *Lophiosilurus alexandri*.  
256 *Aquaculture* 511, 734223. <https://doi.org/10.1016/j.aquaculture.2019.734223>

257 Favero, G.C., Gimbo, R.Y., Montoya, L.N.F., Carneiro, D.J., Urbinati, E.C., 2020. A  
258 fasting period during grow-out make juvenile pacu (*Piaractus mesopotamicus*)  
259 leaner but does not impair growth. *Aquaculture* 524.  
260 <https://doi.org/10.1016/j.aquaculture.2020.735242>

261 Foss, A., Imsland, A.K., Vikingstad, E., Stefansson, S.O., Norberg, B., Pedersen, S.,  
262 Sandvik, T., Roth, B., 2009. Compensatory growth in Atlantic halibut : Effect of

263 starvation and subsequent feeding on growth , maturation , feed utilization and fl  
264 esh quality. *Aquaculture* 290, 304–310.

265 <https://doi.org/10.1016/j.aquaculture.2009.02.021>

266 Gisbert, E., Fernández, I., Alvarez-González, C.A., 2011. Prolonged feed deprivation  
267 does not permanently compromise digestive function in migrating European glass  
268 eels *Anguilla anguilla*. *Journal of fish biology* 78, 580–592.

269 <https://doi.org/10.1111/J.1095-8649.2010.02879.X>

270 Haridas, H., Verma, A.K., Rathore, G., Prakash, C., Sawant, P.B., Babitha Rani, A.M.,  
271 2017. Enhanced growth and immuno-physiological response of Genetically  
272 Improved Farmed Tilapia in indoor biofloc units at different stocking densities.  
273 *Aquaculture Research* 48, 4346–4355. <https://doi.org/10.1111/are.13256>

274 Heide, A., Foss, A., Stefansson, S.O., Mayer, I., Norberg, B., Roth, B., Jenssen, M.D.,  
275 Nortvedt, R., Imsland, A.K., 2006. Compensatory growth and fillet crude  
276 composition in juvenile Atlantic halibut : Effects of short term starvation periods  
277 and subsequent feeding 261, 109–117.

278 <https://doi.org/10.1016/j.aquaculture.2006.06.050>

279 Hevrøy, E.M., Azpeleta, C., Shimizu, M., Lanzén, A., Kaiya, H., Espe, M., Olsvik,  
280 P.A., 2011. Effects of short-term starvation on ghrelin, GH-IGF system, and IGF-  
281 binding proteins in Atlantic salmon. *Fish Physiology and Biochemistry* 37, 217–  
282 232. <https://doi.org/10.1007/s10695-010-9434-3>

283 Higgins, A.D., Silverstein, J.T., Engles, J., Wilson, M.E., Rexroad, C.E., Blemings,  
284 K.P., 2005. Starvation Induced Alterations in Hepatic Lysine Metabolism in  
285 Different Families of Rainbow Trout (*Oncorhynchus mykiss*). *Fish Physiology and*

286 Biochemistry 31, 33–44. <https://doi.org/10.1007/s10695-005-4587-1>

287 Hisano, H., Pinheiro, V.R., Losekann, M.E., Moura e Silva, M.S.G., 2021. Effect of  
288 feeding frequency on water quality, growth, and hematological parameters of Nile  
289 tilapia *Oreochromis niloticus* reared using biofloc technology. Journal of Applied  
290 Aquaculture 33, 96–110. <https://doi.org/10.1080/10454438.2020.1715909>

291 Hornick, J.L., Van Eenaeme, C., Gérard, O., Dufrasne, I., Istasse, L., 2000. Mechanisms  
292 of reduced and compensatory growth, in: Domestic Animal Endocrinology.  
293 Elsevier, pp. 121–132. [https://doi.org/10.1016/S0739-7240\(00\)00072-2](https://doi.org/10.1016/S0739-7240(00)00072-2)

294 Hostins, B., Lara, G., Decamp, O., Cesar, D.E., Wasielesky, W., 2017. Efficacy and  
295 variations in bacterial density in the gut of *Litopenaeus vannamei* reared in a BFT  
296 system and in clear water supplemented with a commercial probiotic mixture.  
297 Aquaculture 480, 58–64. <https://doi.org/10.1016/j.aquaculture.2017.07.036>

298 Instituto Brasileiro de Geografia e Estatística, 2020. Pesquisa Pecuária Municipal.  
299 Brasília: IBGE.

300 Jafari, N., Falahatkar, B., 2018. Growth performance and plasma metabolites in juvenile  
301 Siberian sturgeon *Acipenser baerii* (Brandt, 1869) subjected to various feeding  
302 strategies at different sizes 1363–1374.

303 Jafari, N., Falahatkar, B., Sajjadi, M.M., 2019. The effect of feeding strategies and body  
304 weight on growth performance and hematological parameters of Siberian sturgeon  
305 (*Acipenser baerii*, Brandt 1869): Preliminary results. Journal of Applied  
306 Ichthyology 35, 289–295.

307 <https://doi.org/10.1111/jai.13824>

308 Jobling, M., Meløy, O.H., dos Santos, J., Christiansen, B., 1994. The compensatory

309 growth response of the Atlantic cod: effects of nutritional history. *Aquaculture*  
310 *International: Journal of the European Aquaculture Society* 2, 75–90.  
311 <https://doi.org/10.1007/BF00128802>

312 Kaleem, O., Bio Singou Sabi, A.F., 2021. Overview of aquaculture systems in Egypt  
313 and Nigeria, prospects, potentials, and constraints. *Aquaculture and Fisheries* 6,  
314 535–547. <https://doi.org/10.1016/J.AAF.2020.07.017>

315 Khanjani, M.H., Mozanzadeh, M.T., Sharifinia, M., Emerenciano, M.G.C., 2023.  
316 Biofloc: A sustainable dietary supplement, nutritional value and functional  
317 properties. *Aquaculture* 562, 738757.  
318 <https://doi.org/10.1016/j.aquaculture.2022.738757>

319 Khanjani, M.H., Sharifinia, M., Hajirezaee, S., 2022. Recent progress towards the  
320 application of biofloc technology for tilapia farming. *Aquaculture* 552, 738021.  
321 <https://doi.org/10.1016/j.aquaculture.2022.738021>

322 Kim, J.H., Jeong, M.H., Jun, J.C., Kim, T.I., 2014. Changes in hematological,  
323 biochemical and non-specific immune parameters of olive flounder, *Paralichthys*  
324 *olivaceus*, following starvation. *Asian-Australasian Journal of Animal Sciences* 27,  
325 1360–1367. <https://doi.org/10.5713/ajas.2014.14110>

326 Lara, G., Honda, M., Poersch, L., Wasielesky, W., 2017. The use of biofilm and  
327 different feeding rates in biofloc culture system: the effects in shrimp growth  
328 parameters. *Aquaculture International* 25, 1959–1970.  
329 <https://doi.org/10.1007/s10499-017-0151-0>

330 Lippe, G., Prandi, B., Bongiorno, T., Mancuso, F., Tibaldi, E., Faccini, A., Sforza, S.,  
331 Stecchini, M.L., 2021. The effect of pre-slaughter starvation on muscle protein

332 degradation in sea bream (*Sparus aurata*): formation of ACE inhibitory peptides  
333 and increased digestibility of fillet. European Food Research and Technology 247,  
334 259–271. <https://doi.org/10.1007/S00217-020-03623-8/FIGURES/6>

335 Liu, G., Zhu, S., Liu, D., Ye, Z., 2018. Effect of the C/N ratio on inorganic nitrogen  
336 control and the growth and physiological parameters of tilapia s fingerlings,  
337 *Oreochromis niloticus* reared in biofloc systems. Aquaculture Research 49, 2429–  
338 2439. <https://doi.org/10.1111/are.13702>

339 Liu, W., Lu, X., Jiang, M., Wu, F., Tian, J., Yang, C., Yu, L., Wen, H., 2019. Effects of  
340 dietary manipulation on compensatory growth of juvenile genetically improved  
341 farmed tilapia (*Oreochromis niloticus*). Fish physiology and biochemistry 45, 21–  
342 32.  
343 <https://doi.org/10.1007/S10695-018-0531-Z>

344 Mabroke, R.S., Zidan, A.E.-N.F., Tahoun, A.-A., Mola, H.R.A., Abo- State, H.,  
345 Suloma, A., 2021. Feeding frequency affect feed utilization of tilapia under biofloc  
346 system condition during nursery phase. Aquaculture Reports 19, 100625.  
347 <https://doi.org/10.1016/j.aqrep.2021.100625>

348 MacKenzie, D.S., VanPutte, C.M., Leiner, K.A.,1998. Nutrient regulation of endocrine  
349 function in fish. Aquaculture 161, 3 –25.  
350 [https://doi.org/10.1016/S0044-8486\(97\)00253-6](https://doi.org/10.1016/S0044-8486(97)00253-6)

351 McCue, M.D., 2010. Starvation physiology: Reviewing the different strategies animals  
352 use to survive a common challenge. Comparative Biochemistry and Physiology - A  
353 Molecular and Integrative Physiology 156, 1–18.  
354 <https://doi.org/10.1016/j.cbpa.2010.01.002>

355 Mehner, T., Wieser, W., 1994. Energetics and metabolic correlates of starvation in  
356 juvenile perch (*Perca fluviatilis*). Journal of Fish Biology.  
357 <https://doi.org/10.1111/j.1095-8649.1994.tb01311.x>

358 Mihelakakis, A., Tsoikas, C., Yoshima-tsu, T., 2002. Optimization of Feeding Rate for  
359 Hatchery-Produced Juvenile Gilthead Sea Bream *Sparus aurata*. Journal of the  
360 World Aquaculture Society 33, 169–175. [https://doi.org/10.1111/j.1749-  
361 7345.2002.tb00491.x](https://doi.org/10.1111/j.1749-7345.2002.tb00491.x)

362 Moustafa, E.M.M., El-kader, M.F.A., 2017. Effects of different starvation intervals and  
363 Refeeding on growth and some hematological parameters in *Oreochromis niloticus*  
364 Monosex fries. Int. J. of Fisheries and Aquatic Studies 5, 171–175.

365 Oliveira, L.K., Pilz, L., Furtado, P.S., Ballester, E.L.C., Bicudo, Á.J. de A., 2021.  
366 Growth, nutritional efficiency, and profitability of juvenile GIFT strain of Nile  
367 tilapia (*Oreochromis niloticus*) reared in biofloc system on graded feeding rates.  
368 Aquaculture 541. <https://doi.org/10.1016/j.aquaculture.2021.736830>

369 Oliveira, L.K., Wasielesky, W., Tesser, M.B., 2022. Fish culture in biofloc technology  
370 (BFT): Insights on stocking density carbon sources, C/N ratio, fish nutrition and  
371 health. Aquaculture and Fisheries. <https://doi.org/10.1016/j.aaf.2022.08.010>

372 Olsen, R.E., Sundell, K., Ringø, E., Myklebust, R., Hemre, G.-I., Hansen, T., Karlsen,  
373 Ø., 2008. The acute stress response in fed and food deprived Atlantic cod, *Gadus*  
374 *morhua* L. Aquaculture 280, 232–241.  
375 <https://doi.org/10.1016/J.AQUACULTURE.2008.05.006>

376 Pérez-Fuentes, J.A., Pérez-Rostro, C.I., Hernández-Vergara, M.P., Monroy-Dosta,  
377 C.M., 2018. Variation of the bacterial composition of biofloc and the intestine of

378 Nile tilapia *Oreochromis niloticus*, cultivated using biofloc technology, supplied  
379 different feed rations. *Aquaculture Research* 49, 3658–3668.  
380 <https://doi.org/10.1111/are.13834>

381 Pujante, I.M., Martos-Sitcha, J.A., Moyano, F.J., Ruiz-Jarabo, I., Martínez-Rodríguez,  
382 G., Mancera, J.M., 2015. Starving/re-feeding processes induce metabolic  
383 modifications in thick-lipped grey mullet (*Chelon labrosus*, Risso 1827).  
384 *Comparative Biochemistry and Physiology Part - B: Biochemistry and Molecular*  
385 *Biology* 180, 57–67. <https://doi.org/10.1016/j.cbpb.2014.10.005>

386 Py, C., Elizondo-González, R., Peña-Rodríguez, A., 2022. Compensatory growth:  
387 Fitness cost in farmed fish and crustaceans. *Reviews in Aquaculture* 14, 1389–  
388 1417. <https://doi.org/10.1111/raq.12656>

389 Py, Clara, Elizondo-González, R., Peña-Rodríguez, A., 2022. Compensatory growth:  
390 Fitness cost in farmed fish and crustaceans. *Reviews in Aquaculture* 14, 1389–  
391 1417. <https://doi.org/10.1111/RAQ.12656>

392 Rahman, M.H., Hasan, M.N., Sarkar, M., Nigar, S., Khan, M.A.S., Khan, M.Z.H., 2022.  
393 Effects of Formulated Fish Feed on Water Quality, Growth Performance, and  
394 Nutritional Properties of Catla Fish, *Catla catla*. *Thalassas* 38, 1155–1164.  
395 <https://doi.org/10.1007/S41208-022-00450-4>

396 Rios, F.S.A., Carvalho, C.S., Pinheiro, G.H.D., Donatti, L., Fernandes, M.N., Rantin,  
397 F.T., 2011. Utilization of endogenous reserves and effects of starvation on the  
398 health of *Prochilodus lineatus* (Prochilodontidae). *Environmental Biology of*  
399 *Fishes* 91, 87–94. <https://doi.org/10.1007/S10641-010-9762-2/FIGURES/5>

400 Rocha, J.V., Silva, J.F., Barros, C., Peixoto, S., Soares, R., 2019. Compensatory growth

401 and digestive enzyme activity of *Litopenaeus vannamei* submitted to feeding  
402 restriction in a biofloc system. *Aquaculture Research* 50, 3653–3662.  
403 <https://doi.org/10.1111/are.14323>

404 Sakyi, M.E., Cai, J., Tang, J., Xia, L., Li, P., Abarike, E.D., Kuebutornye, F.K.A., Jian,  
405 J., 2020. Short term starvation and re-feeding in Nile tilapia (*Oreochromis*  
406 *niloticus*, Linnaeus 1758): Growth measurements, and immune responses.  
407 *Aquaculture Reports* 16. <https://doi.org/10.1016/J.AQREP.2019.100261>

408 Silva, M.A., Alvarenga, É.R., Costa, F.F.B. da, Turra, E.M., Alves, G.F. de O.,  
409 Manduca, L.G., Sales, S.C.M., Leite, N.R., Bezerra, V.M., Moraes, S.G. da S.,  
410 Teixeira, E. de A., 2020. Feeding management strategies to optimize the use of  
411 suspended feed for Nile tilapia (*Oreochromis niloticus*) cultivated in bioflocs.  
412 *Aquaculture Research* 51, 605–615. <https://doi.org/10.1111/are.14408>

413 Suárez, M.D., Martínez, T.F., Sáez, M.I., Morales, A.E., García-Gallego, M., 2010.  
414 Effects of dietary restriction on post-mortem changes in white muscle of sea bream  
415 (*Sparus aurata*). *Aquaculture* 307, 49–55.  
416 <https://doi.org/10.1016/j.aquaculture.2010.07.006>

417 Urbinati, E.C., Sarmiento, S.J., Takahashi, L.S., 2014. Short-term cycles of feed  
418 deprivation and refeeding promote full compensatory growth in the Amazon fish  
419 matrinxã (*Brycon amazonicus*). *Aquaculture* 433, 430–433.  
420 <https://doi.org/10.1016/J.AQUACULTURE.2014.06.030>

421 Wang, T., Hung, C.C.Y., Randall, D.J., 2006. The comparative physiology of food  
422 deprivation: From feast to famine. *Annual Review of Physiology* 68, 223–251.  
423 <https://doi.org/10.1146/annurev.physiol.68.040104.105739>

424 Wang, Y., Cui, Y., Yang, Y., Cai, F., 2000. Compensatory growth in hybrid tilapia,  
425 *Oreochromis mossambicus* x *O. niloticus*, reared in seawater. Aquaculture 189,  
426 101–108. [https://doi.org/10.1016/S0044-8486\(00\)00353-7](https://doi.org/10.1016/S0044-8486(00)00353-7)

427 Wasielesky Jr., W., Atwood, H., Stokes, A., Browdy, C.L., 2006. Effect of natural  
428 production in a zero exchange suspended microbial floc based super-intensive  
429 culture system for white shrimp *Litopenaeus vannamei*. Aquaculture 258, 396–  
430 403. <https://doi.org/10.1016/j.aquaculture.2006.04.030>

431 Yarmohammadi, M., Pourkazemi, M., Kazemi, R., Pourdehghani, M., Hassanzadeh  
432 Saber, M., Azizzadeh, L., 2015. Effects of starvation and re-feeding on some  
433 hematological and plasma biochemical parameters of juvenile Persian sturgeon,  
434 *Acipenser persicus* Borodin, 1897. Caspian Journal of Environmental Sciences 13,  
435 129–140.

436

437

438

439

440

441

442

443

444

445

446

447

448

449

450

451

## CAPÍTULO I

452

453 **Fish culture in biofloc technology (BFT): insights on stocking density, carbon**  
454 **sources, C/N ratio, fish nutrition and health**

455

456 <sup>1</sup>Luciana Kelly Oliveira, <sup>2</sup>Wilson Wasielesky Jr & <sup>1\*</sup>Marcelo Borges Tesser

457

458 <sup>1</sup> Laboratório de Nutrição de Organismos Aquáticos, Instituto de Oceanografia,  
459 Universidade Federal do Rio Grande – FURG - Rua do Hotel, 02 – Cassino – 96201-  
460 900 Rio Grande, RS, Brazil

461

462 <sup>2</sup> Laboratório de Carcinocultura, Instituto de Oceanografia, Universidade Federal do Rio  
463 Grande – FURG - Rua do Hotel, 02 – Cassino – 96201-900 Rio Grande, RS, Brazil

464

465 \* Corresponding author: Laboratório de Nutrição de Organismos Aquáticos - LANOA,  
466 Instituto de Oceanografia, Universidade Federal do Rio Grande – FURG - Rua do  
467 Hotel, 02 – Cassino – 96201-900 Rio Grande, RS, Brazil

468 E-mail adress: [mbtesser@gmail.com](mailto:mbtesser@gmail.com) (Marcelo Borges Tesser)

469

470 Luciana Kelly Oliveira: <https://orcid.org/0000-0003-3381-3975>

471 Wilson Wasielesky Jr: <https://orcid.org/0000-0002-7267-4755>

472 Marcelo Borges Tesser: <https://orcid.org/0000-0003-4818-9829>

473

474

475

476

477

478

479 Artigo publicado no periódico *Aquaculture and Fisheries*.

480 <https://doi.org/10.1016/j.aaf.2022.08.010>

481 **Abstract**

482 The growth of aquaculture demands intense consumption of formulated foods, scarce  
483 natural resources such as water and land. The increase in aquaculture production needs  
484 to be sustainable in several aspects of the activity, including the use of more sustainable  
485 farming systems that provide reduced water demand, less space dependence for  
486 increased production, and availability of complementary natural food. In this  
487 perspective, the biofloc system (BFT), presents itself as a more friendly cultivation  
488 technology as a way to mitigate some impacts of aquaculture production. Much research  
489 has been carried out, addressing different aspects important to the production of fish in  
490 BFT. In this review, we address how stocking density, carbon sources and carbon  
491 nitrogen ration (C/N) affect animal performance and the nutritional value of bioflocs;  
492 the use of microbial aggregates as “*in situ*” and “*ex situ*” food and the benefits in feed  
493 conversion, and their influence on the immune system and disease resistance.

494 **Keywords:** biofloc technology; aquaculture system; natural food; nutritional value; fish  
495 health

496

497

498

499

500

501

502

## 503 **1. Introduction**

504 In the last few decades, aquaculture has experienced accelerated growth,  
505 becoming an important agricultural activity around the world (FAO, 2020). Its  
506 expansion and development are based on the development of new technologies,  
507 breeding systems and advances in research in animal nutrition and health. The increase  
508 in demand for aquaculture products drives the intensification of production, while  
509 simultaneously raising concerns about possible impacts on the environment.

510 High stocking densities demand greater food supply, composed of ingredients  
511 considered of high nutritional value such as fishmeal and fish oil (Glencross, 2009).  
512 Over the years, the inclusion of these items in *aquafeeds* has declined, due to the fall in  
513 fishery production and the variation in supply and prices (FAO, 2020). In practice, the  
514 use of these ingredients in the formulation of feed causes dependence on these  
515 resources, which is not feasible for maintaining the sustainability of fish stocks, and  
516 aquaculture. In conventional cultures, maintaining water quality requires large volumes,  
517 competing with other agricultural activities, and with the other multiple uses of water,  
518 especially with human consumption. The effluents generated are rich in nutrients with a  
519 polluting potential, and a disease spreading in adjacent water bodies (Dauda et al.,  
520 2019). Fish escapes can represent an important biological impact, since the use of non-  
521 native species can cause the introduction of non-native parasites and the emergence of  
522 new diseases in endemic ichthyofauna (Nobile et al., 2019).

523 The use of more sustainable and more bio-safe farming systems has been  
524 gaining ground among researchers to mitigate these impacts. Highlight has been given  
525 to the biofloc technology (BFT) system, considered as an environmentally friendly  
526 production system for providing water reuse, control of nitrogen compounds, and for  
527 being a source of high-quality food (Avnimelech, 2007; Azim and Little, 2008). In this

528 system, the animal waste and excreta act as substrates that are decomposed by bacteria  
529 under a high C/N ratio, achieved by the addition of external sources of carbohydrates,  
530 associate constant aeration (Hargreaves, 2006). The organic nitrogen present in the  
531 water is incorporated as a microbial protein, to be made available as a potential food  
532 source (Ebellling et al., 2006; Avnimelech and Kochba, 2009). Microorganisms can  
533 provide important nutrients such as essential amino acids and fatty acids, which are  
534 necessary for the nutrition of aquatic organisms (Azim and Little, 2008; Wei et al.,  
535 2016).

536           The use of natural food is conditioned by the quantity, the capacity for  
537 regeneration and the quality of the food available, and the ability of the fish to reap,  
538 select, digest and assimilate this food (Azim and Little, 2006). As food, bioflocs meet  
539 these prerequisites, as they have a high rate of regeneration (Avnimelech and Kochba,  
540 2009) and species that can take advantage of these can benefit from the application of  
541 this technology (Ekasari et al., 2014). The consumption of microbial biomass by fish  
542 can mitigate production costs by using foods with a lower protein content (Azim and  
543 Little, 2008; Hisano et al., 2019); and the use of food management strategies with a  
544 view to better efficiency in food use (Hisano et al., 2020; Pérez-Fuentes et al., 2018).

545           Considerable benefits are demonstrated in the cultivation of fish in bioflocs  
546 when compared to clear water. The reduction of feed conversion, improvement in  
547 performance (Azim and Little, 2008; Widanarni et al., 2012; Long et al., 2015; Menaga  
548 et al., 2019) and the immune response of fish are among them (Kim et al., 2018, 2020).  
549 The presence of cellular components, metabolites and other derivatives of  
550 microorganisms with immunostimulatory potential (Crab et al., 2012; Kamilya et al.,  
551 2017) has improved animal health (Kim et al., 2018; Yu et al., 2020a), digestive enzyme

552 activity (Ezhilarasi et al., 2019; Long et al., 2015) and reproductive performance  
553 (Ekasari et al., 2013, 2016).

554           During the initial stages, fish need foods with a high protein content to meet  
555 their nutritional requirements. In addition, young individuals are more susceptible to  
556 diseases, requiring greater biosafety during cultivation. With the reduction in water  
557 changes, and the presence of beneficial microorganisms, it is possible to exercise greater  
558 control of the presence of pathogens in the cultivation environment. These  
559 characteristics present BFT make it favorable for the construction of nurseries (García-  
560 Ríos et al., 2019). The objectives of this review are to describe:

- 561           (a) Stocking density;
- 562           (b) How different carbon sources and the C/N ratio affect fish performance;
- 563           (c) Efficacy of bioflocs as a food source;
- 564           (d) Use of alternative ingredients for fish in a biofloc system; and
- 565           (e) Benefits of biofloc on fish health.

## 566 **2. Stocking density**

567           Stocking density is considered as one of the vital factors determining fish  
568 production and profitability in aquaculture practices (Refaey et al., 2018). However,  
569 high-density able to intensify aggression, competition for food, increases feed intake,  
570 increases nutrient concentration causing rapid water quality degradation (MacIntyre et  
571 al., 2008). The chronic stress provide by high-density can compromised fish health.  
572 Considering the deleterious effects caused by inadequate storage, it is necessary to  
573 determine the stocking density for each species and life stage in different production  
574 systems.

575 Studies have investigated the stocking density at different stages of cultivation  
576 in biofloc (Table 1). In this system, Green (2010) started research on stocking density  
577 with the channel catfish (*Ictalurus punctatus*). However, tilapia (*Oreochromis niloticus*)  
578 is used as the biological model in 50% of the research until the moment. The practice of  
579 farming at higher densities (300 and 800 fish.m<sup>-3</sup>) in the early stages of tilapia was  
580 favored by the BFT system (Haridas et al., 2017; Liu et al., 2018; Vieira et al., 2019).  
581 The same was observed with fingerlings *Anabas testudineus* presenting better  
582 performance when cultivated in 300 to 450 fish.m<sup>-3</sup> (Debnath et al., 2021).

583 After 134 g, the increase in stocking density results in a decline in the tilapia  
584 body weight (Manduca et al., 2021). With the same species during the grow-out phase,  
585 it is possible to achieve a productivity of around 13 to 16 kg.m<sup>-3</sup> (Lima et al., 2015;  
586 Manduca et al., 2020). This production represents approximately 50% of the  
587 productivity achieved in net-cages with a stocking density between 250 and 450 fish.m<sup>-3</sup>  
588 (Costa et al., 2017). In BFT, the silver catfish (*Rhamdia quelen*) showed high  
589 productivity with increasing stocking density, without affecting survival (Battisti et al.,  
590 2020). This trend was observed in channel catfish (*I. punctatus*) showed higher  
591 productivity with a storage rate of up to 10.7 fish.m<sup>-3</sup> during single-phase cultivation  
592 (Green, 2010). However, with the pilot scale cultivation in recirculation it obtained  
593 better performance using 50 fish.m<sup>-3</sup> (Refaey et al., 2018). This demonstrates the need  
594 to conduct tests in BFT on a pilot scale to confirm the results obtained under controlled  
595 conditions. In farming *Labeo rohita*, Mahanand et al. (2013) demonstrated that in BFT  
596 it is possible to obtain higher productivity than that achieved in clear waters with similar  
597 densities.

598 The positive effects of BFT about survival rate have been reported at different  
599 stocking densities (Widanarni et al., 2012; Yoo & Lee, 2016; Haridas et al., 2017; Park

600 et al., 2017; Battisti et al., 2020; Poli et al., 2021; Silva et al., 2022). The survival rate  
601 for Red tilapia (*Oreochromis sp.*) have been at higher densities (50 and 100 fish.m<sup>-3</sup>)  
602 have been above 93% compared to the respective controls in clear water (Widanarni et  
603 al., 2012). The survival rate of *Takifugus obscurus* in two weight classes remained  
604 above 98% (Yoo & Lee, 2016). Survival above 92% was achieved by increasing the  
605 density to 400 fish.m<sup>-3</sup> in the cultivation of *Pimephales promelas* in BFT, with no  
606 difference with the control in green water (100 fish.m<sup>-3</sup>) (Park et al., 2017).

607           Good responses about survival may be related to reduce competition for food,  
608 water quality upkeep and the presence of immunostimulant compounds that can  
609 increase resistance to stressors (Crab et al., 2012). At high density, the growth of  
610 juvenile African catfish (*C. gariepinus*) was reduced above 2000 fish.m<sup>-3</sup> (Soedibya et  
611 al., 2017). Juveniles of *P. promelas* at a density above 800 fish.m<sup>-3</sup> show a decline in  
612 individual weight (Park et al., 2017). This behavior demonstrates that each species has  
613 an optimal density, which, when exceeded, leads to a decline in fish performance  
614 (Widanarni et al., 2012; Yoo & Lee, 2016; Park et al., 2017; Soedibya et al., 2017).

615           In BFT, densities between 89 fish.m<sup>-3</sup> and 267 fish.m<sup>-3</sup>, the immunological  
616 parameters of tilapia (*O. niloticus*) did not change, but the percentage of hematocrit can  
617 be altered in this condition (Poli et al., 2021). In some cases, the primary stress response  
618 to BFT stocking density appears to be reduced. In *Cyprinus carpio* and *O. niloticus*  
619 plasma cortisol levels were reduced (Haridas et al., 2017; Adineh et al., 2019), in  
620 addition BFT appears to play a role in serum lysozyme, hemolytic and alkaline  
621 phosphatase activities preventing immunosuppression due to high density stress  
622 (Adineh et al., 2019). With the use of adequate stocking densities, oxidative responses  
623 demonstrate that bioflocs have bioactive compounds that reduce oxidative stress  
624 (Haridas et al., 2017; Battisti et al., 20 20).

625 In general, even with the benefits of maintaining water quality and  
626 supplementary feeding provided by bioflocs, performance is negatively affect to the  
627 detriment of density (Magondu et al., 2013; Lima et al., 2018). Furthermore, in BFT,  
628 high stocking densities increase solids levels (Manduca et al., 2020; Debnath et al.,  
629 2021). Greater availability of nutrients from animal feed and excreta stimulates an  
630 increase in solids production. The presence of organic matter requires a greater demand  
631 for oxygen (Silva et al., 2022), which can reduce the levels suitable for the species. In  
632 this condition, the operation of the system becomes dependent on mechanisms  
633 (decanters/clarifiers) that manage the particulate material efficiently. In research on  
634 BFT density, there are gaps between density and other parameters such as carbon-  
635 nitrogen ratio, solids concentration, food management and microbial community that  
636 are important for the functioning of the BFT system. Furthermore, 66% of the research  
637 so far focuses primarily on the early stages of life. Therefore, investigating the grow-out  
638 phase for each species is important for the viability of cultivation in BFT.

### 639 **3. C/N ratio and organic carbon sources**

640 Fish excreta associated with the remains of feed, dead microorganisms  
641 (phytoplankton, zooplankton, bacteria, etc.) and organic matter are the main sources of  
642 ammonia in the crops. Ammonia has a toxic potential to aquatic organisms causing  
643 damage to the branchial epithelium, inhibition of excretion in the gills, loss of ions,  
644 elevation of blood pH, decreased hemoglobin affinity to oxygen, among other effects  
645 (Boyd, 2020). BFT was initially proposed to solve the problems with ammonia in  
646 intensive cultures (Avnimelech et al., 1994). The addition of external sources of organic  
647 carbon to adjust the C/N ratio favors the rapid development of heterotrophic bacteria  
648 that immobilize dissolved inorganic nitrogen and perform microbial biosynthesis  
649 (Avnimelech, 2007; Ebeling et al., 2006).

650           The carbon sources used to manipulate the C/N ratio, due to the speed with  
651 which dissolved organic carbon is available for nitrogen immobilization (Serra et al.,  
652 2015), influences the control of ammonia levels. Among the main carbohydrates  
653 researched are molasses, sugar and glucose. These carbon sources are widely used  
654 because they make carbon available more quickly. The use of carbohydrates can  
655 represent an additional cost in the production process, and for this reason, several  
656 regional ingredients have been tested in recent years (Table 2). However, some  
657 carbohydrates such as vegetable meal can compete with other activities, such as animal  
658 feeding and human consumption. In this sense, carbon sources that do not compete with  
659 these uses are more suitable for fertilization in the BFT.

660           In general, the sources of complex carbohydrates are less soluble, leading to  
661 slower carbon release (Wei et al., 2016). However, its bioavailability is a relevant aspect  
662 in the choice of the source, when maintaining the ammonia concentrations at the  
663 appropriate levels for the different species is intended. The speed at which carbon is  
664 available allows us to design fertilization strategies using simple or complex  
665 carbohydrates, or a mixture of both (Romano et al., 2018; Serra et al., 2015; Rocha et  
666 al., 2021). The effectiveness in reducing ammonia levels has been observed in different  
667 studies; however, this condition has not always implied improved growth performance  
668 (Caipang et al., 2015; Ezhilarasi et al., 2019). This effect is related to the predominance  
669 of one microorganism over another (Silva et al., 2017), modifying the composition of  
670 the microbial community present in the culture medium and in the digestive tract of fish  
671 (Wei et al., 2016; Li et al., 2018). However, this change in the biofloc microbiota is not  
672 observed in all studies (Luo et al., 2017); these differences affect its nutritional  
673 composition, which justifies the variability in its protein and lipid content for example.

674 Using sugar, molasses and corn starch as a carbon source, Bakhshi et al. (2018)  
675 showed differences in lipid composition and in the content of linoleic (C18:2n6), alpha-  
676 linolenic (C18:3n3) fatty acids and in the n3/n6 ratio. Ekasari et al. (2010) showed that  
677 the use of glycerol produced bioflocs rich in omega 6 polyunsaturated fatty acids (n-6  
678 PUFA), with a concentration between 19 and 22 mg/g dry weight of floc. This increase  
679 may be due to the biosynthesis of microbial fatty acids from the fatty acids made  
680 available by glycerol. Other complex carbohydrates such as rice and its by-products,  
681 easily found around the globe, can be considered as a cheap carbon source, making it an  
682 important candidate for use in the BFT system. In the form of flour and bran, rice  
683 improves water quality and results in fish with greater growth, and less feed conversion  
684 (Ebrahimi et al., 2020; Romano et al., 2018; Zaki et al., 2020). The use of rice bran  
685 resulted in a higher volume of solids, and the authors attributed the occurrence of  
686 filamentous bulking (Rocha et al., 2021). This can be a problem, as removal  
687 management is time-consuming, costly, and may not be fully efficient. However, it is  
688 more efficient in immobilizing nitrogen when combined with simple carbohydrates such  
689 as molasses (Ebrahimi et al., 2020).

690 Many benefits were observed with the use of alternative carbon sources such  
691 as tapioca, which promoted an improvement in the non-specific immune response and  
692 an increase in the relative percentage of survival in juveniles of rohu carp (*Labeo*  
693 *rohita*) after exposure to *Aeromonas hydrophila* (Ahmad.H et al., 2016). Although  
694 benefits are seen in fertilization with complex carbohydrates such as rice, tapioca and  
695 cassava flour, these are human food ingredients in many cultures, which makes their use  
696 in aquaculture unfeasible. Natural and synthetic biodegradable polymers such as poly- $\beta$ -  
697 hydroxybutyrate (PHB), polycaprolactone (PCL) and others, known as green plastic,  
698 have been shown to be efficient in the process of inorganic nitrogen immobilization and

699 bacterial biosynthesis in the BFT system (Liu et al., 2019, Chen et al., 2020). As a  
700 viable carbon source for maintaining water quality, polymers assist in the better  
701 development of the fish oxidizing system (Zhang et al., 2016), and with the advantage  
702 of being consumed in smaller quantities during this process (Luo et al., 2017).

703 Initial studies have suggested a C/N ratio between 10-20:1 for good biofloc  
704 production (Avnimelech, 1999; De Schryver and Verstraete, 2009). However, different  
705 C/N ratios influence the number of bacteria present in the water and the volume of  
706 solids produced. These results are corroborated by the most recent studies which  
707 demonstrate that the C/N ratio between 10:1 and 15:1 gives better conversion of  
708 inorganic nitrogen and animal performance (Aalimahmoudi and Mohammadiazarm,  
709 2019; Liu et al., 2018). However, Amur goldfish (*Opsariichthys kaopingensis*) and  
710 goldfish (*Carassius auratus*) obtained the best performance of the with a C/N ratio  
711 between 15-25:1 and 20-25:1, resulted in a 13% growth over 10:1 ratios (Wang et al.,  
712 2015; Yu et al. 2020d).

713 The nutritional composition of the bioflocs is influenced by these ratios, as  
714 demonstrated in the cultivation of *Opsariichthys kaopingensis*, where ratios of 15-25:1  
715 resulted in an increase of 22% in the protein content of the bioflocs compared to 10.8: 1  
716 (Yu et al., 2020d). However, a higher protein content (47.3% CP) was achieved with a  
717 10:1 C/N ratio in the cultivation of African catfish (*Clarias gariepinus*) (Dauda et al.,  
718 2018). These differences are interesting because they reveal the interference of  
719 countless factors from the species, the established C/N ratio and the carbon source used  
720 in the nutritional composition of bioflocs. Little is known about how the C/N ratio and  
721 carbon sources influence the nutritional composition of aggregates, especially the amino  
722 acid profile.

723 Differences in the proximal composition of bioflocs can occur by C/N ratio and  
724 for carbohydrate source (Table 3). Carbohydrates that are more complex produce flocs  
725 with lower protein content (Dauda et al., 2017; Ekasari et al., 2019). A C/N ratio of  
726 10:1 produced flocs with 13.5 and 27% more protein compared to 15:1 and 20:1 using  
727 glycerol as a carbon source (Dauda et al., 2017). However, the 10.8:1 C/N ratio  
728 associated with glucose resulted in flocs with lower protein content (Yu et al., 2020c).  
729 Factors intrinsic to the crop such as species, density, salinity, consider diet is necessary,  
730 and their interactions deserve to be investigate attempt to obtain a pattern in the  
731 nutritional profile of the flocs. Furthermore, it is necessary to understand, for example,  
732 whether the type of bioflocs (autotrophic or heterotrophic), the use or not of inoculum,  
733 the origin of the inoculum, the percentage of carbon present in the carbohydrate and  
734 protein content of the feed can impose a gradient in the composition of the flocs.

735 There is a gradient in the composition of essential amino acids among the carbon  
736 sources used in bioflocs (Ekasari et al., 2019; Oliveira et al., 2021; Zhang et al., 2018).  
737 Essential amino acids are directly linked to protein quality. Obtaining flocs with an  
738 amino acid profile that can meet and/or approach the requirements of farmed animals is  
739 interesting to explore its potential as food. The application of different carbohydrates  
740 has shown beneficial effects on water quality, productive aspects and fish health in the  
741 BFT system. However, the acquisition of these inputs represents a cost to the production  
742 process and depends on the availability and variation of prices in each region.

#### 743 **4. Efficacy of bioflocs as a food source**

744 In aquaculture, food normally represents approximately 50% of the operational  
745 cost of production (Rego et al., 2017), and therefore, food management can be a critical  
746 point of expenditure. In traditional intensive systems, food management is directed  
747 towards the exclusive use of exogenous foods. Although the BFT system is recognized

748 for providing improvements in water quality, it offers other direct or indirect benefits to  
749 the target species of cultivation, in addition to playing an important role as a  
750 complementary food (Avnimelech, 2007; Robles-Porchas et al., 2020; Xu and Pan,  
751 2012). Not all species are candidates for cultivation in the BFT system (Minaz &  
752 Kubilay, 2021). When one intends to take of the nutritional advantage offered by the  
753 system, a species is apt to grow in a BFT system, based on its ability to ingest  
754 suspended particles. Emerenciano et al. (2013) report that species with filtering capacity  
755 (present morphological apparatus and adaptations like gills rakers) and omnivorous  
756 feeding habits make the most use of microbial aggregates for food.

757         The ability of some fish species to take advantage of bioflocs as food has  
758 aroused the interest of researchers, aiming to use them in integrated cultivation with  
759 shrimp to control solids. The good performance of mullet (*Mugil curema*) grown with  
760 white shrimp (*Litopenaeus vannamei*) when fed with 1% of biomass stored per day,  
761 demonstrated that it is possible to keep these fish under food restriction, which suggests  
762 the consumption of bioflocs (Legarda et al., 2019). Greater volume of solids favored the  
763 obtaining of animals with greater final weight (Martins et al., 2020; Poli et al., 2015),  
764 corroborating the result of in the monoculture of Tilapia (Avnimelech, 2007). A greater  
765 number of solids, associated with the dietary restriction regime seems to force the  
766 consumption of bioflocs by fish, thus justifying their growth.

767         However, indirect measures of biomass consumption, such as decreased  
768 concentration and/or volume of solids, are inaccurate. For this reason, researches using  
769 enriched nitrogen ( $^{15}\text{N}$ ) were carried out (Avnimelech, 2007; Avnimelech and Kochba,  
770 2009) in order to determine the contribution of the protein fraction of bioflocs in fish  
771 feeding more precisely. The net daily nitrogen absorption of fish kept in a BFT system  
772 without the addition of exogenous food is  $240 \text{ mg N. kg}^{-1}$  ( $1.6 \text{ g protein.kg}^{-1}$ ),

773 equivalent to 25% of the protein added to the commercial diet (Avnimelech and  
774 Kochba, 2009). Studies that directly investigate the use of bioflocs are important, but  
775 the use of techniques such as stable isotopes has a cost limitation despite presenting  
776 results that are more reliable. Although direct and indirect methods of biofloc  
777 quantification are available (Avnimelech et al., 2007), its use as a tool to assess  
778 consumption needs to be better explored, since its consumption depends on species,  
779 animal size and floc characteristics (Crab et al., 2012).

780           Initially, studies evaluating the culture of tilapia (*Oreochromis sp.*) under the  
781 BFT system showed a feed conversion ratio above 2:1 (Avnimelech et al., 1994; Azim  
782 and Little, 2008). Some studies showed a reduction in feed conversion between 14.4  
783 and 18.7 percentage points compared to controls, these results point to the participation  
784 of bioflocs in the diet of different fish species (Mahanand et al., 2013; Luo et al., 2014;  
785 Long et al., 2015; Bakhshi et al., 2018). On the other hand, some studies do not  
786 corroborate this trend, as observed in the cultivation of pirapitinga (*Piaractus*  
787 *brachypomus*) under the BFT and RAS. Not showing differences in feed conversion  
788 between animals raised in both systems (Poleo et al., 2011). In ponds, the channel  
789 catfish (*I. punctatus*) converted the food better (1.6:1), in contrast to 2:1 under the BFT  
790 (Green and McEntire, 2017). These differences in results may be associated with  
791 species and/or strain, in addition the food management used. The evolution of  
792 aquaculture production systems brings with it the need to re-evaluate aquaculture  
793 feeding protocols such as feeding rate, feeding frequency and nutritional requirements,  
794 especially in the BFT system where is necessary to develop management strategies  
795 appropriate to the biofloc system. These strategies can contribute to maximize the  
796 consumption of floc, and help to reduce the supply of feed.

797 In BFT, juvenile's tilapias fed four times per day showed the better weight  
798 gain, improvement in efficiency in feed utilization, with a conversion close to 1:1  
799 (Hisano et al., 2020). However, the findings of Mabroke et al. (2021) demonstrate that  
800 tilapia juveniles in BFT can be fed once a day without prejudice to weight gain.  
801 However, feeding two and four times a day resulted better feed conversion (1:35). In  
802 the nursery stage studies (Hisano et al., 2020; Mabroke et al., 2021), the animals were  
803 fed rations containing 32% crude protein, provided between 3 and 5% of the biomass.  
804 These studies were conducted with differences tank volume ( $9000 - 0.055\text{m}^3$ ), stocking  
805 density (80 to  $364 \text{fish.m}^{-3}$ ) and environmental (*outdoor* and *indoor*). These conditions  
806 may have contributed to the discrepancies in the results. In grow-out stage, tilapias can  
807 be fed once a day though protein retention was more efficient from two feeding  
808 frequencies (Silva et al., 2020). Feeding frequency results can be influenced by the  
809 amount of feed, as observed for tilapia in a conventional system, resulting in FCR  
810 around 1:1 (Huang et al., 2015). A similar trend was observed during the *L. vannamei*  
811 nursery in BFT, although the use of longer feeding intervals favors good performance,  
812 more frequent feedings resulted in FCR, close to ideal (Peixoto et al., 2017; Xu et al.,  
813 2020). Frequency is not an isolated aspect of food management, and is influenced by the  
814 feeding rate and nutritional value of the food (Huang et al., 2015; De Macedo et al.,  
815 2021). The divergent results reported above might be due to the experiment scale and  
816 the associated feeding conditions such as feed quantity and quality, and biofloc  
817 composition.

818 These results do not differ from the frequencies found in the literature, where  
819 smaller animals need food in a shorter period (Ng and Romano, 2013) due to continuous  
820 feeding behavior associated with stomach capacity. So far, food frequency studies for  
821 fish in BFT are limited to performance responses and protein retention, to the detriment

822 of physiological responses such as the enzymatic activity. In addition, digestive  
823 enzymatic activity can be affected by enzymes present in bioflocs that help break down  
824 organic compounds, facilitating the digestion process as demonstrated in food frequency  
825 studies in marine shrimp reared in bioflocs (Peixoto et al., 2018; Cavalcanti Nery et al.,  
826 2019; Xu et al., 2020).

827           Although, it is known that the contribution of bioflocs in tilapia feeding is  
828 equivalent to 25% of the protein provided by the feed (Avnimelech and Kochba, 2009).  
829 That some studies demonstrate the apparent consumption of the aggregates (Legarda et  
830 al., 2019), we do not know the interval between meals that could stimulate the animals  
831 to actively seek out suspended particles. This aspect remains unexplored, as well as the  
832 impact mechanism of biofloc consumption, since the feed conversion calculation is  
833 based on the amount of food offered.

834           Assays with feeding rates showed that it is possible to reduce the daily feed  
835 supply for juvenile common carp (*Cyprinus carpio L.*) by 25% and between 15 and 30%  
836 for juvenile Nile tilapia in the biofloc system without compromising the growth indexes  
837 (Cavalcante et al., 2017; Najdegerami et al., 2016; Pérez-Fuentes et al., 2018).  
838 However, this pattern was not maintained for juvenile Nile tilapia weighing 32g,  
839 reporting a drop in performance in proportion to the reduction in the feed supply (Silva  
840 et al., 2020). Reducing the feed rate by up to 50% resulted in feed conversions close to  
841 1:1 (Perez-Fuentes et al., 2018; Silva et al., 2020; Oliveira et al., 2021). Apparently,  
842 protein efficiency is improved by optimizing feed management, but this type of  
843 inference is based on the amount of protein offered during the cultivation, which makes  
844 it difficult to determine how much microbial biomass contributes to this index.

845           In production systems exclusively dependent on exogenous food, the use of  
846 low rates and feeding frequencies reduces growth, favoring hierarchical processes,

847 agonistic interactions and mortality (Huang et al., 2015; Fattah et al., 2021). In BFT,  
848 lower availability of artificial food does not seem to affect survival (Correa et al., 2019;  
849 Mabroke et al., 2011; Oliveira et al., 2021; Perez-Fuentes et al., 2018) possibly natural  
850 food available *in situ*. This opens up an opportunity to explore food management from  
851 the perspective to apply periods of food deprivation for compensatory growth in  
852 different designs. Some authors have demonstrated that it is possible to use cycles of 3  
853 to 12 days without feeding and obtain compensatory gain in Nile tilapia at the end of the  
854 cultivation (Correa et al., 2020; Gallardo-Collí et al., 2020). In the composition of  
855 nutritionally complete foods, protein is a macronutrient that is present in greater  
856 quantity, being the most expensive. In conventional intensive systems, animals depend  
857 exclusively on feed as a source of macro and micronutrients. However, the BFT system  
858 can represent an important nutritional contribution that makes it possible to reduce the  
859 protein levels of the diets.

860 Different studies showed that bioflocs, as *in situ* food, favor the use of diets  
861 with lower protein content. Avnimelech et al (1994, 1999) demonstrated that it is  
862 possible to reduce the protein content of the diet for hybrid tilapia (*O. niloticus* x *O.*  
863 *aureus*) by 10 percentage points in BFT systems, which represented a 46% decrease in  
864 food expenses. A decade later, Azim and Little (2008) confirmed a trend by  
865 demonstrating that a reduction of 11 percentage points of protein on attaining similar  
866 performance in the cultivation of *Oreochromis niloticus* (80 - 120 g). In addition, the  
867 same study demonstrated that a food supply of 24% crude protein in the BFT system  
868 resulted in better performance compared to animals fed with 35% CP in clear water. In  
869 BFT, the amur goldfish (*Rhynchocypris lagowski*) fed with 29% CP obtained the same  
870 growth performance when fed with 37% CP in recirculating system (RAS) (Yu et al.  
871 2020b). In the same assay, fish in BFT showed superior performance than in the control

872 group, when they were also fed diets containing 37% crude protein. In tests with dietary  
873 protein, there is a great variation in the results, which demonstrates the importance of  
874 using appropriate diets for the biofloc system. These facts reinforce the need for further  
875 studies on determining the nutritional requirements of fish in BFT.

876           Considering the findings of Furuya et al. (1996) and Botaro et al. (2007), in a  
877 conventional system with a post reversal of up to 100g, tilapia has a requirement of  
878 29.7% CP, and a weight  $\geq 100\text{g}$  would require 26.8% CP. In the range of 10 to 60g, the  
879 protein requirement for tilapia was determined in 28% of CP (Silva et al., 2018; Hisano  
880 et al., 2019). The same species with a weight range of 50 - 230g requires 22% CP in  
881 BFT. These levels are below the recommended in conditions with no natural food,  
882 especially for fish over 100g. It is important to note that, the biofloc system is dynamic,  
883 and as previously mentioned, many aspects can influence the nutritional composition of  
884 bioflocs.

885           According to (NRC, 2011), tilapia requires 29% digestible protein (DP)  
886 without considering the presence of supplementary food. However, the consumption of  
887 bioflocs during the nursery phase seems to favor the use of diets with a lower  
888 percentage (26%) of digestible protein (Durigon et al., 2019; Sgnaulin et al., 2020). In  
889 environments with brackish water, the requirement for digestible energy ( $3150 \text{ kcal.kg}^{-1}$ )  
890 <sup>1)</sup> for the species is slightly higher than that required ( $3000 \text{ kcal.kg}^{-1}$ ) in fresh water  
891 (Sgnaulin et al., 2020), nevertheless, below the  $3400 \text{ kcal.kg}^{-1}$  recommended in the  
892 National Research Council (2011).

893           In a BFT system, the supply of exogenous food with 30% CP, associated with a  
894 combination of carbon sources (rice bran and molasses) significantly increased the  
895 performance of juvenile common carp (*Cyprinus carpio*), demonstrating that it is  
896 possible to reduce protein concentration by 5 points percentage (Ebrahimi et al., 2020).

897 Thus far, the different assays have shown that protein reduction is a possible food  
898 management for the BFT. In nutritional terms, the amino acids define the quality of the  
899 protein, it is essential to maintain adequate levels for each cultivated species (NRC,  
900 2011; Ekasari et al., 2014). However, the influence of many factors can interfere with  
901 the quality of the endogenous food produced, making it necessary to seek solutions to  
902 correct possible nutritional deficiencies.

### 903 **5. Use of alternative ingredients for fish in BFT**

904 Nutrition experiments comprising the inclusion and substitution of ingredients  
905 are the latest step in research on fish nutrition in the biofloc system. The mechanical  
906 removal of suspended solids, producing a residue rich in proteins, minerals and  
907 bioactive compounds is part of the management of the BFT system. Its nutritional  
908 profile has attracted researchers seeking to evaluate its application as food or ingredient  
909 in diets for aquatic organisms.

910 The supply of artificial food and wet biofloc biomass in the 1:1 ratio promoted  
911 maximum growth in juveniles of rohu (*Labeo rohita*) (Mahanand et al. 2013). In Nile  
912 tilapia (*Oreochromis niloticus*), the best performance was expressed by the replacement  
913 of 25% of artificial food with wet bioflocs biomass at the expense of dry biofloc  
914 biomass (Caldini et al., 2015). This pattern was maintained for the same species to the  
915 detriment of partial restriction on artificial food (Caldini et al., 2018).

916 As the only source of food, bioflocs are not able to sustain the regular growth  
917 of animals, and dehydrated, they are conducive to chemical changes resulting from the  
918 drying process such as lipid and vitamin oxidation, pigment degradation and protein  
919 denaturation. To some extent, these reactions may compromise the nutritional quality of  
920 the dehydrated bioflocs to the detriment of maintaining the nutritional properties of the

921 bioflocs *in natura*. The performance of the African catfish (*Clarias gariepinus*) was  
922 improved with the inclusion of up to 20% of biofloc flour in the formulation of its diet  
923 (Ekasari et al., 2019). The inclusion of dry microbial biomass marketed as Novacq™  
924 improved the growth of fish fed with little or no fishmeal in the feed, in addition to  
925 improving their palatability (Simon et al., 2019). However, a better growth response is  
926 achieved with *in-situ* bioflocs, when the source is the system itself (Menaga et al.,  
927 2019).

928           In a BFT, the performance of the animals was sustained at all levels of  
929 fishmeal substitution by beer yeast. On the other hand, in clear water, the animals  
930 showed a performance decrease with 100% substitution (Nhi et al., 2018). Conversely,  
931 the inclusion of pizzeria residue above 20% and larva meal of *Tenebrio molitor* above  
932 10% in diets for juvenile Nile tilapia led to a decline in performance in BFT (Sousa et  
933 al., 2019; Tubin et al., 2020). In the assay of substitution of fish oil for cameline oil  
934 (*Camelina sativa*) in diets for Nile tilapia (*O. niloticus*) in the BFT system, it was  
935 observed that the alpha-linolenic acid (ALA) contained in the bioflocs was involved in  
936 the synthesis of long-chain polyunsaturated fatty acids (LC-PUFA n-3) in fish muscle  
937 (Toyes-Vargas et al., 2020). These results demonstrate that to some extent bioflocs can  
938 nutritionally complement or supplement the effects of the tested ingredients. However,  
939 changes in the composition of diets can interfere with the carbon-nitrogen ratio, which  
940 would alter the composition of the microbial community and the biofloc nutritional  
941 content.

942           Precision nutrition is a trend in animal feed research. Thus, the inclusion of  
943 additives and functional foods in the formulations is researched to enhance the use of  
944 nutrients, and to strengthen animal immunity. Bioactive compounds such as pectin can  
945 be extracted from residues from agro-industrial processes, and their use was researched

946 in a biofloc system. Pectin is also contained in the powder of the watermelon peel, and  
947 the inclusion (40g.Kg<sup>-1</sup>) of this residue in the feed increased the immunity of Nile tilapia  
948 serum and mucus from the fourth week of feeding, and resulted in 83.3% survival after  
949 challenge with *Streptococcus agalactiae* (Doan et al., 2020).

950 The inclusion of 10g.kg<sup>-1</sup> of pectin extracted from the orange peel alone or  
951 combined with 10<sup>8</sup> CFU.L<sup>-1</sup> of *Lactobacillus plantarum* (CR1T5) promoted better  
952 performance of Nile tilapia juveniles (Doan et al., 2018; Doan et al., 2019). In both  
953 studies, there was a strengthening of the physiological state and an increase in survival  
954 (77.5 to 81.82%) of the fish after infection by *S. agalactiae*. Being a soluble fiber,  
955 pectin has a prebiotic potential, and its ability to resist well in the gastric environment  
956 makes it efficient in the delivery of probiotics such as *L. plantarum* (Naqash, 2017).  
957 Nile tilapia juveniles fed with diets supplemented with *L. plantarum* (KC426951)  
958 obtained a 20% higher final weight in the BFT system compared to the control,  
959 furthermore, the BFT with probiotic interaction increased the innate immune response  
960 of the fish (Mohammadi et al., 2020).

961 The inclusion of 2g.kg<sup>-1</sup> of polyphenols extracted from the Portuguese chestnut  
962 (*Castanea sativa*) increased the growth and immune response of *O. niloticus* in BFT  
963 (Van Doan et al., 2020). In the same study, the use of polyphenols resulted in 58.3% of  
964 average survival after health challenge with *S. agalactiae*, being higher (75%) with the  
965 supplementation of 2g.kg<sup>-1</sup>. These results demonstrate that the inclusion of food  
966 additives in diets can improve fish performance and immunity, especially in the BFT  
967 system. However, the interaction between "*in-situ*" bioflocs and bioactive compounds  
968 needs to be further studied. Bioactive compounds such as poly-β-hydroxybutyrate  
969 (PHB) are present in the composition of bioflocs (De Schryver and Verstraete, 2009).  
970 The inclusion of PHB extracted from bioflocs in the diet produced positive effects on

971 immunity and resistance to cyprinid Herpesvirus 2 (CyHV-2) in carp (*C. auratus*  
972 *gibelio*) (Qiao et al., 2020).

973           The findings so far indicate that better nutritional responses are achieved when  
974 bioflocs are made available by the system itself (*in situ*). Certainly, the process of  
975 transforming wet material into dry causes important nutritional losses. The nutritional  
976 quality of microbial biomass contributes to enhance the results with alternative  
977 ingredients. However, future trials should consider the inclusion of treatments in clear  
978 water in the experimental design so that the interaction between bioflocs and the test  
979 ingredient is demonstrated.

## 980 **6. Influence of bioflocs on fish health**

981           In the intensive fish farming routine, management problems and the  
982 densification of animals are the main path for the presence of important pathogens that  
983 can compromise the well-being of fish. In addition, emerging diseases are increasingly  
984 present in the reality of fish farming, generating economic losses that significantly  
985 affect the sustainability of the activity.

986           Studies show that the immune system, antioxidant capacity, resistance to  
987 disease and stress conditions are enhanced in fish grown in BFT systems (Ahmad et al.,  
988 2016; Ebrahimi et al., 2020). Bioflocs contain bioactive compounds such as vitamins,  
989 phytosterols, carotenoids (Xu and Pan, 2013) that may contribute to improve the  
990 immune function of fish and resistance to diseases. The increase in the activity of the  
991 antioxidant system enzymes seems to be a pattern in fish grown in a BFT. Greater  
992 activity of the enzymes glutathione peroxidase (GSH), catalase (CAT) and superoxide  
993 dismutase (SOD) were observed in fish grown in BFT (Adineh et al., 2019; Long et al.,  
994 2015; Luo et al., 2014; Mansour and Esteban, 2017; Menaga et al., 2019). Common

995 carp (*Cyprinus carpio*) showed greater antioxidant capacity in the BFT system,  
996 especially with the use of cornstarch as a carbon source (Bakhshi et al., 2017).

997 An important protective mechanism against diseases is the leukocyte burst, an  
998 oxidative burst, which comprises the production of oxygen radicals by phagocytes. In  
999 fish, the increased phagocytosis activity of neutrophils indicates the immunostimulatory  
1000 potential of “*in situ*” and “*ex-situ*” bioflocs (Ahmad.H et al., 2016; Kamilya et al., 2017;  
1001 Kheti et al., 2017; Menaga et al., 2019). In fact, this increase is related to the abundance  
1002 of microorganisms, exogenous enzymes and bioactive compounds present in bioflocs.  
1003 This gain can be intensified by the influence of the origin of organic carbon, and the  
1004 C/N ratio, among other variables that imply differences in the composition of the  
1005 microbial community and in the other compounds present in the culture medium (Liu et  
1006 al., 2018).

1007 Assays with the BFT system based on different sources carbon have  
1008 demonstrated important results in improving the immune status of fish (Bakhshi et al.,  
1009 2017; Mansour and Esteban, 2017). Greater resistance against infections was observed  
1010 when fish grown in bioflocs were submitted to a health challenge (Ahmad et al., 2016;  
1011 Bakhshi et al., 2017; Haridas et al., 2017; Fauji et al., 2018; Liu et al., 2018). The use of  
1012 starches from corn and tapioca resulted in greater resistance to infection by *Aeromonas*  
1013 *hydrophila* (ASRT897) in juveniles of *Labeo rohita* and *Cyprinus carpio* (Ahmad et al.,  
1014 2016; Bakhshi et al., 2017). This pattern was maintained for Nile tilapia juveniles  
1015 challenged with *Vibrio harveyi* and *Aeromonas hydrophila* (ATCC 7966), which in both  
1016 situations showed survival above 60% compared to the control in clear water (Liu et al.,  
1017 2018; Haridas et al., 2017).

1018 These benefits follow a similar pattern with the application of “*ex-situ*”  
1019 bioflocs, as observed when *Labeo rohita* juveniles fed on diets containing 4% biofloc

1020 flour. After 21 days of challenge with *Edwardsiella tarda* (ET-PG-29), a survival rate  
1021 of around 63% was observed, against 55% of the group without the inclusion of the test  
1022 ingredient (Kheti et al., 2017). The high survival rate after challenge may be related to  
1023 the regulation of virulence provided by the quorum sensing mechanism, bacterial cell-  
1024 to-cell communication (Fatimah et al., 2019).

1025         The protective and attenuating effect of bioflocs after a copper (Cu) stress  
1026 challenge was demonstrated in the “*in situ*” and “*ex-situ*” conditions. After 96 hours of  
1027 acute exposure, juveniles of the amur goldfish (*Rhynchocypris lagowski*) showed a  
1028 reduction in copper accumulation in C/N ratios between 20-25:1 (Yu et al., 2020e). In  
1029 addition, a decline in the accumulation of copper in the gills, brain, kidney, spleen,  
1030 liver, intestine and muscle of juveniles of the same species was observed after 64 days  
1031 of diet with a 12% inclusion of bioflocs (Yu et al. 2020a).

1032         In numerous assays, fish have shown declines in levels of stress indicators such  
1033 as glucose and cortisol compared to animals grown in clear water (Azim and Little,  
1034 2008; Liu et al., 2018; Menaga et al., 2019; Zhang et al., 2018). These results confirm  
1035 the positive effect of bioflocs on the immunity and survival of fish, considering the  
1036 presence of immunostimulatory compounds from bacteria and their products (Crab et  
1037 al., 2010). It is necessary to elucidate the mechanisms that occur in the biofloc system  
1038 that directly or indirectly contribute to increase the immune response of fish. As well as  
1039 the interaction and/or existence of a synergistic effect between microbial flocs and  
1040 compounds, that are recognized for acting within the animal immune system.

## 1041 **7. Conclusion**

1042         As a research line, the BFT has been highlighted mainly in research with  
1043 crustaceans. For fish species, major studies evaluated some factors that affect fish

1044 production in a biofloc system as stocking density, carbon-nitrogen ratio (C/N), organic  
1045 carbon source, and diet protein content. But studies on fish farming in this system have  
1046 gaps mainly related to water quality management, use of artificial substrates, reuse of  
1047 water, photoperiod and light intensity, microbial community dynamics and solids levels.  
1048 The effects of different types of bioflocs (autotrophic, chemoautotrophic and  
1049 heterotrophic) on fish growth and feed conversion still need to be explored considering  
1050 possible differences in the nutritional quality of the produced flocs. At different stages  
1051 of rearing, solid levels could be explored, especially for filter species that make better  
1052 use of natural food. Studies on the cultivation of fish in BFT are mostly carried out on a  
1053 laboratory scale, being necessary to carry out studies on a pilot or commercial scale on  
1054 the aspects that operationally influence the system.

1055         With a very dynamic system, it is difficult to establish a pattern in the  
1056 nutritional composition of bioflocs that can be affected by the composition of the feed,  
1057 amount of food, and carbon source used. This variation in the nutritional profile  
1058 (protein, lipid, amino acid, and fatty acid profile) of microbial aggregates can make it  
1059 difficult to establish dietary protocols that consider the natural food provided by the  
1060 system, in addition to becoming an obstacle to the use of bioflocs dried in substitution  
1061 or inclusion as an ingredient in the feed formulation. Furthermore, nutritional aspects  
1062 such as digestibility and amino acid composition are little explored in BFT studies.  
1063 There are species that, due to their eating habits, do not benefit directly from the  
1064 complimentary food provided by BFT, but bioactive compounds, exogenous enzymes,  
1065 microorganisms present in bioflocs, have benefits for the immunity of fish. However,  
1066 the mechanisms that provide this positive effect on health need to be investigated.

1067         The BFT system still has a high cost of installation and operation, which can be  
1068 an obstacle for its consolidation. Economic information that presents a comparison of

1069 the production of the main fish species in bioflocs and in other conventional systems  
1070 would be important in solving the obstacles and decision-making by the productive  
1071 sector.

## 1072 **Acknowledgements**

1073 The first author thanks the Coordination for the Improvement of Higher-Level  
1074 Personnel (CAPES) for granting the PhD scholarship (Finance Code 001). The second  
1075 and last author thanks the National Council for Scientific and Technological  
1076 Development (CNPq) for the Research Productivity Grant.

## 1077 **References**

- 1078 Aalimahmoudi, M., Mohammadiazarm, H. (2019). Dietary protein level and  
1079 carbon/nitrogen ratio manipulation in bioflocs rearing of *Cyprinus carpio* juvenile:  
1080 Evaluation of growth performance, some blood biochemical and water parameters.  
1081 *Aquaculture*, 513, 734408. <https://doi.org/10.1016/j.aquaculture.2019.734408>
- 1082 Adineh, H., Naderi, M., Hamidi, M.K., Harsij, M. (2019). Biofloc technology improves  
1083 growth, innate immune responses, oxidative status, and resistance to acute stress in  
1084 common carp (*Cyprinus carpio*) under high stocking density. *Fish Shellfish*  
1085 *Immunology*, 95, 440–448. <https://doi.org/10.1016/j.fsi.2019.10.057>
- 1086 Ahmad.H, I., Verma, A.K., Babitha Rani, A.M., Rathore, G., Saharan, N., Gora, A.H.  
1087 (2016). Growth, non-specific immunity and disease resistance of *Labeo rohita*  
1088 against *Aeromonas hydrophila* in biofloc systems using different carbon sources.  
1089 *Aquaculture*, 457, 61–67. <https://doi.org/10.1016/j.aquaculture.2016.02.011>
- 1090 Aparicio-Simón, B., Real-Moreno, E., Espinosa-Chaurand, D., García-Morales, R.,  
1091 Garza-Torres, R., Cortés-Sánchez, A.D.J., Lora-Sanchez, D., Maeda-Martínez,  
1092 N.A. (2020). Giant bladder kelp (*Macrocystis pyrifera*) and maize (*Zea mays*)  
1093 meals as nucleation sites for biofloc formation. *Aquaculture Reports*, 16, 100289.  
1094 <https://doi.org/10.1016/j.aqrep.2020.100289>
- 1095 Avnimelech, Y. (2007). Feeding with microbial flocs by tilapia in minimal discharge  
1096 bio-flocs technology ponds. *Aquaculture*, 264, 140–147.

- 1097 <https://doi.org/10.1016/j.aquaculture.2006.11.025>
- 1098 Avnimelech, Y. (1999). Carbon/nitrogen ratio as a control element in aquaculture  
1099 systems. *Aquaculture*, 176, 227–235. [https://doi.org/10.1016/S0044-](https://doi.org/10.1016/S0044-8486(99)00085-X)  
1100 [8486\(99\)00085-X](https://doi.org/10.1016/S0044-8486(99)00085-X)
- 1101 Avnimelech, Y., Diab, S., Kochva, M., Mokady, S. (1994). Development of controlled  
1102 intensive aquaculture systems. *Proc. 4TH Ger. Isr. Semin. EAS PUBLIC*, 17, 21–  
1103 37.
- 1104 Avnimelech, Y., Kochba, M. (2009). Evaluation of nitrogen uptake and excretion by  
1105 tilapia in bio floc tanks, using <sup>15</sup>N tracing. *Aquaculture*, 287, 163–168.  
1106 <https://doi.org/10.1016/j.aquaculture.2008.10.009>
- 1107 Azim, M.E., Little, D.C. (2008). The biofloc technology (BFT) in indoor tanks: Water  
1108 quality, biofloc composition, and growth and welfare of Nile tilapia (*Oreochromis*  
1109 *niloticus*). *Aquaculture*, 283, 29–35.  
1110 <https://doi.org/10.1016/j.aquaculture.2008.06.036>
- 1111 Azim, M.E., Little, D.C. (2006). Intensifying aquaculture production through new  
1112 approaches to manipulating natural food. *CAB Rev. Perspect. Agric. Vet. Sci.*  
1113 *Nutr. Nat. Resour.* 062, 1- 22. <https://doi.org/10.1079/PAVSNNR20061062>
- 1114 Bakhshi, F., Najdegerami, E.H., Manaffar, R., Tokmechi, A., Farah, K.R., Shalizar  
1115 Jalali, A. (2017). Growth performance, haematology, antioxidant status, immune  
1116 response and histology of common carp (*Cyprinus carpio* L.) fed biofloc grown on  
1117 different carbon sources. *Aquaculture Research*, 49, 393–403.  
1118 <https://doi.org/10.1111/are.13469>
- 1119 Bakhshi F., Najdegerami, E.H., Manaffar, R., Tukmechi, A., Farah, K.R. (2018). Use of  
1120 different carbon sources for the biofloc system during the grow-out culture of  
1121 common carp (*Cyprinus carpio* L.) fingerlings. *Aquaculture*, 484, 259–267.  
1122 <https://doi.org/10.1016/j.aquaculture.2017.11.036>
- 1123 Battisti, E.K., Rabaioli, A., Uczay, J., Sutili, F.J., Lazzari, R. (2020). Effect of stocking  
1124 density on growth, hematological and biochemical parameters and antioxidant  
1125 status of silver catfish (*Rhamdia quelen*) cultured in a biofloc system.  
1126 *Aquaculture*, 524, 735213. <https://doi.org/10.1016/j.aquaculture.2020.735213>

- 1127 Besen, K.P., Cunha, L., Delziovo, F.R., Melim, E.W.H., Cipriani, L.A., Gomes, R.,  
1128 Skoronski, E., Fabregat, T.E.H.P. (2021). Goldfish (*Carassius auratus*) larviculture  
1129 in biofloc systems: Level of Artemia nauplii, stocking density and concentration of  
1130 the bioflocs. *Aquaculture*, 540, 736738.  
1131 <https://doi.org/10.1016/j.aquaculture.2021.736738>
- 1132 Brol, J., Pinho, S.M., Sgnaulin, T., Pereira, K.R., Thomas, M.C., Mello, G.L., Miranda-  
1133 Baeza, A., Emerenciano, M.G.C. (2017). Tecnologia de bioflocos (BFT) no  
1134 desempenho zootécnico de tilápias: Efeito da linhagem e densidades de estocagem.  
1135 *Archivos de Zootecnia*. 66, 229–235. <https://doi.org/10.21071/az.v66i254.2326>
- 1136 Boyd, C. (2020). *Water Quality – An introduction* (3rd ed.). Springer.  
1137 <https://doi.org/10.1007/978-3-030-23335-8>
- 1138 Caipang, C.M.A., Choo, H.X., Bai, Z., Huang, H., Lay-yag, C.M. (2015). Viability of  
1139 sweet potato flour as carbon source for the production of biofloc in freshwater  
1140 culture of tilapia, *Oreochromis sp.* *International Aquatic Reserach*. 7, 329–336.  
1141 <https://doi.org/10.1007/s40071-015-0117-7>
- 1142 Caldini, N.N., Capistrano, H.H., Rocha Filho, P.R.N., Sá, M.V.C. (2018). Partial  
1143 replacement of artificial diets by wet bioflocs biomass in Nile tilapia culture tanks.  
1144 *Acta Scientiarum. Animal Sciences*. 40, e42426.  
1145 <https://doi.org/10.4025/actascianimsci.v40i1.42426>
- 1146 Caldini, N.N., Cavalcante, D.H., Rocha Filho, P.R.N., Sá, M.V.C. (2015). Feeding Nile  
1147 tilapia with artificial diets and dried bioflocs biomass | Alimentação da tilápia do  
1148 Nilo com dietas artificiais e biomassa seca de bioflocos. *Acta Scientiarum. Animal  
1149 Sciences*. 37, 335–341. <https://doi.org/10.4025/actascianimsci.v37i4.27043>
- 1150 Cavalcante, D.H., Lima, F.R.S., Rebouças, V.T., Sá, M.V.C. (2017). Cultivo de juvenis  
1151 de tilápia do nilo, *Oreochromis niloticus* em sistemas convencional, bioflocos e  
1152 biofítton sob restrição alimentar. *Acta Scientiarum. Animal Sciences*. 39, 223–228.  
1153 <https://doi.org/10.4025/actascianimsci.v39i3.33574>
- 1154 Cavalcante, D.H., Lima, F.R.S., Rebouças, V.T., Sá, M.V.C. (2017). Integration  
1155 between bioflocs and periphyton in Nile tilapia culture tanks | Integração entre  
1156 bioflocos e perifítton em tanques de cultivo da tilápia do Nilo. *Acta*

- 1157 Scientiarum.Technology. 39, 601–607.
- 1158 <https://doi.org/10.4025/actascitechnol.v39i0.30123>
- 1159 Cavalcanti Nery, R., Costa, C.B., Rodrigues, F., Soares, R., Bezerra, R.S., Peixoto, S.  
1160 (2019). Effect of feeding frequency on growth and digestive enzyme activity in  
1161 *Litopenaeus vannamei* during the grow-out phase in biofloc system. *Aquaculture*  
1162 *Nutrition*. 25, 577–584. <https://doi.org/10.1111/anu.12880>
- 1163 Chen, X., Luo, G., Tan, J., Tan, H., Yao, M. (2020). Effects of carbohydrate supply  
1164 strategies and biofloc concentrations on the growth performance of African catfish  
1165 (*Clarias gariepinus*) cultured in biofloc systems. *Aquaculture*. 517, 734808.
- 1166 <https://doi.org/10.1016/j.aquaculture.2019.734808>
- 1167 Correa, A.S., Pinho, S.M., Molinari, D., Pereira, K.R., Gutiérrez, S.M., Monroy-Dosta,  
1168 M.C., Emerenciano, M.G.C. (2020). Rearing of Nile tilapia (*Oreochromis*  
1169 *niloticus*) juveniles in a biofloc system employing periods of feed deprivation.  
1170 *Journal of Applied Aquaculture*. 32, 139–156.
- 1171 <https://doi.org/10.1080/10454438.2019.1679319>
- 1172 Costa, Â.A.P., Roubach, R., Dallago, B.S.L., Bueno, G.W., McManus, C., Bernal,  
1173 F.E.M. (2017). Influence of stocking density on growth performance and welfare  
1174 of juvenile tilapia (*Oreochromis niloticus*) in cages. *Arquivo Brasileiro de*  
1175 *Medicina Veterinária e Zootecnia*. 69, 243–251. [https://doi.org/10.1590/1678-](https://doi.org/10.1590/1678-4162-8939)  
1176 [4162-8939](https://doi.org/10.1590/1678-4162-8939)
- 1177 Crab, R., Defoirdt, T., Bossier, P., Verstraete, W. (2012). Biofloc technology in  
1178 aquaculture: Beneficial effects and future challenges. *Aquaculture*. 356–357, 351–  
1179 356.
- 1180 <https://doi.org/10.1016/j.aquaculture.2012.04.046>
- 1181 Crab, R., Kochva, M., Verstraete, W., Avnimelech, Y. (2009). Bio-flocs technology  
1182 application in over-wintering of tilapia. *Aquacultural Engineering*. 40, 105–112.
- 1183 <https://doi.org/10.1016/j.aquaeng.2008.12.004>
- 1184 Dauda, A.B., Ajadi, A., Tola-Fabunmi, A.S., Akinwole, A.O. (2019). Waste production  
1185 in aquaculture: Sources, components and managements in different culture

1186 systems. *Aquaculture and Fisheries*. 4, 81–88.

1187 <https://doi.org/10.1016/j.aaf.2018.10.002>

1188 Dauda, A.B., Romano, N., Ebrahimi, M., Karim, M., Natrah, I., Kamarudin, M.S.,  
1189 Ekasari, J. (2017). Different carbon sources affects biofloc volume, water quality  
1190 and the survival and physiology of African catfish *Clarias gariepinus* fingerlings  
1191 reared in an intensive biofloc technology system. *Fisheries Science*. 83, 1037–  
1192 1048.

1193 <https://doi.org/10.1007/s12562-017-1144-7>

1194 Dauda, A.B., Romano, N., Ebrahimi, M., The, J.C., Ajadi, A., Chong, C.M., Karim, M.,  
1195 Natrah, I., Kamarudin, M.S. (2018). Influence of carbon/nitrogen ratios on biofloc  
1196 production and biochemical composition and subsequent effects on the growth,  
1197 physiological status and disease resistance of African catfish (*Clarias gariepinus*)  
1198 cultured in glycerol-based biofloc systems. *Aquaculture*. 483, 120–130.  
1199 <https://doi.org/10.1016/j.aquaculture.2017.10.016>

1200 Day, S.B., Salie, K., Stander, H.B. (2016). A growth comparison among three  
1201 commercial tilapia species in a biofloc system. *Aquaculture International*. 24,  
1202 1309–1322.

1203 <https://doi.org/10.1007/s10499-016-9986-z>

1204 De Schryver, P., Verstraete, W. (2009). Nitrogen removal from aquaculture pond water  
1205 by heterotrophic nitrogen assimilation in lab-scale sequencing batch reactors.  
1206 *Bioresource Technology*. 100, 1162–1167.  
1207 <https://doi.org/10.1016/j.biortech.2008.08.043>

1208 Debnath, S., Ahmed, M.U., Parvez, M.S., Karmokar, A.K., Ahsan, M.N. (2021). Effect  
1209 of stocking density on growth performance and body composition of climbing  
1210 perch (*Anabas testudineus*) in biofloc system. *Aquaculture International*.

1211 <https://doi.org/10.1007/s10499-021-00812-4>

1212 Doan, H.V., Lumsankul, C., Hoseinifar, S.H., Hung, T.Q., Stejskal, V., Ringø, E.,  
1213 Dawood, M.A.O., Esteban, M.Á. (2020). Administration of watermelon rind  
1214 powder to Nile tilapia (*Oreochromis niloticus*) culture under biofloc system: Effect  
1215 on growth performance, innate immune response, and disease resistance.

- 1216 Aquaculture. 528, 735574.
- 1217 <https://doi.org/10.1016/j.aquaculture.2020.735574>
- 1218 Doan, H.V., Hoseinifar, S.H., Elumalai, P., Tongsiri, S., Chitmanat, C., Jaturasitha, S.,  
1219 Doolgindachbaporn, S. (2018). Effects of orange peels derived pectin on innate  
1220 immune response, disease resistance and growth performance of Nile tilapia  
1221 (*Oreochromis niloticus*) cultured under indoor biofloc system. Fish Shellfish  
1222 Immunology. 80, 56–62.
- 1223 <https://doi.org/10.1016/j.fsi.2018.05.049>
- 1224 Durigon, E.G., Lazzari, R., Uczay, J., Lopes, D.L.A., Jerônimo, G.T., Sgnaulin, T.,  
1225 Emerenciano, M.G.C. (2019). Biofloc technology (BFT): Adjusting the levels of  
1226 digestible protein and digestible energy in diets of Nile tilapia juveniles raised in  
1227 brackish water. Aquaculture and Fisheries. 5, 42–51.
- 1228 <https://doi.org/10.1016/j.aaf.2019.07.001>
- 1229 Ebeling, J.M., Timmons, M.B., Bisogni, J.J. (2006). Engineering analysis of the  
1230 stoichiometry of photoautotrophic, autotrophic, and heterotrophic removal of  
1231 ammonia-nitrogen in aquaculture systems. Aquaculture. 257, 346–358.
- 1232 <https://doi.org/10.1016/j.aquaculture.2006.03.019>
- 1233 Ebrahimi, A., Akrami, R., Najdegerami, E.H., Ghiasvand, Z., Koohsari, H. (2020).  
1234 Effects of different protein levels and carbon sources on water quality, antioxidant  
1235 status and performance of common carp (*Cyprinus carpio*) juveniles raised in  
1236 biofloc based system. Aquaculture. 516, 734639.
- 1237 <https://doi.org/10.1016/j.aquaculture.2019.734639>
- 1238 Ekasari, J., Angela, D., Waluyo, S.H., Bachtiar, T., Surawidjaja, E.H., Bossier, P., De  
1239 Schryver, P. (2014). The size of biofloc determines the nutritional composition and  
1240 the nitrogen recovery by aquaculture animals. Aquaculture. 426–427, 105–111.
- 1241 <https://doi.org/10.1016/j.aquaculture.2014.01.023>
- 1242 Ekasari, J., Rivandi, D.R., Firdausi, A.P., Surawidjaja, E.H., Zairin, M., Bossier, P., De  
1243 Schryver, P. (2015). Biofloc technology positively affects Nile tilapia  
1244 (*Oreochromis niloticus*) larvae performance. Aquaculture. 441, 72–77.

- 1245 <https://doi.org/10.1016/j.aquaculture.2015.02.019>
- 1246 Ekasari, J., Zairin, M., Putri, D.U., Sari, N.P., Surawidjaja, E.H., Bossier, P. (2013).  
1247 Biofloc-based reproductive performance of Nile tilapia *Oreochromis niloticus* L.  
1248 broodstock. Aquaculture Research. 46, 509–512. <https://doi.org/10.1111/are.12185>
- 1249 El-Shafiey, M.H.M., Mabroke, R.S., Mola, H.R.A., Hassaan, M.S., Suloma, A. (2018).  
1250 Assessing the suitability of different carbon sources for Nile tilapia, *Oreochromis*  
1251 *niloticus* culture in BFT system. Aquaculture, Aquarium, Conservation &  
1252 Legislation - International Journal of the Bioflux Society. 11, 782–795.
- 1253 Ezhilarasi, V., Verma, A.K., Babitharani, A.M., Harikrishna, V., Chandrakant, M.H.,  
1254 Ahmad, I., Nageswari, P. (2019). Effect of different carbon sources on growth,  
1255 non-specific immunity and digestive enzyme activity of amur carp (*Cyprinus*  
1256 *rubrofasciatus* lacepede 1803) fingerlings in biofloc based rearing system using  
1257 inland saline groundwater. Indian Journal of Fisheries. 66, 85–92.  
1258 <https://doi.org/10.21077/ijf.2019.66.3.86206-11>
- 1259 FAO - Food and Agriculture Organization. (2020). The State of World Fisheries and  
1260 Aquaculture 2020. Sustainability in action. Rome.  
1261 <https://doi.org/10.4060/ca9229en>
- 1262 Fatimah, N., Pande, G.S.J., Natrah, F.M.I., Meritha, W.W., Widanarni, Sucipto, A.,  
1263 Ekasari, J. (2019). The role of microbial quorum sensing on the characteristics and  
1264 functionality of bioflocs in aquaculture systems. Aquaculture. 504, 420–426.  
1265 <https://doi.org/10.1016/j.aquaculture.2019.02.022>
- 1266 Fauji, H., Budiardi, T., Ekasari, J. (2018). Growth performance and robustness of  
1267 African Catfish *Clarias gariepinus* (Burchell) in biofloc-based nursery production  
1268 with different stocking densities. Aquaculture Research. 49, 1339–1346.  
1269 <https://doi.org/10.1111/are.13595>
- 1270 Gallardo-Collí, A., Pérez-Fuentes, M., Pérez-Rostro, C.I., Hernández-Vergara, M.P.  
1271 (2020). Compensatory growth of Nile tilapia *Oreochromis niloticus*, L. subjected  
1272 to cyclic periods of feed restriction and feeding in a biofloc system. Aquaculture  
1273 Research. 51, 1813-182.  
1274 <https://doi.org/10.1111/are.14530>

- 1275 García-Ríos, L., Miranda-Baeza, A., Coelho-Emerenciano, M.G., Huerta-Rábago, J.A.,  
1276 Osuna-Amarillas, P. (2019). Biofloc technology (BFT) applied to tilapia  
1277 fingerlings production using different carbon sources: Emphasis on commercial  
1278 applications. *Aquaculture*. 502, 26–31.  
1279 <https://doi.org/10.1016/j.aquaculture.2018.11.057>
- 1280 Glencross, B.D. (2009). Exploring the nutritional demand for essential fatty acids by  
1281 aquaculture species. *Reviews in Aquaculture*. 1, 71–124.  
1282 <https://doi.org/10.1111/j.1753-5131.2009.01006.x>
- 1283 Green, B.W., McEntire, M.E. (2017). Comparative water quality and channel catfish  
1284 production in earthen ponds and a biofloc technology production system. *Journal*  
1285 *of Applied Aquaculture*. 29, 1–15.  
1286 <https://doi.org/10.1080/10454438.2016.1261751>
- 1287 Green, B.W., Rawles, S.D., Webster, C.D., McEntire, M.E. (2018). Effect of Stocking  
1288 Rate on Growing Juvenile Sunshine Bass, *Morone chrysops* × *M. saxatilis* , in an  
1289 Outdoor Biofloc Production System. *Journal of World Aquaculture Society*. 49,  
1290 827–836. <https://doi.org/10.1111/jwas.12491>
- 1291 Green, B.W. (2010). Effect of Channel Catfish Stocking Rate on Yield and Water  
1292 Quality in an Intensive, Mixed Suspended-Growth Production System. *North*  
1293 *American Journal of Aquaculture*. 72, 97–106. <https://doi.org/10.1577/a09-020.1>
- 1294 Green, B.W., Schrader, K.K., Perschbacher, P.W. (2012). Effect of stocking biomass on  
1295 solids, phytoplankton communities, common off-flavors, and production  
1296 parameters in a channel catfish biofloc technology production system. *Aquaculture*  
1297 *Research*. 45, 1442–1458. <https://doi.org/10.1111/are.12096>
- 1298 Green, B.W. (2015). Performance of a temperate-zone channel catfish biofloc  
1299 technology production system during winter. *Aquacultural Engineering*. 64, 60–67.  
1300 <https://doi.org/10.1016/j.aquaeng.2014.11.001>
- 1301 Hargreaves, J.A. (2006). Photosynthetic suspended-growth systems in aquaculture.  
1302 *Aquacultural Engineering*. 34, 344–363.  
1303 <https://doi.org/10.1016/j.aquaeng.2005.08.009>

- 1304 Haridas, H., Verma, A.K., Rathore, G., Prakash, C., Sawant, P.B., Babitha Rani, A.M.  
1305 (2017). Enhanced growth and immuno-physiological response of Genetically  
1306 Improved Farmed Tilapia in indoor biofloc units at different stocking densities.  
1307 *Aquaculture Research*. 48, 4346–4355. <https://doi.org/10.1111/are.13256>
- 1308 Hisano, H., Parisi, J., Cardoso, I.L., Ferri, G.H., Ferreira, P.M.F. (2019). Dietary protein  
1309 reduction for Nile tilapia fingerlings reared in biofloc technology. *Journal of World*  
1310 *Aquaculture Society*. 1-11. <https://doi.org/10.1111/jwas.12670>
- 1311 Hisano, H., Pinheiro, V.R., Losekann, M.E., Moura e Silva, M.S.G. (2020). Effect of  
1312 feeding frequency on water quality, growth, and hematological parameters of Nile  
1313 tilapia *Oreochromis niloticus* reared using biofloc technology. *Journal of Applied*  
1314 *Aquaculture*. 33, 96–110. <https://doi.org/10.1080/10454438.2020.1715909>
- 1315 Kamilya, D., Debbarma, M., Pal, P., Kheti, B., Sarkar, S., Singh, S.T. (2017). Biofloc  
1316 technology application in indoor culture of *Labeo rohita* (Hamilton, 1822)  
1317 fingerlings: The effects on inorganic nitrogen control, growth and immunity.  
1318 *Chemosphere*. 182, 8–14. <https://doi.org/10.1016/j.chemosphere.2017.05.021>
- 1319 Kheti, B., Kamilya, D., Choudhury, J., Parhi, J., Debbarma, M., Singh, S.T. (2017).  
1320 Dietary microbial floc potentiates immune response, immune relevant gene  
1321 expression and disease resistance in rohu, *Labeo rohita* (Hamilton, 1822)  
1322 fingerlings. *Aquaculture*. 468, 501–507.  
1323 <https://doi.org/10.1016/j.aquaculture.2016.11.018>
- 1324 Kim, J.H., Sohn, S., Kim, S.K., Hur, Y.B. (2020). Effects on hematological parameters,  
1325 antioxidant and immune responses, AChE, and stress indicators of olive flounders,  
1326 *Paralichthys olivaceus*, raised in bio-floc and seawater challenged by *Edwardsiella*  
1327 *tarda*. *Fish Shellfish Immunology*. 97, 194–203.  
1328 <https://doi.org/10.1016/j.fsi.2019.12.011>
- 1329 Kim, J.H., Kim, S.K., Kim, J.H. (2018). Bio-floc technology application in flatfish  
1330 *Paralichthys olivaceus* culture: Effects on water quality, growth, hematological  
1331 parameters, and immune responses. *Aquaculture*. 495, 703–709.  
1332 <https://doi.org/10.1016/j.aquaculture.2018.06.034>
- 1333 Klanian, M.G., Díaz, M.D., Solís, M.J.S., Aranda, J., Moral, P.M. (2020). Effect of the

- 1334 content of microbial proteins and the poly- $\beta$ -hydroxybutyric acid in biofloc on the  
1335 performance and health of Nile tilapia (*Oreochromis niloticus*) fingerlings fed on a  
1336 protein-restricted diet. *Aquaculture*. 519, 734872.
- 1337 <https://doi.org/10.1016/j.aquaculture.2019.734872>
- 1338 Legarda, E.C., Poli, M.A., Martins, M.A., Pereira, S.A., Martins, M.L., Machado, C.,  
1339 De Lorenzo, M.A., Do Nascimento Vieira, F. (2019). Integrated recirculating  
1340 aquaculture system for mullet and shrimp using biofloc technology. *Aquaculture*.  
1341 512, 734308.
- 1342 <https://doi.org/10.1016/j.aquaculture.2019.734308>
- 1343 Li, J., Liu, G., Li, C., Deng, Y., Tadda, M.A., Lan, L., Zhu, S., Liu, D. (2018). Effects  
1344 of different solid carbon sources on water quality, biofloc quality and gut  
1345 microbiota of Nile tilapia (*Oreochromis niloticus*) larvae. *Aquaculture*. 495, 919–  
1346 931.
- 1347 <https://doi.org/10.1016/j.aquaculture.2018.06.078>
- 1348 Lima, E.C.R., Souza, R.L., Wambach, X.F., Silva, U.L., Correia, E.S. (2015). Culture of  
1349 the Nile tilapia “*Oreochromis niloticus*” in biofloc system with different stocking  
1350 densities. *Revista Brasileira de Saúde e Produção Animal*. 16, 948–957.
- 1351 <https://doi.org/10.1590/s1519-99402015000400018>
- 1352 Lima, P.C.M., Abreu, J.L., Silva, A.E.M., Severi, W., Galvez, A.O., Brito, L.O. (2019).  
1353 Nile tilapia fingerling cultivated in a low-salinity biofloc system at different  
1354 stocking densities. *Spanish Journal of Agricultural Research*. 16, e0612.
- 1355 <https://doi.org/10.5424/sjar/2018164-13222>
- 1356 Lima, E.C.R., Souza, R.L., Girão, P.J.M., Braga, Í.F.M., Correia, E.S. (2018). Culture  
1357 of Nile tilapia in a biofloc system with different sources of carbon. *Revista Ciência  
1358 Agrônômica*. 49, 458–466. <https://doi.org/10.5935/1806-6690.20180052>
- 1359 Liu, G., Deng, Y., Verdegem, M., Ye, Z., Zhu, S. (2019). Using poly( $\beta$ -  
1360 hydroxybutyrate- $\beta$ -hydroxyvalerate) as carbon source in biofloc-systems: Nitrogen  
1361 dynamics and shift of *Oreochromis niloticus* gut microbiota. *Science of The Total  
1362 Environment*. 694, 133664.

- 1363 <https://doi.org/10.1016/j.scitotenv.2019.133664>
- 1364 Liu, G., Ye, Z., Liu, D., Zhao, J., Sivaramasamy, E., Deng, Y., Zhu, S. (2018).  
1365 Influence of stocking density on growth, digestive enzyme activities, immune  
1366 responses, antioxidant of *Oreochromis niloticus* fingerlings in biofloc systems.  
1367 Fish Shellfish Immunology. 81, 416–422. <https://doi.org/10.1016/j.fsi.2018.07.047>
- 1368 Liu, G., Ye, Z., Liu, D., Zhu, S. (2018). Influence of Stocking Density on Growth,  
1369 Digestive Enzyme Activity, Immunity, and Cortisol Levels of Subadult Half-  
1370 smooth Tongue Sole *Cynoglossus semilaevis* in a Recirculating Aquaculture  
1371 System. North American Journal of Aquaculture. 80, 286–293.  
1372 <https://doi.org/10.1002/naaq.10030>
- 1373 Liu, G., Zhu ,S., Liu, D., Ye, Z. (2018). Effect of the C/N ratio on inorganic nitrogen  
1374 control and the growth and physiological parameters of tilapia s fingerlings,  
1375 *Oreochromis niloticus* reared in biofloc systems. Aquaculture Reserch. 49, 2429–  
1376 2439.
- 1377 <https://doi.org/10.1111/are.13702>
- 1378 Liu, W., Luo, G., Chen, W., Tan, H., Wu, S., Zhang, N., Yu, Y. (2018). Effect of no  
1379 carbohydrate addition on water quality, growth performance and microbial  
1380 community in water-reusing biofloc systems for tilapia production under high-  
1381 density cultivation. Aquaculture Reserch. 49, 2446–2454.  
1382 <https://doi.org/10.1111/are.13704>
- 1383 Liu, Z., Ren, Z., Zhang, J., Chuang, C.C., Kandaswamy, E., Zhou, T., Zuo, L. (2018).  
1384 Role of ROS and nutritional antioxidants in human diseases. Frontiers Physiology.  
1385 9, 1–14.
- 1386 <https://doi.org/10.3389/fphys.2018.00477>
- 1387 Long, L., Yang, J., Li, Y., Guan, C., Wu, F. (2015). Effect of biofloc technology on  
1388 growth, digestive enzyme activity, hematology, and immune response of  
1389 genetically improved farmed tilapia (*Oreochromis niloticus*). Aquaculture. 448,  
1390 135–141.
- 1391 <https://doi.org/10.1016/j.aquaculture.2015.05.017>
- 1392 Luo, G., Gao, Q., Wang, C., Liu, W., Sun, D., Li, L., Tan, H. (2014). Growth, digestive

- 1393 activity, welfare, and partial cost-effectiveness of genetically improved farmed  
1394 tilapia (*Oreochromis niloticus*) cultured in a recirculating aquaculture system and  
1395 an indoor biofloc system. *Aquaculture*. 422–423, 1–7.
- 1396 <https://doi.org/10.1016/j.aquaculture.2013.11.023>
- 1397 Luo, G., Zhang, N., Cai, S., Tan, H., Liu, Z. (2017). Nitrogen dynamics, bacterial  
1398 community composition and biofloc quality in biofloc-based systems cultured  
1399 *Oreochromis niloticus* with poly- $\beta$ -hydroxybutyric and polycaprolactone as  
1400 external carbohydrates. *Aquaculture*. 479, 732–741.
- 1401 <https://doi.org/10.1016/j.aquaculture.2017.07.017>
- 1402 Mabroke, R.S., Zidan, A.E.N.F.A., Tahoun, A.A., Mola, H.R.A., Abo-State, H.,  
1403 Suloma, A., (2021). Feeding frequency affect feed utilization of tilapia under  
1404 biofloc system condition during nursery phase. *Aquaculture Reports*. 19, 100625.
- 1405 <https://doi.org/10.1016/j.aqrep.2021.100625>
- 1406 Magondu, E.W., Charo-Karisa, H., Verdegem, M.C.J. (2013). Effect of C/N ratio levels  
1407 and stocking density of *Labeo victorianus* on pond environmental quality using  
1408 maize flour as a carbon source. *Aquaculture*. 410–411, 157–163.
- 1409 <https://doi.org/10.1016/j.aquaculture.2013.06.021>
- 1410 Mahanand, S.S., Moulick, S., Rao, P.S. (2013). Water Quality and Growth of Rohu,  
1411 *Labeo rohita*, in a Biofloc System. *Journal of Applied Aquaculture*. 25, 121–131.
- 1412 <https://doi.org/10.1080/10454438.2013.788898>
- 1413 Mahanand, S.S., Moulick, S., Rao, P.S. (2013). Optimum formulation of feed for rohu,  
1414 *Labeo rohita* (Hamilton), with biofloc as a component. *Aquaculture International*.  
1415 21, 347–360.
- 1416 <https://doi.org/10.1007/s10499-012-9557-x>
- 1417 Manduca, L.G., Silva, M.A., Alvarenga, É.R., Alves, G.F.O., Ferreira, N.H., Teixeira,  
1418 E.A., Fernandes, A.F.A., Silva, M.A., Turra, E.M. (2021). Effects of different  
1419 stocking densities on Nile tilapia performance and profitability of a biofloc system  
1420 with a minimum water exchange. *Aquaculture*. 530, 735814.
- 1421 <https://doi.org/10.1016/j.aquaculture.2020.735814>

- 1422 Manduca, L.G., Silva, M.A., Alvarenga, É.R., Alves, G.F.O., Fernandes, A.F.A.,  
1423 Assumpção, A.F., Cardoso, A.C., Sales, S.C.M., Teixeira, E.A., Silva, M.A.,  
1424 Turra, E.M. (2020). Effects of a zero exchange biofloc system on the growth  
1425 performance and health of Nile tilapia at different stocking densities. *Aquaculture*  
1426 521, 7358064.  
1427 <https://doi.org/10.1016/j.aquaculture.2020.735064>
- 1428 Mansour, A.T., Esteban, M.Á. (2017). Effects of carbon sources and plant protein levels  
1429 in a biofloc system on growth performance, and the immune and antioxidant status  
1430 of Nile tilapia (*Oreochromis niloticus*). *Fish Shellfish Immunology*. 64, 202–209.  
1431 <https://doi.org/10.1016/j.fsi.2017.03.025>
- 1432 Martins, M.A., Poli, M.A., Legarda, E.C., Pinheiro, I.C., Carneiro, R.F.S., Pereira, S.A.,  
1433 Martins, M.L., Gonçalves, P., Schleder, D.D., Vieira, F.N. (2020). Heterotrophic  
1434 and mature biofloc systems in the integrated culture of Pacific white shrimp and  
1435 Nile tilapia. *Aquaculture*. 514, 734517.  
1436 <https://doi.org/10.1016/j.aquaculture.2019.734517>
- 1437 Menaga, M., Felix, S., Charulatha, M., Gopalakannan, A., Panigrahi, A. (2019). Effect  
1438 of in-situ and ex-situ biofloc on immune response of Genetically Improved Farmed  
1439 Tilapia. *Fish Shellfish Immunology*. 92, 698–705.  
1440 <https://doi.org/10.1016/j.fsi.2019.06.031>
- 1441 Minaz, M., Kubilay, A. (2021). Operating parameters affecting biofloc technology:  
1442 carbon source, carbon/nitrogen ratio, feeding regime, stocking density, salinity,  
1443 aeration, and microbial community manipulation. *Aquaculture International*. 29,  
1444 1121–1140. <https://doi.org/10.1007/s10499-021-00681-x>
- 1445 Mirzakhani, N., Ebrahimi, E., Jalali, S.A.H., Ekasari, J. (2019). Growth performance,  
1446 intestinal morphology and nonspecific immunity response of Nile tilapia  
1447 (*Oreochromis niloticus*) fry cultured in biofloc systems with different carbon  
1448 sources and input C:N ratios. *Aquaculture*. 512, 734235.  
1449 <https://doi.org/10.1016/j.aquaculture.2019.734235>
- 1450 Mohammadi, G., Rafiee, G., Abdelrahman, H.A. (2020). Effects of dietary  
1451 *Lactobacillus plantarum* (KC426951) in biofloc and stagnant-renewal culture  
1452 systems on growth performance, mucosal parameters, and serum innate responses

1453 of Nile tilapia *Oreochromis niloticus*. Fish Physiology and Biochemistry. 46,  
1454 1167–1181.

1455 <https://doi.org/10.1007/s10695-020-00777-w>

1456 Najdegerami, E.H., Bakhshi, F., Lakani, F.B. (2016). Effects of biofloc on growth  
1457 performance, digestive enzyme activities and liver histology of common carp  
1458 (*Cyprinus carpio* L.) fingerlings in zero-water exchange system. Fish Physiology  
1459 and Biochemistry. 42, 457–465. <https://doi.org/10.1007/s10695-015-0151-9>

1460 Naqash, F., Masoodi, F.A., Rather, S.A., Wani, S.M., Gani, A. (2017). Emerging  
1461 concepts in the nutraceutical and functional properties of pectin – a review.  
1462 Carbohydrate Polymers. 168, 227-239.  
1463 <https://doi.org/10.1016/j.carbpol.2017.03.058>

1464 Ng, W.K., Romano, N. (2013). A review of the nutrition and feeding management of  
1465 farmed tilapia throughout the culture cycle. Reviews in Aquaculture. 5, 220–254.  
1466 <https://doi.org/10.1111/raq.12014>

1467 Nhi, N.H.Y., Da, C.T., Lundh, T., Lan, T.T., Kiessling, A. (2018). Comparative  
1468 evaluation of Brewer’s yeast as a replacement for fishmeal in diets for tilapia  
1469 (*Oreochromis niloticus*), reared in clear water or biofloc environments.  
1470 Aquaculture. 495, 654–660.

1471 <https://doi.org/10.1016/j.aquaculture.2018.06.035>

1472 Nobile, A.B., Cunico, A.M., Vitule, J.R.S., Queiroz, J., Vidotto-Magnoni, A.P., Garcia,  
1473 D.A.Z., Orsi, M.L., Lima, F.P., Acosta, A.A., Silva, R.J., Prado, F.D., Porto-  
1474 Foresti, F., Brandão, H., Foresti, F., Oliveira, C., Ramos, I.P. (2019). Status and  
1475 recommendations for sustainable freshwater aquaculture in Brazil. Reviews in  
1476 Aquaculture. 1–23. <https://doi.org/10.1111/raq.12393>

1477 NRC (2011). Nutrients requirements of fish and shrimp. The National Academies Press,  
1478 Washington, D.C. <https://doi.org/10.17226/13039>

1479 Oliveira, L.K., Pilz, L., Furtado, P.S., Ballester, E.L.C., Bicudo, Á.J.A. (2021). Growth,  
1480 nutritional efficiency, and profitability of juvenile GIFT strain of Nile tilapia  
1481 (*Oreochromis niloticus*) reared in biofloc system on graded feeding rates.  
1482 Aquaculture. 541, 73683.

- 1483 <https://doi.org/10.1016/j.aquaculture.2021.736830>
- 1484 Park, J., Roy, L.A., Renukdas, N., Luna, T. (2017). Evaluation of a Biofloc System for  
1485 Intensive Culture of Fathead Minnows, *Pimephales promelas*. Journal of World  
1486 Aquaculture Society. 48, 592–601.
- 1487 <https://doi.org/10.1111/jwas.12387>
- 1488 Peixoto, S., Silva, E., Costa, C.B., Nery, R.C., Rodrigues, F., Silva, J.F., Bezerra, R.,  
1489 Soares, R. (2018). Effect of feeding frequency on growth and enzymatic activity of  
1490 *Litopenaeus vannamei* during nursery phase in biofloc system. Aquaculture  
1491 Nutrition. 24, 579–585.
- 1492 <https://doi.org/10.1111/anu.12591>
- 1493 Pérez-Fuentes JA, Pérez-Rostro CI, Hernández-Vergara MP, Monroy-Dosta MC (2018)  
1494 Variation of the bacterial composition of biofloc and the intestine of Nile tilapia  
1495 *Oreochromis niloticus*, cultivated using biofloc technology, supplied different feed  
1496 rations. Aquaculture Research. 49, 3658–3668. <https://doi.org/10.1111/are.13834>
- 1497 Pérez-Fuentes JA, Hernández-Vergara MP, Pérez-Rostro CI, Fogel I (2016) C:N ratios  
1498 affect nitrogen removal and production of Nile tilapia *Oreochromis niloticus* raised  
1499 in a biofloc system under high density cultivation. Aquaculture. 452, 247–251.
- 1500 <https://doi.org/10.1016/j.aquaculture.2015.11.010>
- 1501 Poleo, G., Aranbarrio, J.V., Mendoza, L., Romero, O. (2011). Cultivo de cachama  
1502 blanca en altas densidades y en dos sistemas cerrados. Pesquisa Agropecuária  
1503 Brasileira. 46, 429–437.
- 1504 <https://doi.org/10.1590/S0100-204X2011000400013>
- 1505 Poli, M.A., Schweitzer, R., Nuñez, A.P.O. (2015). The use of biofloc technology in a  
1506 South American catfish (*Rhamdia quelen*) hatchery: Effect of suspended solids in  
1507 the performance of larvae. Aquacultural Engineering. 66, 17–21.
- 1508 <https://doi.org/10.1016/j.aquaeng.2015.01.004>
- 1509 Qiao, G., Chen, P., Sun, Q., Zhang, M., Zhang, J., Li, Z., Li, Q. (2020). Poly- $\beta$ -  
1510 hydroxybutyrate (PHB) in bioflocs alters intestinal microbial community structure,  
1511 immune-related gene expression and early Cyprinid herpesvirus 2 replication in

- 1512 gibel carp (*Carassius auratus gibelio*). Fish Shellfish Immunology. 97, 72–82.
- 1513 <https://doi.org/10.1016/j.fsi.2019.12.045>
- 1514 Refaey, M.M., Li, D., Tian, X., Zhang, Z., Zhang, X., Li, L., Tang, R. (2018). High  
1515 stocking density alters growth performance, blood biochemistry, intestinal  
1516 histology, and muscle quality of channel catfish *Ictalurus punctatus*. Aquaculture.  
1517 492, 73–81.
- 1518 <https://doi.org/10.1016/j.aquaculture.2018.04.003>
- 1519 Rego, M.A.S., Sabbag, O.J., Soares, R., Peixoto, S. (2017). Financial viability of  
1520 inserting the biofloc technology in a marine shrimp *Litopenaeus vannamei* farm: a  
1521 case study in the state of Pernambuco, Brazil. Aquaculture International. 25, 473–  
1522 483.
- 1523 <https://doi.org/10.1007/s10499-016-0044-7>
- 1524 Rocha, A. F., Barbosa, V. M., Wasielesky Jr, W., Abreu, P. C., Lisboa, V., Cavalli, L.,  
1525 Tesser, M.B. (2021). Water quality and juvenile development of mullet *Mugil liza*  
1526 in a biofloc system with an additional carbon source: Dextrose, liquid molasses or  
1527 rice bran?. Aquaculture Research. 53, 870-883. <https://doi.org/10.1111/are.15628>
- 1528 Romano, N., Dauda, A.B., Ikhsan, N., Karim, M., Kamarudin, M.S. (2018). Fermenting  
1529 rice bran as a carbon source for biofloc technology improved the water quality,  
1530 growth, feeding efficiencies, and biochemical composition of African catfish  
1531 *Clarias gariepinus* juveniles. Aquaculture Research. 49, 3691–3701.  
1532 <https://doi.org/10.1111/are.13837>
- 1533 Sandoval-Vargas, L.Y., Jiménez-Amaya, M.N., Rodríguez-Pulido, J., Guaje-Ramírez,  
1534 D.N., Ramírez-Merlano, J.A., Medina-Robles, V.M. (2020). Applying biofloc  
1535 technology in the culture of juvenile of *Piaractus brachypomus* (Cuvier, 1818):  
1536 Effects on zootechnical performance and water quality. Aquaculture Research. 51,  
1537 3865–3878.
- 1538 <https://doi.org/10.1111/are.14734>
- 1539 Sgnaulin, T., Durigon, E.G., Pinho, S.M., Jerônimo, G.T., Lopes, D.L.A., Emerenciano,  
1540 M.G.C. (2020). Nutrition of Genetically Improved Farmed Tilapia (GIFT) in  
1541 biofloc technology system: Optimization of digestible protein and digestible

- 1542 energy levels during nursery phase. *Aquaculture*. 521, 734998.
- 1543 <https://doi.org/10.1016/j.aquaculture.2020.734998>
- 1544 Silva, B.C. da, Massago, H., Andrade, J.I.A. de, Serafini, R. de L., Jatobá, A. (2022).
- 1545 Tilapia nursery stocking densities in a chemoautotrophic biofloc system. *Ciência e*
- 1546 *Agrotecnologia* 46, 2022.
- 1547 <https://doi.org/10.1590/1413-7054202246022321>
- 1548 Silva, M.A., Alvarenga, É.R., Costa, F.F.B., Turra, E.M., Alves, G.F.O., Manduca,
- 1549 L.G., Sales, S.C.M., Leite, N.R., Bezerra, V.M., Moraes, S.G.S., Teixeira, E.A.
- 1550 (2020). Feeding management strategies to optimize the use of suspended feed for
- 1551 Nile tilapia (*Oreochromis niloticus*) cultivated in bioflocs. *Aquaculture Research*.
- 1552 51, 605–615. <https://doi.org/10.1111/are.14408>
- 1553 Silva, U.L., Falcon, D.R., Pessôa, M.N.D.C., Correia, E.D.S. (2017). Carbon sources
- 1554 and C: N ratios on water quality for Nile tilapia farming in biofloc system. *Revista*
- 1555 *Caatinga*. 30, 1017–1027. <https://doi.org/10.1590/1983-21252017v30n423rc>
- 1556 Silva, U.L., Vieira, L.C., Mello, M.V.L., França, E.J., Falcon, D.R., Correia, E.S.
- 1557 (2018). Response of phytoplankton to different carbon sources and C: N ratios in
- 1558 Tilapia fingerling culture with bioflocs. *Boletim do Instituto de Pesca*. 44, e255.
- 1559 <https://doi.org/10.20950/1678-2305.2018.255>
- 1560 Silva, M.A., Alvarenga, É.R., Alves, G.F.O., Manduca, L.G., Turra, E.M., Brito, T.S.,
- 1561 Sales, S.C.M., Silva Junior, A.F., Borges, W.J.M., Teixeira, E.A. (2018). Crude
- 1562 protein levels in diets for two growth stages of Nile tilapia (*Oreochromis niloticus*)
- 1563 in a biofloc system. *Aquaculture Research*. 49, 2693–2703.
- 1564 <https://doi.org/10.1111/are.13730>
- 1565 Simon, C.J., Blyth, D., Ahmad Fatan, N., Suri, S. (2019). Microbial biomass
- 1566 (Novacq™) stimulates feeding and improves the growth performance on extruded
- 1567 low to zero-fishmeal diets in tilapia (GIFT strain). *Aquaculture*. 501, 319–324.
- 1568 <https://doi.org/10.1016/j.aquaculture.2018.11.052>
- 1569 Soedibya, P.H.T., Pramono, T.B., Listiowati, E. (2017). Growth performance of African
- 1570 catfish *Clarias gariepinus* cultured in biofloc system at high stocking density.
- 1571 *Jurnal Akuakultur Indonesia*. 16, 244.

- 1572 <https://doi.org/10.19027/jai.16.2.244-252>
- 1573 Sousa, A.A., Pinho, S.M., Rombenso, A.N., Mello, G.L., Emerenciano, M.G.C. (2019).  
1574 Pizzeria by-product: A complementary feed source for Nile tilapia (*Oreochromis*  
1575 *niloticus*) raised in biofloc technology? *Aquaculture*. 501, 359–367.
- 1576 <https://doi.org/10.1016/j.aquaculture.2018.11.055>
- 1577 Toyés-Vargas, E.A., Parrish, C.C., Viana, M.T., Carreón-Palau, L., Magallón-Servín,  
1578 P., Magallón-Barajas, F.J. (2020). Replacement of fish oil with camelina  
1579 (*Camelina sativa*) oil in diets for juvenile tilapia (var. GIFT *Oreochromis*  
1580 *niloticus*) and its effect on growth, feed utilization and muscle lipid composition.  
1581 *Aquaculture*. 523, 735177.
- 1582 <https://doi.org/10.1016/j.aquaculture.2020.735177>
- 1583 Tubin, J.S.B., Paiano, D., Hashimoto, G.S.O., Furtado, W.E., Martins, M.L., Durigon,  
1584 E., Emerenciano, M.G.C. (2020). Tenebrio molitor meal in diets for Nile tilapia  
1585 juveniles reared in biofloc system. *Aquaculture*. 519, 734763.
- 1586 <https://doi.org/10.1016/j.aquaculture.2019.734763>
- 1587 Van Doan H, Hoseinifar SH, Hung TQ, Lumsangkul C, Jaturasitha S, El-Haroun E,  
1588 Paolucci M (2020). Dietary inclusion of chestnut (*Castanea sativa*) polyphenols to  
1589 Nile tilapia reared in biofloc technology: Impacts on growth, immunity, and  
1590 disease resistance against *Streptococcus agalactiae*. *Fish Shellfish Immunology*.  
1591 105:319–326.
- 1592 <https://doi.org/10.1016/j.fsi.2020.07.010>
- 1593 Van Doan, H., Hoseinifar, S.H., Naraballobh, W., Jaturasitha, S., Tongsiri, S.,  
1594 Chitmanat, C., Ringø, E. (2019). Dietary inclusion of Orange peels derived pectin  
1595 and *Lactobacillus plantarum* for Nile tilapia (*Oreochromis niloticus*) cultured under  
1596 indoor biofloc systems. *Aquaculture*. 508, 98–105.
- 1597 <https://doi.org/10.1016/j.aquaculture.2019.03.067>
- 1598 Vieira, R.B., Barreto, L.M., Fonseca, K.Z., Lordelo, M.S., Souza, F.R., Evangelista-  
1599 Barreto, N.S. (2019). Zootechnical performance evaluation of the use of biofloc  
1600 technology in Nile tilapia fingerling production at different densities. *Boletim do*  
1601 *Instituto de Pesca* 45, e505. <https://doi.org/10.20950/1678-2305.2019.45.4.505>

- 1602 Wang, G., Yu, E., Xie, J., Yu, D., Li, Z., Luo, W., Qiu, L., Zheng, Z. (2015). Effect of  
1603 C/N ratio on water quality in zero-water exchange tanks and the biofloc  
1604 supplementation in feed on the growth performance of crucian carp, *Carassius*  
1605 *auratus*. *Aquaculture*. 443, 98–104.  
1606 <https://doi.org/10.1016/j.aquaculture.2015.03.015>
- 1607 Wei, Y., Liao, S.A., Wang, A.L. (2016). The effect of different carbon sources on the  
1608 nutritional composition, microbial community and structure of bioflocs.  
1609 *Aquaculture*. 465, 88–93. <https://doi.org/10.1016/j.aquaculture.2016.08.040>
- 1610 Widanarni, Ekasari, J., Maryam, S. (2012). Evaluation of Biofloc Technology  
1611 Application on Water Quality and Production Performance of Red Tilapia  
1612 *Oreochromis sp.* Cultured at Different Stocking Densities. *HAYATI Journal of*  
1613 *Biosciences*. 19, 73–80.  
1614 <https://doi.org/10.4308/hjb.19.2.73>
- 1615 Yoo, G.Y., Lee, J.Y. (2016). The effect of feeding frequency, water temperature, and  
1616 stocking density on the growth of river puffer *Takifugu obscurus* reared in a zero-  
1617 exchange water system. *Fisheries and Aquatic Sciences*. 19, 23.  
1618 <https://doi.org/10.1186/s41240-016-0024-x>
- 1619 Yu, Z., Dai, Z.Y., Qin, G.X., Li, M.Y., Wu, L.F. (2020a). Alleviative effects of dietary  
1620 microbial floc on copper-induced inflammation, oxidative stress, intestinal  
1621 apoptosis and barrier dysfunction in *Rhynchocypris lagowski* Dybowski. *Fish*  
1622 *Shellfish Immunology*. 106, 120–132. doi:  
1623 <https://doi.org/10.1016/j.fsi.2020.07.070>
- 1624 Yu, Z., Huang, Z.Q., Du, H.L., Li, H.J., Wu, L.F. (2020b). Influence of differential  
1625 protein levels of feed on growth, copper-induced immune response and oxidative  
1626 stress of *Rhynchocypris lagowski* in a biofloc-based system. *Aquaculture*  
1627 *Nutrition*., 1–14.  
1628 <https://doi.org/10.1111/anu.13158>
- 1629 Yu, Z., Li, L., Zhu, R., Li, M., Duan, J., Wang, J.Y., Liu, Y.H., Wu, L.F. (2020c).  
1630 Monitoring of growth, digestive enzyme activity, immune response and water  
1631 quality parameters of Golden crucian carp (*Carassius auratus*) in zero-water

- 1632 exchange tanks of biofloc systems. *Aquaculture Reports*. 16.
- 1633 <https://doi.org/10.1016/j.aqrep.2020.100283>
- 1634 Yu, Z., Li, L., Zhu, R., Li, M., Wu, L. (2020d). Effects of bioflocs with different C/N  
1635 ratios on growth, immunological parameters, antioxidants and culture water quality  
1636 in *Opsariichthys kaopingensis* Dybowski. *Aquaculture Research*. 51:805–815.
- 1637 <https://doi.org/10.1111/are.14430>
- 1638 Yu, Z., Zheng, Y., Du, H.L., Li, H.J., Wu, L.F. (2020e). Bioflocs protects copper-  
1639 induced inflammatory response and oxidative stress in *Rhynchocypris lagowski*  
1640 Dybowski through inhibiting NF- $\kappa$ B and Nrf2 signaling pathways. *Fish Shellfish*  
1641 *Immunology*. 98, 466–476.
- 1642 <https://doi.org/10.1016/j.fsi.2020.01.048>
- 1643 Xu, W., Xu, Y., Su, H., Hu, X., Xu, Y., Li, Z., Wen, G., Cao, Y., (2020). Effects of  
1644 feeding frequency on growth, feed utilization, digestive enzyme activity and body  
1645 composition of *Litopenaeus vannamei* in biofloc-based zero-exchange intensive  
1646 systems. *Aquaculture*. 522, 735079.
- 1647 <https://doi.org/10.1016/j.aquaculture.2020.735079>
- 1648 Xu, W.J., Pan, L.Q. (2012). Effects of bioflocs on growth performance, digestive nzyme  
1649 activity and body composition of juvenile *Litopenaeus vannamei* in zero-water  
1650 exchange tanks manipulating C/N ratio in feed. *Aquaculture*. 356, 147 – 152.
- 1651 <https://doi.org/10.1016/j.aquaculture.2012.05.022>
- 1652 Xu, W.J., Pan, L.Q. (2013). Enhancement of immune response and antioxidant status of  
1653 *Litopenaeus vannamei* juvenile in biofloc-based culture tanks manipulating high  
1654 C/N ratio of feed input. *Aquaculture*. 412, 117 – 124.
- 1655 <https://doi.org/10.1016/j.aquaculture.2013.07.017>
- 1656 Zaki, M.A.A., Alabssawy, A.N., Nour, A.E.A.M., El Basuini, M.F., Dawood, M.A.O.,  
1657 Alkahtani, S., Abdel-Daim, M.M. (2020). The impact of stocking density and  
1658 dietary carbon sources on the growth, oxidative status and stress markers of Nile  
1659 tilapia (*Oreochromis niloticus*) reared under biofloc conditions. *Aquaculture*  
1660 *Reports*. 16, 100282. <https://doi.org/10.1016/j.aqrep.2020.100282>

1661 Zhang, M., Li, Y., Xu, D.H., Qiao, G., Zhang, J., Qi, Z., Li, Q. (2018). Effect of  
1662 different water biofloc contents on the growth and immune response of gibel carp  
1663 cultured in zero water exchange and no feed addition system. *Aquaculture*  
1664 *Research*. 49, 1647–1656.

1665 <https://doi.org/10.1111/are.13620>

1666 Zhang, N., Luo, G., Tan, H., Liu, W., Hou, Z. (2016). Growth, digestive enzyme  
1667 activity and welfare of tilapia (*Oreochromis niloticus*) reared in a biofloc-based  
1668 system with poly- $\beta$ -hydroxybutyric as a carbon source. *Aquaculture*. 464, 710–  
1669 717.

1670 <https://doi.org/10.1016/j.aquaculture.2016.08.013>

1671

1672

1673

1674

1675

1676

1677

1678

1679

1680

1681

1682

1683

1684

1685

1686

1687

1688

1689

1690

1691

## ANEXO I – TABELA

1692 Table 1. Fish stocking densities practiced in BFT system.

Species	Density (fish.m <sup>-3</sup> )	Initial weight (g. fish <sup>-1</sup> )	Reference
<i>Clarias gariepinus</i>	4000 – 8000	0.96	Fauji et al. 2018
<i>Cyprinus carpio</i>	714 – 1428	8.41	Adineh et al. 2019
<i>Ictalurus punctatus</i>	3.6 – 10.7	13	Green 2010
<i>Ictalurus punctatus</i>	31.4 – 52.3	48	Green et al. 2012
<i>Labeo rohita</i>	1.6 – 4.9	50	Mahanand et al. 2013
<i>Labeo victorianus</i>	10 – 25	4.75 – 9.45	Magondu et al. 2013
<i>M. chrysops</i> × <i>M. saxatilis</i>	65.3 – 326.4	2.9	Green et al. 2018
<i>Oreochromis niloticus</i>	15 – 45	123	Lima et al. 2015
<i>Oreochromis niloticus</i>	75	38.4	Pérez-Fuentes et al. 2016
<i>Oreochromis niloticus</i>	400 - 800	3.06	Brol et al. 2017
<i>Oreochromis niloticus</i>	200 – 350	0.98	Haridas et al. 2017
<i>Oreochromis niloticus</i>	50 – 180	0.51	Liu et al. 2018
<i>Oreochromis niloticus</i>	500 – 1250	1.02	Lima et al. 2019
<i>Oreochromis niloticus</i>	200 – 1000	1.0	Vieira et al. 2019
<i>Oreochromis niloticus</i>	20 - 80	96.8	Manduca et al. 2020
<i>Oreochromis niloticus</i>	20 – 60	50.47	Zaki et al. 2020
<i>Oreochromis niloticus</i>	18.75 – 75	133.9	Manduca et al. 2021
<i>Oreochromis sp.</i>	25 - 100	77.89	Widanarni et al. 2012
<i>Oreochromis sp.</i>	400 - 800	3.06	Brol et al. 2017
<i>Piaractus brachypomus</i>	20 - 40	5.4	Sandoval-Vargas et al. 2020
<i>Pimephales promelas</i>	100 – 800	0.95	Park et al. 2017
<i>Rhamdia quelen</i>	775 – 2325	12.9	Battisti et al. 2020
<i>Takifugu obscurus</i>	15 - 30	10.5	Yoo and Lee 2016
<i>Takifugu obscurus</i>	15 - 30	41.2	Yoo and Lee 2016

1693

1694

1695

1696 Table 2. Different carbon sources and C/N ratios in BFT based aquaculture

Carbon source	C/N	Species	CP ** (%)	IW (g)	FW (g)	FCR (kg/kg)	days	Reference
Broken rice flour	15:1	<i>Oreochromis niloticus</i>	30.43	50.4 7	130	1.92	84	Zaki et al. 2020
Broken wheat grain flour	15:1	<i>Oreochromis niloticus</i>	30.43	50.5	118	2.09	84	Zaki et al. 2020
Brown sugar	20:1	<i>Cyprinus rubrofuscus</i>	32	*	*	1.77	45	Ezhilarasi et al. 2019
By-product of milling wheat	15:1	<i>Oreochromis niloticus</i>	20-30	48	*	1.80	70	Mansour e Esteban 2017
Cellulose	*	<i>Oreochromis niloticus</i>	30.2	9.14	14.24	2.13	30	El-Shafiey et al. 2018
Cassava starch	10:1	<i>Oreochromis niloticus</i>	45	1.7	12.4	2.1	63	Silva et al. 2018
Cassava starch	20:1	<i>Oreochromis niloticus</i>	45.5	1.7	13.4	2.5	60	Silva et al. 2017
Cassava starch	10:1	<i>Oreochromis niloticus</i>	45.5	1.7	13.8	1.7	60	Silva et al. 2017
Corn	15:1	<i>Labeo horita</i>	28	4.80	*	1.76	60	Ahmad et al. 2016
Corn flour	12:1	<i>Oreochromis niloticus</i>	35	0.05	0.40	1.46	31	García-Ríos et al. 2019
Corn starch	20:1	<i>Cyprinus carpio</i>	35	22.5	52.5	1.3	70	Bakhshi et al. 2018
Corn starch	20:1	<i>Cyprinus carpio</i>	35	20.9	51.7	1.3	70	Bakhshi et al. 2018a
Fermented rice	15:1	<i>Clarias gariepinus</i>	43	9.68	*	0.82	42	Romano et al. 2018
Glicerol	15:1	<i>Clarias gariepinus</i>	32	5.07	22.63	*	42	Dauda et al. 2017
Glucose	16:1	<i>Oreochromis niloticus</i>	30	13.6	228.13	0.78	120	Zhang et al. 2016
Glucose	16,8:1	<i>Oreochromis niloticus</i>	30	13.6	*	0.78	120	Luo et al. 2017
Glucose	*	<i>Oreochromis niloticus</i>	30.2	9.14	12.57	2.61	30	El-Shafiey et al. 2018
Glucose	10:1	<i>Oreochromis niloticus</i>	40	99.6	263.30	1.19	56	Liu et al. 2018
Glucose	15:1	<i>Oreochromis niloticus</i>						
Glucose	20:1	<i>Oreochromis niloticus</i>						
Glucose	10.8:1	<i>Opsariichthys kaopingensis</i>	36	7.1	12.39	1.86	28	Yu et al. 2020
Liquid molasses	15:1	<i>Oreochromis niloticus</i>	36 - 32	72.6	339.21	1.74	145	Lima et al. 2018
Longan seed powder	15:1	<i>Oreochromis niloticus</i>	*	0.50	8.39	1.12	90	Liu et al. 2019
Molasses	10:1	<i>Oreochromis niloticus</i>	45.5	1.7	14.7	1.7	60	Silva et al. 2017

Molasses	20:1	<i>Oreochromis niloticus</i>	45.5	1.7	13.2	1.1	60	Silva et al. 2017
Molasses	*	<i>Oreochromis niloticus</i>	30.2	9.14	11.12	6.5	30	El-Shafiey et al. 2018
Molasses	10:1 20:1	<i>Oreochromis niloticus</i>	45	1.7	13.0	2.1	63	Silva et al. 2018
Molasses	15:1 20:1	<i>Oreochromis niloticus</i>	40	2.7	*	1.21	56	Mirzakhani et al. 2019
Molasses	20:1	<i>Cyprinus carpio</i>	20 - 30	30.5	55.3	2.7	60	Ebrahimi et al. 2020
Polycaprolactone (PCL)	15:1 20:1	<i>Oreochromis niloticus</i>	30	13.6	*	0.87	120	Luo et al. 2017
Policaprolactone (PCL)	< 20:1	<i>Clarias gariepinus</i>	33	6.99	149.62-167.44	1.17-1.37	140	Chen et al. 2020
Poly- $\beta$ -hydroxybutyrate	10.6:1	<i>Oreochromis niloticus</i>	30	13.6	192.3	0.92	120	Zhang et al. 2016
Poly- $\beta$ -hydroxybutyrate	15:1 20:1	<i>Oreochromis niloticus</i>	30	13.6	*	0.92	120	Luo et al. 2017
Poly ( $\beta$ -hydroxybutyrate- $\beta$ -hydroxivalerate)	15:1	<i>Oreochromis niloticus</i>	*	0.50	8.45	1.12	90	Liu et al. 2019
Poly ( $\beta$ -hydroxybutyrate- $\beta$ -hydroxivalerate) + Longan seed powder	15:1	<i>Oreochromis niloticus</i>	*	0.50	8.77	1.11	90	Liu et al. 2019
Powdered molasses	15:1	<i>Oreochromis niloticus</i>	36 - 32	72.6	350.08	1.75	145	Lima et al. 2018
Pure cane sugar	20:1	<i>Oreochromis niloticus</i>	43-40.9	0.2	16.2	1.0	73	Lopez-Betancur et al. 2020
Raw rice bran	15:1	<i>Clarias gariepinus</i>	43	9.68	*	0.92	42	Romano et al. 2018
Rice bran	15:1	<i>Clarias gariepinus</i>	32	5.0	23.46	*	42	Dauda et al. 2017
Rice bran	15:1	<i>Oreochromis niloticus</i>	20-30	48	*	1.80	70	Mansour e Esteban 2017
Rice bran	20:1	<i>Cyprinus carpio</i>	20 - 30	30.5	65.8	2.6	60	Ebrahimi et al. 2020
Rice bran	20:1	<i>Cyprinus rubrofuscus</i>	32	11.17	*	2.02	45	Ezhilarasi et al. 2019
Rice bran + ( <i>Bacillus</i> species)	15:1	<i>Clarias gariepinus</i>	43	9.68	*	1.10	42	Romano et al. 2018
Rice bran + sugarcane	20:1	<i>Cyprinus carpio</i>	20 - 30	30.5	62.1	2.6	60	Ebrahimi et al. 2020

molasses							
Starch	*	<i>Oreochromis niloticus</i>	30.2	9.14	11.85	3.32	El-Shafiey et al. 2018
Sucrose	15:1	<i>Clarias gariepinus</i>	32	5.07	24.13	*	42 Dauda et al. 2017
Sugar	10:1	<i>Oreochromis niloticus</i>	45.5	1.7	14.2	1.6	60 Silva et al. 2017
Sugar	20:1	<i>Oreochromis niloticus</i>	45.5	1.7	15.7	1.6	60 Silva et al. 2017
Sugar	20:1	<i>Cyprinus carpio</i>	35	22.5	*	1.4	70 Bakhshi et al. 2017
Sugar	20:1	<i>Cyprinus carpio</i>	35	26.8	49.6	1.4	70 Bakhshi et al. 2018a
Sugar	15:1	<i>Oreochromis niloticus</i>	36 - 32	72.6	353.3	1.89	145 Lima et al. 2018
Sugar	10:1	<i>Oreochromis niloticus</i>	45	1.7	13.5	1.6	63 Silva et al. 2018
Sugar	20:1	<i>Oreochromis niloticus</i>	35	0.05	0.49	1.28	31 García-Ríos et al. 2019
Sugar beet molasses	20:1	<i>Cyprinus carpio</i>	35	22.5	*	1.4	70 Bakhshi et al. 2018
Sugar beet molasses	20:1	<i>Cyprinus carpio</i>	35	20.9	49.9	1.4	70 Bakhshi et al. 2018a
Sugarcane bagasse	15:1	<i>Labeo horita</i>	28	4.80	*	2.07	60 Ahmad et al. 2016
Sweet potatoes	16:1	<i>Oreochromis sp.</i>	35	15	28.5	0.44	30 Caipang et al. 2015
Tapioca	15:1	<i>Labeo horita</i>	28	4.80	*	1.86	60 Ahmad et al. 2016
Tapioca flour	20:1	<i>Cyprinus rubrofuscus</i>	32	11.1	20.73	2.5	45 Ezhilarasi et al. 2019
Wheat	15:1	<i>Labeo horita</i>	28	4.80	*	1.67	60 Ahmad et al. 2016
Wheat flour	16:1	<i>Oreochromis sp.</i>	35	15	32.7	0.34	30 Caipang et al. 2015
Wheat flour	20:1	<i>Cyprinus rubrofuscus</i>	32	11.1	19.44	2.15	45 Ezhilarasi et al. 2019
Wheat flour	15:1	<i>Oreochromis niloticus</i>	40	2.7	*	0.96 –	56 Mirzakhani et al. 2019
Wheat flour	20:1	<i>Oreochromis niloticus</i>	35	0.05	0.30	1.01	31 García-Ríos et al. 2019

1697 \* no informed; \*\* crude protein feed

1698

1699

1700

1701

1702 Table 3 Bioflocs composition

Carbon source	C/N	Species	CP (%)	CL (%)	References
Glycerol	10:1	**	30 – 31	8 - 9	Ekasari et al. 2010
Glycerol	15:1	<i>Clarias gariepinus</i>	33.3	0.83	Dauda et al. 2017
Glycerol	10:1	<i>Clarias gariepinus</i>	44.27	5.84	Dauda et al. 2018a
Glycerol	15:1	<i>Clarias gariepinus</i>	38.65	7.85	Dauda et al. 2018a
Glycerol	20:1	<i>Clarias gariepinus</i>	32.64	10.78	Dauda et al. 2018a
Glycerol	15:1	<i>H. wetmorei</i> ♂ × <i>B. gonionotus</i> ♀	34.2 – 45.7	0.42 – 0.65	Dauda et al. 2018b
Glycerol	15:1	<i>Clarias gariepinus</i>	30.5 – 44.5	0.57 – 1.06	Dauda et al. 2018b
Glucose	10:1	**	28 – 33	6 - 9	Ekasari et al. 2010
Glucose	*	<i>Oreochromis niloticus</i>	38.53	6.06	Zhang et al. 2016
Glucose	10.8:1	<i>O. kaopingensis</i>	29.94	2.13	Yu et al 2020
Glucose	15:1	<i>O. kaopingensis</i>	35.23	2.13	Yu et al 2020
Glucose	20:1	<i>O. kaopingensis</i>	37.46	2.15	Yu et al 2020
Glucose	25:1	<i>O. kaopingensis</i>	37.09	2.37	Yu et al 2020
Liquid molasses	15:1	<i>Oreochromis niloticus</i>	16.36 – 19.47	2.11-2.88	Martins et al. 2019
Molasses	15:1	<i>Oreochromis sp</i>	39.7 – 48.1	15.6 – 24.3	Widarnani et al. 2012
Molasses	15:1	<i>Carassius auratus</i>	29.8	3.2	Zhang et al. 2018
Molasses	15:1	<i>Clarias gariepinus</i>	33.8	2.4	Ekasari et al. 2019
Molasses	15:1	<i>Oreochromis niloticus</i>	59.9	13.3	Mirzakhani et al. 2019
Molasses	20:1	<i>Oreochromis niloticus</i>	60.3	8.5	Mirzakhani et al. 2019
Molasses	6:1	<i>Oreochromis niloticus</i>	25.4 – 28.0	*	Manduca et al. 2021
Molasses powder	12:1	<i>Oreochromis niloticus</i>	23.3	3.16	Tubin et al. 2020
Molasses powder	20:1	<i>Oreochromis niloticus</i>	33.7	5.1	Oliveira et al. 2021
Molasses + Bacillus	15:1	<i>Clarias gariepinus</i>	31.64 – 31.99	6.47-14.92	Yusuf et al. 2015
Molasses (25%) + Wheat flour (75%)	15:1	<i>Oreochromis niloticus</i>	62.2 – 64.2	8.8 – 4.5	Mirzakhani et al. 2019
	20:1				

Molasses (50%) + Wheat flour (50%)	15:1 20:1	<i>Oreochromis niloticus</i>	61.7 – 63.7	7.1 – 9.5	Mirzakhani et al. 2019
Molasses (75%) + Wheat flour (25%)	15:1 20:1	<i>Oreochromis niloticus</i>	61.1 – 62.4	16.1 – 6.2	Mirzakhani et al. 2019
Poly-β- hydroxybutyrate	*	<i>Oreochromis niloticus</i>	34.06	6.58	Zhang et al. 2016
Rice bran	15:1	<i>Clarias gariepinus</i>	11.4	0.67	Dauda et al. 2017
Starch	20:1	<i>Cyprinus carpio L.</i>	21.8	5.3	Bakhshi et al. 2018
Sucrose	15:1	<i>Clarias gariepinus</i>	31.3	0.51	Dauda et al. 2017
Sugar	20:1	<i>O.niloticus</i> × <i>O.mossambicus</i>	23.7-25.4	2.6-3.5	López-Elías et al. 2015
Sugar	20:1	<i>Cyprinus carpio L.</i>	24.5	2.7	Bakhshi et al. 2018
Sugar beet molasses	20:1	<i>Cyprinus carpio L.</i>	25.0	3.0	Bakhshi et al. 2018
Tapioca	15:1	<i>Clarias gariepinus</i>	18.1	9.9	Ekasari et al. 2019
Wheat flour	15:1	<i>Oreochromis niloticus</i>	37.93 – 38.41	3.16 – 3.23	Azim & Little. 2008
Wheat flour	15:1 20:1	<i>Oreochromis niloticus</i>	62.4-66.0	10.4 –5.4	Mirzakhani et al. 2019

1703 \* no informed; \*\*no animals

1704

1705

1706

1707

1708

1709

1710

1711

1712

1713

1714

1715

1716

1717

## CAPÍTULO II

1718

1719 **Efeitos da restrição alimentar sobre juvenis de tilápia do Nilo (*Oreochromis***  
1720 ***niloticus*) mantidos em sistema de bioflocos**

1721 Luciana Kelly Oliveira <sup>a</sup>, Dariano Krumennauer <sup>b</sup>, Wilson Wasielesky Jr <sup>c</sup>, & Marcelo  
1722 Borges Tesser <sup>a</sup> \*

1723 <sup>a</sup> Laboratório de Nutrição de Organismos Aquáticos, Instituto de Oceanografia,  
1724 Universidade Federal do Rio Grande – FURG - Rua do Hotel, 02 – Cassino – 96201-  
1725 900 Rio Grande, RS, Brasil

1726 <sup>b</sup> Laboratório de Ecologia de microrganismos Aplicado a Aquicultura, Instituto de  
1727 Oceanografia, Universidade Federal do Rio Grande – FURG – C.P. 474, (RS) CEP  
1728 96201-900, Rio Grande, Brasil

1729 <sup>c</sup> Laboratório de Carcinocultura, Instituto de Oceanografia, Universidade Federal do Rio  
1730 Grande – FURG - Rua do Hotel, 02 – Cassino – 96201-900 Rio Grande, RS, Brasil

1731 \*Autor correspondente: Laboratório de Nutrição de Organismos Aquáticos, Instituto de  
1732 Oceanografia, Universidade Federal do Rio Grande – FURG - Rua do Hotel, 02 –  
1733 Cassino – 96201-900 Rio Grande, RS, Brasil. E-mail: [mbtesser@gmail.com](mailto:mbtesser@gmail.com)

1734

1735

1736

1737

1738

1739

1740

1741 Manuscrito formatado de acordo com as normas do periódico *Aquaculture*.

1742 **Resumo**

1743 Este estudo foi conduzido com o objetivo de avaliar os efeitos da restrição (0, 1, 2, 3 e 4  
1744 semanas de restrição) na performance de juvenis de tilápia do Nilo (*Oreochromis*  
1745 *niloticus*) em sistema de bioflocos (BFT) durante 28 dias. Um total de 450 peixes  
1746 ( $4.39 \pm 0.00\text{g}$ ) foram distribuídos aleatoriamente em 15 unidades experimentais (250L de  
1747 volume útil). O crescimento foi influenciado pela intensidade da restrição alimentar  
1748 ( $p < 0.05$ ), mas não a sobrevivência, a densidade final e a eficiência alimentar ( $p > 0.05$ ).  
1749 A Restrição alimentar de quatro semanas (4SW) comprometeu severamente o  
1750 crescimento e a condição corporal, mas produziu lotes com peixes mais homogêneos  
1751 (96% de uniformidade). A capacidade de retenção de nutrientes (proteínas e lipídios)  
1752 reduziu com o incremento da restrição alimentar ( $p < 0.05$ ). A série eritrocitária foi  
1753 influenciada pelos diferentes manejos de alimentação, mas não a contagem diferencial  
1754 de leucócitos ( $p > 0.05$ ). Entretanto, a contagem de leucócitos e trombócitos totais foi  
1755 reduzida pela intensidade da subalimentação. Manejos mais restritivos impactaram os  
1756 níveis de sólidos ( $p < 0.05$ ), o que gerou uma correlação positiva entre concentração de  
1757 sólidos e o total de microrganismos ( $p < 0.05$ ,  $R = 0.67$ ). Nossos resultados demonstram  
1758 que a qualidade nutricional dos bioflocos são reflexo da entrada de nutrientes no  
1759 sistema, e impactam a capacidade dos bioflocos auxiliar na sustentação do crescimento  
1760 dos peixes. Contudo, os bioflocos são capazes de sustentar a ausência de alimento inerte  
1761 por uma semana sem prejuízos ao bem-estar dos juvenis de tilápia.

1762 **Palavras-chave:** BFT, sólidos, condição corporal, retenção de nutrientes, hematologia,  
1763 manejo alimentar.

1764

1765

1766 **Abstract**

1767 This study was conducted with the objective of evaluating the effects of restriction (0, 1,  
1768 2, 3, and 4 weeks of restriction) on the performance of Nile tilapia juveniles  
1769 (*Oreochromis niloticus*) in a biofloc system (BFT) for 28 days. A total of 450 fish (4.39  
1770  $\pm$  0.00g) were randomly distributed into 15 experimental units (250L of useful volume).  
1771 Growth was influenced by the intensity of food restriction ( $p < 0.05$ ), but not by survival,  
1772 final density, and feed efficiency ( $p > 0.05$ ). Four weeks of food restriction severely  
1773 compromised growth and body condition, but resulted in batches with more  
1774 homogeneous fish (96% uniformity). Nutrient retention capacity (proteins and lipids)  
1775 decreased with increasing food restriction ( $p < 0.05$ ). The erythrocyte series was  
1776 influenced by different feeding management, but not by differential leukocyte count  
1777 ( $p > 0.05$ ). However, total leukocyte and thrombocyte counts were reduced by the  
1778 intensity of underfeeding. More restrictive management impacted solids levels ( $p < 0.05$ ),  
1779 generating a positive correlation between solids concentration and total microorganisms  
1780 ( $p < 0.05$ ,  $R = 0.67$ ). Our results demonstrate that the nutritional quality of bioflocs  
1781 reflects the entry of nutrients into the system and impacts the ability of bioflocs to assist  
1782 in sustaining fish growth. However, bioflocs can sustain the absence of inert food for a  
1783 week without compromising the well-being of Nile tilapia juveniles.

1784

1785 **Keywords:** BFT, solids, body condition, nutrient retention, hematology, feeding  
1786 management.

1787

1788

1789

## 1790 **1. Introdução**

1791 Na natureza, os peixes passam por diferentes níveis de jejum durante suas fases  
1792 de desenvolvimento, o que causa variações nas taxas de crescimento (Ali et al., 2003;  
1793 Broekhuizen et al., 1994). Longos períodos de jejum podem reduzir a síntese de  
1794 proteínas e impactar negativamente o processo de crescimento. Os peixes possuem  
1795 mecanismos para lidar com as flutuações do alimento natural e garantir o seu potencial  
1796 de crescimento. Essa condição, é conhecida como crescimento compensatório e está  
1797 bem documentada para diferentes espécies de peixes teleósteos em ampla gama de  
1798 táxons (Abolfathi et al., 2012; Ali et al., 2003; Chatzifotis et al., 2011; Gao and Lee,  
1799 2012; Thongprajukaew and Rodjaroen, 2017).

1800 A indução artificial do jejum na criação de peixes pode ser executada como  
1801 estratégia de manejo alimentar para obtenção de respostas compensatórias. Na  
1802 aquicultura esse fenômeno pode ser explorado para incrementar a produtividade e  
1803 melhorar a eficiência alimentar das criações. Esses aspectos são relevantes devido à  
1804 alimentação representar 50 a 60% dos custos de produção (Rego et al., 2017). A  
1805 indução ao jejum está bem documentada em sistemas de produção convencionais, onde  
1806 o alimento natural é inexistente ou irrisório. Entretanto, em sistemas superintensivos os  
1807 quais exercem o controle da qualidade da água através do estabelecimento de uma  
1808 comunidade microbiana que serve de alimento aos organismos aquáticos, o  
1809 conhecimento ainda é escasso. Poucos estudos se dedicaram a compreender como os  
1810 bioflocos influenciam os organismos aquáticos sob restrição de alimento inerte  
1811 (Gallardo-Collí et al., 2020a; Lara et al., 2017; Oliveira et al., 2021; Rocha et al., 2019).

1812 O sistema de bioflocos (BFT) se destaca como uma tecnologia de cultivo  
1813 ambientalmente amigável – tecnologia verde –, pois entrega redução do uso de água,  
1814 otimização do espaço, redução de efluentes que são aspectos importantes para a

1815 sustentabilidade da atividade aquícola. Os bioflocos são agregados formados por  
1816 microrganismos (bactérias, ciliados, flagelados, rotíferos, amebas, diatomáceas entre  
1817 outros (Khanjani and Sharifinia, 2020). No BFT, ocorrem interações que estimulam as  
1818 bactérias a utilizarem o nitrogênio na forma de amônia para a síntese de novas células  
1819 bacterianas (Robles-Porchas et al., 2020), atuando como um sumidouro de nitrogênio  
1820 mais rápido do que a nitrificação. Esse processo ocorre a partir da manipulação da  
1821 relação carbono/nitrogênio, onde uma fonte exógena de carbono orgânico é adicionada  
1822 para atingir uma elevada relação carbono/ nitrogênio (Avnimelech, 2007; Ebeling et al.,  
1823 2006a). Além de auxiliar na manutenção da qualidade da água, a biotransformação da  
1824 amônia em agregados microbianos disponibiliza uma fonte de alimento a ser  
1825 considerada (Avnimelech, 2007; Avnimelech and Kochba, 2009; Robles-Porchas et al.,  
1826 2020). Os bioflocos são uma fonte de proteína, aminoácidos, ácidos graxos, vitaminas e  
1827 micronutrientes (Khanjani et al., 2023) que podem servir de alimento para as espécies  
1828 criadas (Azim et al., 2008; de Oliveira et al., 2019; El-Sayed, 2021; Gallardo-Collí et  
1829 al., 2020; Khanjani and Sharifinia, 2020).

1830 A produtividade natural do BFT permite explorar diferentes manejos de  
1831 alimentação em espécies com potencial para o aproveitamento da matéria orgânica em  
1832 suspensão. A criação da tilápia do Nilo (*Oreochromis niloticus*) em sistema BFT tem  
1833 sido amplamente investigada (Khanjani et al., 2022a). Entretanto, o manejo alimentar  
1834 considerando o alimento “*in situ*” proporcionado pelo sistema continua pouco  
1835 explorado, em especial relacionado a restrição de alimento inerte. Embora, alguns  
1836 estudos tenham se dedicado a utilizar a tilápia em condição de subalimentação afim de  
1837 utilizá-la no controle de sólidos – clarificador biológico – em sistemas BFT (Holanda et  
1838 al., 2022; Poli et al., 2019), os efeitos da restrição sobre o desempenho, condição  
1839 corporal e saúde dos animais não constituíam o principal foco desses estudos. Portanto,

1840 o objetivo desse estudo foi avaliar como manejo alimentar restritivo afeta o  
1841 desempenho, a condição corporal, a capacidade de retenção de nutrientes e os  
1842 parâmetros hematológicos de juvenis de *O. niloticus* mantidos em sistema BFT.

## 1843 **2. Material e métodos**

### 1844 **2.1 Declaração de ética animal**

1845 Os procedimentos experimentais adotados no presente estudo foram  
1846 previamente aprovados pela Comissão de Ética em Uso Animal da Universidade  
1847 Federal do Rio Grande, RS, Brasil (Licença n° 003/2020).

### 1848 **2.2 Procedimento experimental**

1849 O experimento foi conduzido na Estação Marinha de Aquicultura da  
1850 Universidade Federal do Rio Grande – EMA/FURG. Pós-larvas de tilápia do Nilo  
1851 (*Oreochromis niloticus*) foram adquiridos em criadouro comercial, transportados até o  
1852 laboratório e foram aclimatadas às condições laboratoriais por 15 dias até o início do  
1853 ensaio. Durante esse período foram mantidos em sistema de recirculação de água  
1854 composto por 6 tanques de 300L, os quais eram providos de aeração constante.  
1855 Diariamente, os animais eram alimentados com ração comercial (Aqua line, Supra®,  
1856 Brasil) em 3 refeições (9 h, 13 h e 17h) até a saciedade aparente.

1857 O ensaio foi conduzido em 15 tanques circulares de polietileno (250L de  
1858 volume útil), providos com aeração constante através de mangueiras microperfuradas  
1859 conectadas ao compressor radial de 7.5 HP (Ibram™, São Paulo, Brasil) e mantidos sob  
1860 controle de temperatura e fotoperíodo (12h claro:12h escuro). As unidades  
1861 experimentais foram abastecidas com água salobra (~17‰), e adicionados 63L de  
1862 bioflocos (25% volume de trabalho) proveniente do cultivo de camarão marinho  
1863 (*Litopenaeus vannamei*) para acelerar a formação do bioflocos (Krummenauer et al.,

1864 2014). A manutenção da relação carbono-nitrogênio foi realizada utilizando melaço de  
1865 cana líquido (25% de carbono) como fonte de carbono orgânico. Os cálculos para as  
1866 fertilizações foram realizados assumindo que é necessário 6 g de carbono para converter  
1867 1 g de amônia, considerando a manutenção da relação C/N de 15:1 (Avnimelech, 1999;  
1868 Ebeling et al., 2006a).

1869 Após o período de aclimação, os peixes ( $4.39 \pm 0.00$ g) foram transferidos dos  
1870 tanques de manutenção para as unidades experimentais. Em cada tanque os peixes  
1871 foram distribuídos aleatoriamente (30 peixes por tanque) com uma densidade de  
1872 estocagem de 200 peixes  $m^{-3}$ . O delineamento experimental foi composto por 5 regimes  
1873 alimentares com 3 repetições, onde os animais foram submetidos a 0, 1, 2, 3 e 4  
1874 semanas de restrição (SW) de alimento inerte (0SW, 1SW, 2SW, 3SW e 4SW). O  
1875 período de alimentação foi estabelecido no início do experimento, onde os peixes foram  
1876 alimentados com ração comercial (Aqua line, Supra<sup>®</sup>, Brasil) contendo (composição  
1877 analisada:  $g\ kg^{-1}$ ): 436g de proteína bruta; 85g de lipídios; 99g de fibra bruta; 90g de  
1878 cinza, 54g de umidade e 4453.7 kcal  $kg^{-1}$  de energia bruta calculada através dos valores  
1879 fisiológicos (NRC, 2011). A ração foi distribuída em 3 refeições (9 h, 13 h e 17h) até à  
1880 saciedade aparente.

### 1881 **2.3 Monitoramento da água**

1882 Diariamente em cada unidade experimental foram mensurados o oxigênio  
1883 dissolvido, temperatura (550A, YSI<sup>™</sup>, USA) e pH (Seven2Go, Mettler Toledo<sup>™</sup>,  
1884 Brasil) pela manhã e ao final da tarde. Amônia (UNESCO, 1983), o nitrito (Aminot and  
1885 Chausseple, 1983) e a alcalinidade (APHA, 2012) foram monitorados duas vezes por  
1886 semana. Por fim, a salinidade (RTP-20ATC, ATC<sup>™</sup>, Brasil), o nitrato (García-Robledo  
1887 et al., 2014) e o fosfato (Aminot and Chausseple, 1983) foram analisados  
1888 semanalmente.

## 1889 **2.4 Característica dos bioflocos**

1890 Os sólidos sedimentáveis (APHA, 2012) e os sólidos suspensos totais  
1891 (Strickland and Parsons, 1972) foram analisados semanalmente. A partir dos dados  
1892 coletados, calculou-se a porosidade (espaços entre os flocos que são ocupados pela  
1893 água) de acordo com Smith e Coackley (1984) seguindo a fórmula: Porosidade (%) =  
1894  $(1 - \text{sólidos sedimentados}/\text{volume de água}) \times 100$ . O índice de volume do floco (FVI) foi  
1895 mensurado de acordo com Mohlman, (1934) seguindo a fórmula:  $\text{FVI (ml/g)} = \text{sólidos}$   
1896  $\text{sedimentados (ml)} / \text{sólidos suspensos totais (g)}$ . O índice de densidade floco (FDI) foi  
1897 calculado da seguinte forma:  $\text{FDI} = 100/\text{FVI}$ , segundo centro de referência internacional  
1898 da Organização Mundial de Saúde (1978).

## 1899 **2.5 Desempenho zootécnico**

1900 No final do experimento, após 24h de jejum de alimento inerte (considerando o  
1901 regime de alimentação) todos os peixes foram anestesiados (benzocaína, 50 mg L<sup>-1</sup>),  
1902 contados, pesados e medidos para determinação os seguintes parâmetros de  
1903 desempenho:

1904  $\text{Ganho de peso} = (\text{peso final} - \text{peso inicial})$

1905  $\text{Unidade Térmica de Crescimento} = [(\text{peso final}^{1/3} - \text{Peso inicial}^{1/3}) / (\text{temperatura da}$   
1906  $\text{água} \times \text{dias de experimento})] \times 100$

1907  $\text{Taxa de sobrevivência (\%)} = [(\text{número final de peixes} - \text{número inicial de peixes}) /$   
1908  $\text{número inicial de peixes}] \times 100$

1909  $\text{Produtividade} = (\text{biomassa final}/\text{volume de água}) \times 1000$

1910  $\text{Densidade final} = \text{número final de peixe}/\text{volume de água}$

1911  $\text{Eficiência alimentar} = (\text{peso final} - \text{peso inicial}) / \text{consumo total de ração}$

1912 Taxa de alimentação (%) = [(consumo total de ração/dias de alimentação) / ((peso final  
1913 + peso inicial) / 2)] × 100

1914 Consumo diário de ração (%) = consumo de ração / [(peso inicial do peixe + peso final  
1915 do peixe) × dias alimentados / 2]} × 100

1916 Índice hepatossomático (%) = (peso do fígado/peso corporal total) × 100

1917 Índice viscerossomático (%) = (peso das vísceras/peso corporal total) × 100

1918 Índice de massa corporal (g/cm<sup>2</sup>) = peso corporal total/ comprimento total<sup>2</sup>

1919 Fator de condição = peso final/ (comprimento total<sup>3</sup>) × 100

1920 Retenção da eficiência proteica (%) = (peso final × proteína corporal final) – (peso  
1921 inicial × proteína corporal inicial) × 100/ ingestão de proteína

1922 Uniformidade (%) = [(N±20% x (Nt)-1) × 100]

1923 Onde: N±20 = nº de animais com peso total ± 20% em torno da média da unidade  
1924 experimental e Nt = número total de animais em cada unidade experimental (Couto et  
1925 al., 2018).

## 1926 **2.6 Análise centesimal dos peixes e do bioflocos**

1927 Uma amostra da população inicial foi coletada aleatoriamente, e os peixes  
1928 foram eutanasiados (benzocaína a 100 mg. L<sup>-1</sup>), macerados, secos em estufa de  
1929 recirculação de ar forçado (MA-035/3, Marconi<sup>TM</sup>, Brasil) a 60°C por 24 horas e  
1930 mantidos sob refrigeração para posterior análise. A composição centesimal do corpo  
1931 inteiro, dos bioflocos e da ração foi analisada de acordo com a AOAC, (2007). O  
1932 conteúdo de proteína bruta foi determinado pelo método de Kjeldahl (MA-036,  
1933 Marconi<sup>TM</sup>, Brasil). Os lipídeos foram estimados pelo método Bligh e Dyer, (1959). As

1934 cinzas foram determinadas por queima simples em forno mufla (MA-385, Marconi™,  
1935 Brasil) a 600°C por 5 horas, e a umidade determinada pelo método gravimétrico em  
1936 estufa de ar forçado (MA-035/3, Marconi™, Brasil) a 105°C até peso constante.  
1937 Finalmente, a energia bruta foi calculada a partir dos valores fisiológicos (NRC, 2011).

## 1938 **2.7 Análise hematológica**

1939 Ao final dos 28 dias de experimento, três peixes de cada unidade experimental  
1940 (9 por tratamento) foram aleatoriamente selecionados e anestesiados (benzocaína, 50  
1941 mg L<sup>-1</sup>) para coleta de sangue por punção caudal com o auxílio de seringas (1 ml)  
1942 embebidas em heparina. Foi realizada a análise da série eritrocitária. A taxa de  
1943 hemoglobina (Hb, g.dL<sup>-1</sup>) foi determinada pelo método da cianometahemoglobina  
1944 (Collier, 1944) utilizando-se reagente específico (Drabkin) com leitura em  
1945 espectrofotômetro a 540nm. O hematócrito (HTC, %) foi determinado através do  
1946 método do microhematócrito (Goldenfarb et al.,1971) em centrífuga a 12.000 rpm por  
1947 cinco minutos, com leitura em escala graduada. Manualmente foi realizada a contagem  
1948 total de eritrócitos (RBC, 10<sup>6</sup>/μL) utilizando solução de formol-citrato com azul de  
1949 toluidina (Oliveira-Júnior et al., 2009) com leitura em câmara de Neubauer com o  
1950 auxílio de microscópio óptico (Nikon™, Eclipse E200, Tóquio, Japão) na objetiva de  
1951 40×.

1952 A partir desses dados foram calculados os seguintes índices hematimétricos  
1953 absolutos de acordo com Wintrobe (1934): volume corpuscular médio (VCM, fL) =  
1954 (hematócrito × 10) / número de eritrócitos; hemoglobina corpuscular média (HCM, μg)  
1955 = hemoglobina × 10) / número de eritrócitos e concentração de hemoglobina corpuscular  
1956 média (CHCM, g.dL) = (hemoglobina × 100) / hematócrito. Esfregaços sanguíneos  
1957 foram confeccionados em lâminas de vidro, secos ao ar e submetidos à coloração com  
1958 kit panótico rápido (Laborclin®, Pinhais, PR, Brasil) para a análise da série branca e

1959 trombócitos. A leitura da extensão sanguínea foi realizada com o auxílio de microscópio  
1960 óptico (Nikon<sup>TM</sup>, Eclipse E200, Tóquio, Japão) na objetiva de imersão (1000×).

## 1961 **2.8 Abundância de microrganismos**

1962 Amostras do inóculo e da água do cultivo (18mL) foram coletadas no início e  
1963 ao final do experimento, mantidas em frasco âmbar e fixadas em formol a 4% para a  
1964 contagem de protozoários e outros organismos. Alíquotas das amostras foram colocadas  
1965 em câmara de sedimentação e levadas ao microscópio invertido (IX51, Olympus <sup>TM</sup>)  
1966 com magnificação final de 200×, onde 30 campos aleatórios foram contados de acordo  
1967 com Utermöhl (1958).

## 1968 **2.9 Análise estatística**

1969 Os dados obtidos no experimento foram testados quanto à normalidade (teste  
1970 de Shapiro-Wilk) e homogeneidade das variâncias (teste de Levene). Após atendidos os  
1971 pressupostos, foi aplicada a análise de variância (*Anova de uma via*) complementada  
1972 com o teste *post-hoc* Tukey para a comparação das médias. Quando os pressupostos não  
1973 foram atendidos, recorreu-se ao teste de Kruskal-Wallis da estatística não paramétrica  
1974 de acordo com Zar (2010). As análises foram realizadas utilizando o software  
1975 estatístico SAS OnDemand for Academics.

## 1976 **3. Resultados**

### 1977 **3.1. Qualidade de água**

1978 Os parâmetros de qualidade de água ao longo do experimento não foram  
1979 influenciados pelos manejos de alimentação ( $P>0.05$ ), exceto pelo nitrato e a  
1980 alcalinidade (Tabela 1). Uma maior entrada de nutrientes (OSW) proporcionou maior

1981 acúmulo de nitrato ( $P<0.05$ ), enquanto o menor aporte de alimento inerte resultou em  
1982 maior concentração de alcalinidade ( $P<0.05$ ).

### 1983 **3.2 Características dos bioflocos**

1984 As características dos bioflocos foram significativamente influenciadas pelos  
1985 tratamentos ( $P<0.05$ ), exceto o índice de densidade do floco ( $P>0.05$ ). E suas médias  $\pm$   
1986 DP estão apresentadas na Tabela 2. A concentração de sólidos suspensos totais (SST)  
1987 foi significativamente mais elevada em 0SW, enquanto que nos tratamentos com maior  
1988 restrição alimentar ela foi significativamente reduzida (Figura 1). Uma maior  
1989 concentração de sólidos sedimentáveis (SS) ocorreu entre 0SW e 2SW ( $P<0.05$ ), a partir  
1990 desse ponto foi reduzida em resposta à menor entrada de alimento. Enquanto, os flocos  
1991 produzidos em 3SW e 4SW apresentaram uma menor porosidade ( $P<0.05$ ). A ausência  
1992 de alimento resultou em um menor índice de volume de flocos ( $P<0.05$ ).

### 1993 **3.3 Parâmetros de desempenho**

1994 Os resultados do desempenho de juvenis de tilápia estão apresentados na  
1995 Tabela 3. O crescimento dos animais seguiu um comportamento decrescente com  
1996 aumento das semanas de restrição ( $p<0.05$ ) a partir de 2SW. Onde, o peso final, ganho  
1997 de peso e unidade térmica de crescimento foram comprometidas especialmente nos  
1998 animais submetidos a total restrição de alimento inerte (4SW). Em decorrência da  
1999 restrição alimentar, o ganho de biomassa e a produtividade foram significativamente  
2000 mais elevadas no tratamento controle (0SW), enquanto 4SW apresentou perda de  
2001 biomassa importante e baixa produtividade ( $p<0.05$ ). A taxa de sobrevivência e a  
2002 densidade final não foram influenciadas pelos tratamentos ( $p>0.05$ ), entretanto, maior  
2003 restrição alimentar (4SW) produziu lotes mais uniformes ( $p<0.05$ ). Os diferentes  
2004 manejos de alimentação não resultaram em diferenças significativas na taxa de

2005 alimentação aparente e na eficiência de utilização de alimento. Como esperado, o  
2006 consumo de alimento inerte por peixe/dia foi reduzindo a partir de 2SW com o  
2007 incremento na intensidade da restrição de alimento ( $p<0.05$ ). O índice hepatossomático  
2008 e de massa corpórea (Tabela 4), assim como o fator de condição apresentaram um  
2009 declínio à medida que aumentaram as semanas de restrição de alimento ( $p<0.05$ ).  
2010 Entretanto, o índice viscerossomático não foi influenciado pelos manejos de  
2011 alimentação ( $p>0.05$ ).

### 2012 **3.4 Composição química e retenção de nutrientes**

2013 A composição química corporal dos peixes foi significativamente influenciada  
2014 pelos tratamentos, exceto pelo conteúdo de lipídeos (Tabela 5). Os grupos 0SW e 1SW  
2015 apresentaram elevado conteúdo de proteína corporal, enquanto que nos animais  
2016 expostos a restrição alimentar mais intensa (4SW) foi significativamente reduzido  
2017 ( $p<0.05$ ). Este grupo, apresentou a umidade corporal mais elevada ( $p<0.05$ ). O conteúdo  
2018 de cinzas corporal do grupo controle foi menor em relação aos tratamentos submetidos a  
2019 diferentes semanas de restrição ( $p<0.05$ ). O conteúdo de energia bruta corporal foi  
2020 reduzido a partir de 2SW ( $p<0.05$ ), assim como a capacidade de retenção de nutrientes  
2021 importantes como proteína e lipídeos (Figura 2 e 3). Os resultados da composição  
2022 proximal dos bioflocos estão apresentados na Tabela 6. O conteúdo proteico e lipídico  
2023 dos bioflocos foram influenciados pelos tratamentos ( $p<0.05$ ). O teor de proteína dos  
2024 flocos foi reduzindo a partir de duas semanas de restrição (2SW), enquanto o maior  
2025 conteúdo lipídico foi registrado nesse tratamento, diferindo apenas de 3WS.

### 2026 **3.5 Hematologia**

2027 Os níveis de restrição alimentar exerceram influência sobre os parâmetros  
2028 hematológicos (Tabela 7), exceto pela hemoglobina corpuscular média (HCM) e a

2029 concentração de hemoglobina corpuscular média (CHCM) ( $p>0.05$ ). O hematócrito  
2030 (Hct) e a hemoglobina (Hb) foram reduzidos significativamente a partir do tratamento  
2031 2SW. Os peixes do grupo 4SW apresentaram menor concentração de eritrócitos (RBC),  
2032 mostrando que a total ausência de alimento inerte tem um efeito significativo sobre esse  
2033 parâmetro ( $p<0.05$ ). Os diferentes manejos de restrição alimentar não influenciaram a  
2034 contagem diferencial de leucócitos ( $p>0.05$ ) como exposto na Tabela 8. No entanto, a  
2035 contagem total de leucócitos apresentou um comportamento decrescente com a  
2036 intensidade da restrição de alimento (Figura 4). A ausência de alimento inerte afetou  
2037 significativamente a concentração de trombócitos no grupo 4SW (Figura 5).

### 2038 **3.6 Microrganismos**

2039 Os resultados da abundância de microrganismos durante os 28 dias de ensaio  
2040 estão expostos na Figura 6. No geral, não ocorreram diferenças estatisticamente  
2041 significativas entre os tratamentos com 7 e 28 dias ( $p>0.05$ ). Contudo, o total de  
2042 microrganismos ao final do ensaio apresentou um comportamento quadrático  
2043 decrescente com o aumento da intensidade da restrição alimentar (Figura 7). Ademais, o  
2044 total de microrganismos nos diferentes tratamentos apresentou uma correlação positiva  
2045 moderada com a concentração média de sólidos suspensos totais (Figura 8).

## 2046 **4. Discussão**

2047 Em nosso estudo, a escassez semanal de alimento por curtos períodos de tempo  
2048 (28 dias) não afetou os parâmetros de qualidade de água que permaneceram dentro do  
2049 recomendado para o desenvolvimento da espécie (El-Sayed, 2006). Em sistemas de  
2050 troca mínima de água, naturalmente ocorre o acúmulo de nitrato como produto do  
2051 processo de nitrificação, e funciona como indicativo da ciclagem do nitrogênio oriundo  
2052 das excretas dos animais e restos de alimento. Desta forma, a maior oferta de alimento

2053 proporcionou o incremento da concentração de nitrato, como observado em nosso  
2054 estudo.

2055 A manutenção da alcalinidade acima 100mg/L de CaCO<sub>3</sub> favorece o processo de  
2056 nitrificação (Ebeling et al., 2006b), como observado em nossos resultados. Entretanto, a  
2057 alcalinidade mais elevada no grupo 4SW pode estar relacionada a baixa concentração de  
2058 sólidos neste grupo. Apenas a excreção dos animais não é suficiente para estimular a  
2059 formação de novos agregados em maior quantidade, ou seja, a ausência da entrada de  
2060 nutrientes via ração diminui a concentração de agregados especialmente nos grupos  
2061 3SW e 4SW. Em paralelo, a subalimentação parece estimular a busca ativa pelo  
2062 alimento natural, o que impacta a concentração de sólidos suspensos totais e a  
2063 concentração de microrganismos (Figura 8). Logo, é implícito se a baixa concentração  
2064 de sólidos é produto apenas da falta de nutrientes ou da intensidade do forrageamento.  
2065 Ademais, uma consequência do aumento do consumo dos bioflocos possivelmente seria  
2066 a diminuição do tamanho dos agregados (Dilling e Alldredge, 2000).

2067 Em nosso estudo não foi mensurado o tamanho dos bioflocos, entretanto a  
2068 porosidade dos bioflocos pode ser considerada um indicativo do tamanho das partículas  
2069 (Yuvarajan, 2021). A redução da concentração dos bioflocos em 3SW e 4SW, resultou  
2070 em flocos mais porosos indicando que a predação dos peixes sobre o bioflocos resultou  
2071 em partículas de flocos menores. Os peixes ao consumirem os flocos exerceram  
2072 controle principalmente sobre a população de rotíferos e nematoides; associado a isso,  
2073 os rotíferos são predominantes em ambientes com elevado aporte nutricional (0SW e  
2074 1SW), e podem atuar como indicador do estado trófico do ambiente (Serafim-Júnior et  
2075 al., 2010).

2076 Os peixes em geral, podem apresentar comportamento competitivo  
2077 principalmente frente a escassez de recursos alimentares (Jobling, 1983). Os ciclídeos

2078 como a tilápia do Nilo (*Oreochromis niloticus*) apresentam comportamento agonístico e  
2079 territorial (Volpato et al., 1989), e esse comportamento de disputa por alimento pode  
2080 afetar a sua sobrevivência. Contudo, em nosso estudo os diferentes períodos de inanição  
2081 de alimento inerte, resultaram em altas taxas de sobrevivência em todos os grupos. Esse  
2082 resultado corrobora com os achados de Oliveira et al. (2021), que ao submeter os  
2083 animais ao longo período de restrição total de alimento inerte alcançaram elevada  
2084 sobrevivência e densidade final. Esses resultados são interessantes, uma vez que durante  
2085 a fase de juvenis a comercialização ocorre de forma unitária, onde o número de  
2086 indivíduos se destaca em detrimento a produtividade. Além disso, manejos mais  
2087 restritivos produziram lotes mais uniformes devido à ausência de competição entre os  
2088 indivíduos por alimento. Já que na maior parte do tempo a fonte de nutrientes vem  
2089 especialmente pelo processo de filtração (Turker et al., 2003).

2090           Como fonte de nutrientes, os bioflocos sustentaram o crescimento dos animais  
2091 restritos de alimentação inerte durante uma semana (1SW). Contudo, mesmo ocorrendo  
2092 indicativo de consumo dos agregados (Figura 1) e dos microrganismos (Figura 7) ou o  
2093 reduzido mesmo com o *input* reduzido de nutrientes, os bioflocos não foram suficientes  
2094 para sustentar o crescimento ou auxiliar na manutenção do peso inicial no grupo  
2095 totalmente restrito (4SW). Segundo a Lei de Liebig, essa condição é explicada pela  
2096 limitação de nutrientes dos bioflocos, especialmente a proteína (21% PB) abaixo da  
2097 necessidade nutricional da espécie (Gorban et al., 2011). As células do organismo estão  
2098 em constante estado de degradação e síntese, e o fornecimento de proteína dietética  
2099 alimenta esse sistema complexo altamente dinâmico de interação entre síntese e  
2100 degradação de proteínas, um fenômeno conhecido como “*protein turnover*” (Chou et al.,  
2101 2012). Em nosso estudo, a limitação de um nutriente importante como a proteína  
2102 conduziu a degradação dos tecidos fazendo pressão negativa sobre o crescimento. Logo,

2103 a restrição de alimento inerte limita a ingestão de nitrogênio, ocorrendo um desbalanço  
2104 negativo entre ingestão e excreção resultando na perda de peso no grupo 4SW, mesmo  
2105 com o consumo aparente da proteína microbiana oriunda dos bioflocos.

2106 Porém, esse resultado diverge dos achados de Oliveira et al. (2021), nos quais  
2107 juvenis de tilápia do Nilo (*Oreochromis niloticus*) cresceram em condição de restrição  
2108 total de alimento inerte (70 dias) em sistema de bioflocos. Essa divergência, pode estar  
2109 relacionada aos baixos valores de proteína e energia dos bioflocos no tratamento 4SW.  
2110 Em verdade, os bioflocos são muito dinâmicos e sua composição química é influenciada  
2111 por vários fatores resultando em uma ampla variação nutricional (Khanjani et al.,  
2112 2022b; Oliveira et al., 2022). O estado de fome/inanição independente da fase de  
2113 desenvolvimento da tilápia do Nilo (*Oreochromis niloticus*) resulta na perda de peso  
2114 corporal (Sakyi et al., 2020, 2019), devido a deficiências na alimentação de manutenção  
2115 (Gao and Lee, 2012). Essa condição demonstra que os bioflocos como alimento natural  
2116 necessitam de uma composição nutricional mínima para auxiliar na manutenção  
2117 fisiológica dos animais aquáticos criados, do contrário à sua utilização não resultará em  
2118 ganhos adicionais do ponto de vista nutricional.

2119 Com maiores períodos de restrição alimentar a eficiência na retenção de  
2120 nutrientes sofreu declínio, e até foi perdida. E embora em alguns casos, os animais  
2121 tendem a utilizar o alimento com mais eficiência frente a escassez de alimentos, a  
2122 capacidade de reter nutrientes é limitada pela intensidade da restrição (Abdel-Tawwab  
2123 et al., 2006). Após o consumo das reservas energéticas, os nutrientes retidos foram  
2124 igualmente consumidos, em especial a proteína como observado no grupo 3SW que  
2125 apresentou retenção proteica negativa (Figura 2), ou seja, não ocorreu retenção. Uma  
2126 baixa retenção de nutrientes, especialmente a proteína, indica a incapacidade de  
2127 alcançar a compensação de crescimento (Elbially et al., 2022a).

2128 O tamanho relativo do fígado pode ser correlacionado ao estado nutricional dos  
2129 peixes, e a sua redução é indicativo de problemas nutricionais importantes. Assim como  
2130 o fator de condição, o HSI pode ser uma medida simples do nível de reservas  
2131 energéticas por ser um importante sítio de deposição de glicogênio e gorduras (Rios et  
2132 al., 2002), e alterações nesse índice é reflexo da utilização de proteína e glicogênio  
2133 (Collins and Anderson, 1995). Na tilápia, a mobilização de nutrientes armazenados no  
2134 fígado para atender as necessidades energéticas metabólicas afeta o tamanho da  
2135 estrutura hepática durante os períodos de restrição alimentar (Elbially et al., 2022b).  
2136 Mesmo com alimento natural *in situ* disponível, ocorreu diminuição significativa do  
2137 HSI, indicando que os organismos acionaram os processos de glicogenólise e  
2138 gliconeogênese em resposta ao desafio nutricional. Além disso, o IMC e FC que  
2139 demonstram a condição corporal dos animais é um importante indicador quantitativo do  
2140 estado de bem-estar dos peixes (Salam and Davies, 1994), e assim como os índices de  
2141 crescimento demonstraram que o grupo totalmente restrito se encontrava em estado  
2142 nutricional crítico.

2143 A saúde dos peixes é predominantemente dependente da ingestão de alimento  
2144 (Ahmed et al., 2020). Logo, o estado nutricional dos peixes reduziu os parâmetros  
2145 hematológicos da série eritrocitária, como o hematócrito e a hemoglobina. Esse  
2146 declínio, pode ser causado pela perda da capacidade dos peixes em produzir hemácias  
2147 em função da deficiência de nutrientes causada pela restrição de alimento (Vosyliénė,  
2148 1999). Além disso, a redução da hemoglobina pode estar associada a uma possível  
2149 diminuição da exigência de oxigênio (Falihatkar, 2012). Existe um gradiente de  
2150 respostas hematológicas em peixes submetidos a restrição alimentar (Yarmohammadi et  
2151 al., 2015). O hematócrito é considerado um bom indicador de estresse, e o seu declínio  
2152 demonstra o estabelecimento de uma condição estressante com o aumento da

2153 intensidade da restrição alimentar. Além disso, hematócritos abaixo de 20% em peixes  
2154 teleósteos estão associados à anemia (Clauss et al., 2008). De fato, como fonte alimentar  
2155 os bioflocos em nosso estudo não foram suficientes para suprir as demandas  
2156 nutricionais mínimas para a manutenção dos animais. Embora os parâmetros da série  
2157 leucocitária não tenham apresentado diferenças estatisticamente significativas, a  
2158 concentração de alguns dos seus componentes está inclusa no intervalo de referência  
2159 estabelecido para a espécie (Hrubec et al., 2000; Tavares-Dias, 2015). Por outro lado, a  
2160 concentração de leucócitos totais (figura 6) nos peixes em total restrição de alimento  
2161 inerte está abaixo dos valores de referência (Hrubec et al., 2000; Tavares-Dias, 2015).  
2162 Esse decréscimo na contagem de leucócitos pode ser atribuído ao enfraquecimento do  
2163 sistema imunológico (Vosylienė, 1999). Uma das principais causas da depressão  
2164 imunológica nos peixes é a desnutrição proteico-energética que resulta em alteração na  
2165 imunidade e mais especificamente depleção de linfócitos e alteração de suas funções  
2166 (Trichet, 2010). A diminuição do número de linfócitos – linfocitopenia – pode ser  
2167 caracterizada também como resposta ao estresse (Mazeaud et al., 1977), o que diminui a  
2168 resistência às doenças. Um cenário nutricional ao qual os animais mais restritos (4SW)  
2169 estavam submetidos, em vista que os bioflocos foi negativamente afetado em sua  
2170 qualidade nutricional pela ausência de nutrientes, a fome é considerada como um fator  
2171 que leva à diminuição dos perfis hematológicos de diferentes espécies de peixes  
2172 (Ahmed et al., 2020). Em excesso, os trombócitos indicam a existência de processo  
2173 infeccioso nos peixes, pois estes aparecem em maior quantidade em tecidos  
2174 inflamatórios. Por outro lado, a redução de trombócitos – trombocitopenia – pode ser  
2175 causada pela deficiência em nutrientes (Vosylienė, 1999), como observado nos animais  
2176 sem acesso a ração (4SW).

2177

## 2178 **5. Conclusão**

2179 É importante não só que o animal sobreviva durante o período de restrição, mas  
2180 também que ele tenha a mesma capacidade de crescimento, e atinja peso similar aos  
2181 peixes não privados de alimento. Em nosso estudo, os bioflocos sustentaram o  
2182 crescimento na ausência de alimento inerte por uma semana. Em BFT, a qualidade  
2183 nutricional dos bioflocos é determinante na utilização de manejos alimentares mais  
2184 restritivos. No entanto, a própria restrição pode afetar diretamente a qualidade  
2185 nutricional dos bioflocos como reflexo do menor aporte de nutrientes no sistema.  
2186 Ensaios, devem ser realizados para avaliar períodos de restrição seguidos de  
2187 realimentação e a possível influência dos bioflocos na ocorrência de ganho  
2188 compensatório nos peixes.

## 2189 **Referências**

- 2190 Abdel-Tawwab, M., Khattab, Y.A.E., Ahmad, M.H., Shalaby, A.M.E., 2006.  
2191 Compensatory Growth, Feed Utilization, Whole-Body Composition, and  
2192 Hematological Changes in Starved Juvenile Nile Tilapia, *Oreochromis niloticus*  
2193 (L.). Journal of Applied Aquaculture 18, 17–36.  
2194 [https://doi.org/http://dx.doi.org/10.1300/J028v18n03\\_02](https://doi.org/http://dx.doi.org/10.1300/J028v18n03_02)
- 2195 Abolfathi, M., Hajimoradloo, A., Ghorbani, R., Zamani, A., 2012. Compensatory  
2196 growth in juvenile roach *Rutilus caspicus*: Effect of starvation and re-feeding on  
2197 growth and digestive surface area. Journal of Fish Biology 81, 1880–1890.  
2198 <https://doi.org/10.1111/j.1095-8649.2012.03407.x>
- 2199 Ahmed, I., Reshi, Q.M., Fazio, F., 2020. The influence of the endogenous and  
2200 exogenous factors on hematological parameters in different fish species: a review.  
2201 Aquaculture International 2020 28:3 28, 869–899. <https://doi.org/10.1007/S10499->

- 2202 [019-00501-3](#)
- 2203 Ali, M., Nieceza, A., Wootton, R., 2003. Compensatory growth in fishes. Fish and  
2204 fisheries, 147–190.
- 2205 Álvarez, D., Nieceza, A.G., 2005. Compensatory response “defends” energy levels but  
2206 not growth trajectories in brown trout, *Salmo trutta* L. Proceedings of the Royal  
2207 Society B: Biological Sciences 272, 601–607.
- 2208 <https://doi.org/10.1098/RSPB.2004.2991>
- 2209 Aminot, A., Chausseple, M., 1983. Manuel des analyses chimiques en milieu marin.  
2210 CNEXO, Paris.
- 2211 AOAC, 2007. Official Methods of Analysis., 18th ed. Association of Official Analytical  
2212 chemists, Gaithersburg.
- 2213 APHA, A.P.H.A., 2012. Standard methods for the examination of water and  
2214 wastewater, 22 ed. ed. American Public Health Association, Washington, DC.
- 2215 Avnimelech, Y., 1999. Carbon/nitrogen ratio as a control element in aquaculture  
2216 systems. Aquaculture 176, 227–235. [https://doi.org/10.1016/S0044-8486\(99\)00085-X](https://doi.org/10.1016/S0044-8486(99)00085-X)
- 2217 Avnimelech, Y., 2007. Feeding with microbial flocs by tilapia in minimal discharge  
2218 bio-flocs technology ponds. Aquaculture 264, 140–147.
- 2219 <https://doi.org/10.1016/j.aquaculture.2006.11.025>
- 2220 Avnimelech, Y., Kochba, M., 2009. Evaluation of nitrogen uptake and excretion by  
2221 tilapia in bio floc tanks, using <sup>15</sup>N tracing. Aquaculture 287, 163–168.
- 2222 <https://doi.org/10.1016/j.aquaculture.2008.10.009>
- 2223 Azim, M.E., Little, D.C., Bron, J.E., 2008. Microbial protein production in activated

- 2224 suspension tanks manipulating C:N ratio in feed and the implications for fish  
2225 culture. *Bioresource Technology* 99, 3590–3599.  
2226 <https://doi.org/10.1016/j.biortech.2007.07.063>
- 2227 Bligh, E.G., Dyer, W.J., 1959. A rapid method of total lipid extraction and purification.  
2228 *Canadian Journal of Biochemistry and Physiology* 37, 911–917.  
2229 <https://doi.org/10.1139/o59-099>
- 2230 Broekhuizen, N., Gurney, W.S.C., Jones, A., Bryant, A.D., Bryantt, A.D., 1994.  
2231 *Modelling Compensatory Growth. Ecology* 8, 770–782.
- 2232 Chatzifotis, S., Papadaki, M., Despoti, S., Roufidou, C., Antonopoulou, E., 2011. Effect  
2233 of starvation and re-feeding on reproductive indices, body weight, plasma  
2234 metabolites and oxidative enzymes of sea bass (*Dicentrarchus labrax*).  
2235 *Aquaculture* 316, 53–59. <https://doi.org/10.1016/j.aquaculture.2011.02.044>
- 2236 Chou, C.J., Affolter, M., Kussmann, M., 2012. A Nutrigenomics View of Protein  
2237 Intake, in: *Progress in Molecular Biology and Translational Science*. pp. 51–74.  
2238 <https://doi.org/10.1016/B978-0-12-398397-8.00003-4>
- 2239 Clauss, T.M., Dove, A.D.M., Arnold, J.E., 2008. Hematologic Disorders of Fish.  
2240 *Veterinary Clinics of North America - Exotic Animal Practice* 11, 445–462.  
2241 <https://doi.org/10.1016/J.CVEX.2008.03.007>
- 2242 Collier, H.B., 1944. Standardization of Blood Haemoglobin Determinations. *Canadian*  
2243 *Medical Association journal* 50, 550–2.
- 2244 Collins, A.L., Anderson, T.A., 1995. The regulation of endogeneous energy stores  
2245 during starvation and refeeding in the somatic tissues of the golden perch. *Journal*  
2246 *of Fish Biology* 47, 1004–1015. <https://doi.org/10.1111/J.1095-8649.1995.TB06024.X>

2247 de Oliveira, R.L.M., dos Santos, L.B.G., Neto, N.G. da S., da Silva, S.P.A., Silva, F. dos  
2248 S., Melatti, E., Cavalli, R.O., 2019. Feeding rate and feeding frequency affect  
2249 growth performance of common snook (*Centropomus undecimalis*) juveniles  
2250 reared in the laboratory. Revista Brasileira de Zootecnia 48.  
2251 <https://doi.org/10.1590/rbz4820170292>

2252 Dilling, L., Alldredge, A.L., 2000. Fragmentation of marine snow by swimming  
2253 macrozooplankton: A new process impacting carbon cycling in the sea. Deep Sea  
2254 Research Part I: Oceanographic Research Papers 47, 1227–1245.  
2255 [https://doi.org/10.1016/S0967-0637\(99\)00105-3](https://doi.org/10.1016/S0967-0637(99)00105-3)

2256 do Couto, M.V.S., Sousa, N. da C., Abe, H.A., Dias, J.A.R., Meneses, J.O., Paixão,  
2257 P.E.G., Cunha, F. dos S., Ramos, F.M., Maria, A.N., Carneiro, P.C.F., Fujimoto,  
2258 R.Y., 2018. Effects of live feed containing *Panagrellus redivivus* and water depth  
2259 on growth of *Betta splendens* larvae. Aquaculture Research 49, 2671–2675.  
2260 <https://doi.org/10.1111/are.13727>

2261 Ebeling, J.M., Timmons, M.B., Bisogni, J.J., 2006a. Engineering analysis of the  
2262 stoichiometry of photoautotrophic, autotrophic, and heterotrophic removal of  
2263 ammonia–nitrogen in aquaculture systems. Aquaculture 257, 346–358.  
2264 <https://doi.org/10.1016/j.aquaculture.2006.03.019>

2265 El-Sayed, A.F.M., 2006. Tilapia culture, Tilapia culture. CABI Publishing, UK.  
2266 <https://doi.org/10.1079/9780851990149.0000>

2267 El-Sayed, A.M., 2021. Use of biofloc technology in shrimp aquaculture: a  
2268 comprehensive review, with emphasis on the last decade. Reviews in Aquaculture  
2269 13, 676–705. <https://doi.org/10.1111/raq.12494>

2270 Elbialy, Zizy I, Gamal, Shrouk, Al-Hawary, Ibrahim I, Shukry, Mustafa, Salah,

2271 Abdallah S, Aboshosha, Ali A, Doaa, ., Assar, H., Elbially, Z I, Gamal, S, Al-  
2272 Hawary, I I, Shukry, M, Salah, A S, Aboshosha, A A, Assar, D.H., 2022.  
2273 Exploring the impacts of different fasting and refeeding regimes on Nile tilapia  
2274 (*Oreochromis niloticus* L.): growth performance, histopathological study, and  
2275 expression levels of some muscle growth-related genes. Fish Physiol Biochem 48,  
2276 973–989.  
2277 <https://doi.org/10.1007/s10695-022-01094-0>

2278 Falahatkar, B., 2012. The metabolic effects of feeding and fasting in beluga *Huso huso*.  
2279 Marine Environmental Research 82, 69–75.  
2280 <https://doi.org/10.1016/j.marenvres.2012.09.003>

2281 Gallardo-Collí, A., Pérez-Fuentes, M., Pérez-Rostro, C.I., Hernández-Vergara, M.P.,  
2282 2020a. Compensatory growth of Nile tilapia *Oreochromis niloticus* , L. subjected  
2283 to cyclic periods of feed restriction and feeding in a biofloc system. Aquaculture  
2284 Research 51, 1813–1823. <https://doi.org/10.1111/are.14530>

2285 Gao, Y., Lee, J.Y., 2012. Compensatory responses of Nile tilapia *Oreochromis niloticus*  
2286 under different feed-deprivation regimes. Fisheries and Aquatic Sciences 15, 305–  
2287 311. <https://doi.org/10.5657/FAS.2012.0305>

2288 García-Robledo, E., Corzo, A., Papaspyrou, S., 2014. A fast and direct  
2289 spectrophotometric method for the sequential determination of nitrate and nitrite at  
2290 low concentrations in small volumes. Marine Chemistry 162, 30–36.  
2291 <https://doi.org/10.1016/j.marchem.2014.03.002>

2292 Goldenfarb, P.B.; Bowyer, F. P.; Hall, E.; Brosious, E., 1971. Reproducibility in the  
2293 Hematology Laboratory: The Microhematocrit Determination. American Journal of  
2294 Clinical Pathology 56, 35–39.

- 2295 Gorban, A.N., Pokidysheva, L.I., Smirnova, E. V., Tyukina, T.A., 2011. Law of the  
2296 Minimum Paradoxes. *Bulletin of Mathematical Biology* 73, 2013–2044.  
2297 <https://doi.org/10.1007/S11538-010-9597-1/METRICS>
- 2298 Holanda, M., Wasielesky, W., de Lara, G.R., Poersch, L.H., 2022. Production of Marine  
2299 Shrimp Integrated with Tilapia at High Densities and in a Biofloc System:  
2300 Choosing the Best Spatial Configuration. *Fishes* 2022, Vol. 7, Page 283 7, 283.  
2301 <https://doi.org/10.3390/FISHES7050283>
- 2302 Hornick, J.L., Van Eenaeme, C., Gérard, O., Dufrasne, I., Istasse, L., 2000. Mechanisms  
2303 of reduced and compensatory growth, in: *Domestic Animal Endocrinology*.  
2304 Elsevier, pp. 121–132. [https://doi.org/10.1016/S0739-7240\(00\)00072-2](https://doi.org/10.1016/S0739-7240(00)00072-2)
- 2305 Hrubec, T.C., Cardinale, J.L., Smith, S.A., 2000. Hematology and Plasma Chemistry  
2306 Reference Intervals for Cultured Tilapia (*Oreochromis Hybrid*). *Veterinary  
2307 Clinical Pathology* 29, 7–12. <https://doi.org/10.1111/j.1939-165X.2000.tb00389.x>
- 2308 Jobling, M., 1983. Effect of feeding frequency on food intake and growth of Arctic  
2309 charr, *Salvelinus alpinus* L. *Journal of Fish Biology* 23, 177–185.  
2310 <https://doi.org/10.1111/J.1095-8649.1983.TB02892.X>
- 2311 Khanjani, M.H., Sharifinia, M., 2020. Biofloc technology as a promising tool to  
2312 improve aquaculture production. *Reviews in Aquaculture* 12, 1836–1850.  
2313 <https://doi.org/10.1111/raq.12412>
- 2314 Khanjani, M.H., Sharifinia, M., Hajirezaee, S., 2022. Recent progress towards the  
2315 application of biofloc technology for tilapia farming. *Aquaculture* 552, 738021.  
2316 <https://doi.org/10.1016/j.aquaculture.2022.738021>
- 2317 Khanjani, M.H., Mozanzadeh, M.T., Sharifinia, M., Emerenciano, M.G.C., 2023.  
2318 Biofloc: A sustainable dietary supplement, nutritional value and functional

- 2319 properties. Aquaculture 562, 738757.  
2320 <https://doi.org/10.1016/j.aquaculture.2022.738757>
- 2321 Krummenauer, D., Samocha, T., Poersch, L., Lara, G., Wasielesky, W., 2014. The  
2322 Reuse of Water on the Culture of Pacific White Shrimp, *Litopenaeus vannamei* , in  
2323 BFT System. Journal of the World Aquaculture Society 45, 3–14.  
2324 <https://doi.org/10.1111/jwas.12093>
- 2325 Lara, G., Hostins, B., Bezerra, A., Poersch, L., Wasielesky, W., 2017. The effects of  
2326 different feeding rates and re-feeding of *Litopenaeus vannamei* in a biofloc culture  
2327 system. Aquacultural Engineering 77, 20–26.  
2328 <https://doi.org/10.1016/j.aquaeng.2017.02.003>
- 2329 Mazeaud, M.M., Mazeaud, F., Donaldson, E.M., 1977. Primary and Secondary Effects  
2330 of Stress in Fish: Some New Data with a General Review. Transactions of the  
2331 American Fisheries Society 106, 201–212.  
2332 [https://doi.org/10.1577/1548-8659\(1977\)106<201:paseos>2.0.co;2](https://doi.org/10.1577/1548-8659(1977)106<201:paseos>2.0.co;2)
- 2333 Mohlman, F.W., 1934. The sludge index. Sewage Works Journal 6, 119–122.  
2334 <https://doi.org/10.2307/25028375>
- 2335 NRC, N.R.C., 2011. Nutrients requirements of fish and shrimp. The National  
2336 Academies Press, Washington, D.C.
- 2337 Oliveira-Júnior, A.A., Tavares-Dias, M., Marcon, J.L., 2009. Biochemical and  
2338 hematological reference ranges for Amazon freshwater turtle, *Podocnemis expansa*  
2339 (Reptilia: Pelomedusidae), with morphologic assessment of blood cells. Research  
2340 in Veterinary Science 86, 146–151. <https://doi.org/10.1016/j.rvsc.2008.05.015>
- 2341 Oliveira, L.K., Pilz, L., Furtado, P.S., Ballester, E.L.C., Bicudo, Á.J. de A., 2021.

2342 Growth, nutritional efficiency, and profitability of juvenile GIFT strain of Nile  
2343 tilapia (*Oreochromis niloticus*) reared in biofloc system on graded feeding rates.  
2344 Aquaculture 541. <https://doi.org/10.1016/j.aquaculture.2021.736830>

2345 Oliveira, L.K., Wasielesky, W., Tesser, M.B., 2022. Fish culture in biofloc technology  
2346 (BFT): Insights on stocking density carbon sources, C/N ratio, fish nutrition and  
2347 health. Aquaculture and Fisheries. <https://doi.org/10.1016/j.aaf.2022.08.010>

2348 Poli, M.A., Legarda, E.C., de Lorenzo, M.A., Martins, M.A., do Nascimento Vieira, F.,  
2349 2019. Pacific white shrimp and Nile tilapia integrated in a biofloc system under  
2350 different fish-stocking densities. Aquaculture 498, 83–89.  
2351 <https://doi.org/10.1016/j.aquaculture.2018.08.045>

2352 Py, C., Elizondo-González, R., Peña-Rodríguez, A., 2022. Compensatory growth:  
2353 Fitness cost in farmed fish and crustaceans. Reviews in Aquaculture 14, 1389–  
2354 1417. <https://doi.org/10.1111/raq.12656>

2355 Rego, M.A.S., Sabbag, O.J., Soares, R., Peixoto, S., 2017. Financial viability of  
2356 inserting the biofloc technology in a marine shrimp *Litopenaeus vannamei* farm: a  
2357 case study in the state of Pernambuco, Brazil. Aquaculture International 25, 473–  
2358 483. <https://doi.org/10.1007/s10499-016-0044-7>

2359 Rios, F.S., Kalinin, A.L., Rantin, F.T., 2002. The effects of long-term food deprivation  
2360 on respiration and haematology of the neotropical fish *Hoplias malabaricus*.  
2361 Journal of Fish Biology 61, 85–95. [https://doi.org/10.1111/J.1095-](https://doi.org/10.1111/J.1095-8649.2002.TB01738.X)  
2362 [8649.2002.TB01738.X](https://doi.org/10.1111/J.1095-8649.2002.TB01738.X)

2363 Robles-Porchas, G.R., Gollas-Galván, T., Martínez-Porchas, M., Martínez-Cordova,  
2364 L.R., Miranda-Baeza, A., Vargas-Albores, F., 2020. The nitrification process for  
2365 nitrogen removal in biofloc system aquaculture. Reviews in Aquaculture 12, 2228–

- 2366 2249. <https://doi.org/10.1111/raq.12431>
- 2367 Rocha, J.V., Silva, J.F., Barros, C., Peixoto, S., Soares, R., 2019. Compensatory growth  
2368 and digestive enzyme activity of *Litopenaeus vannamei* submitted to feeding  
2369 restriction in a biofloc system. *Aquaculture Research* 50, 3653–3662.  
2370 <https://doi.org/10.1111/are.14323>
- 2371 Sakyi, M.E., Cai, J., Tang, J., Xia, L., Li, P., Abarike, E.D., Kuebutornye, F.K.A., Jian,  
2372 J., 2020. Short term starvation and re-feeding in Nile tilapia (*Oreochromis*  
2373 *niloticus*, Linnaeus 1758): Growth measurements, and immune responses.  
2374 *Aquaculture Reports* 16. <https://doi.org/10.1016/J.AQREP.2019.100261>
- 2375 Salam, A., Davies, P.M.C., 1994. Body composition of northern pike (*Esox lucius* L.) in  
2376 relation to body size and condition factor. *Fisheries Research* 19, 193–204.  
2377 [https://doi.org/10.1016/0165-7836\(94\)90038-8](https://doi.org/10.1016/0165-7836(94)90038-8)
- 2378 Serafim-Júnior, M., Perbiche-Neves, G., de Brito, L., Ghidini, A.R., Casanova, S.M.C.,  
2379 2010. Variação espaço-temporal de Rotifera em um reservatório eutrofizado no sul  
2380 do Brasil. *Iheringia. Série Zoologia* 100, 233–241.  
2381 <https://doi.org/10.1590/S0073-47212010000300008>
- 2382 Smith, P., Coackley, P., 1984. Diffusivity, tortuosity and pore structure of activated  
2383 sludge. *Water Research* 18, 117–122. [https://doi.org/10.1016/0043-1354\(84\)90056-3](https://doi.org/10.1016/0043-1354(84)90056-3)
- 2384 Strickland, J.D.H., Parsons, T.R., 1972. A Practical Handbook of seawater analysis, 2nd  
2385 ed, Fisheries research board of Canada. Ottawwa.
- 2386 Tavares-Dias, M., 2015. Parâmetros sanguíneos de referência para espécies de peixes  
2387 cultivados, in: Tavares-Dias, M. & Mariano, W.. (Ed.), *Aquicultura No Brasil:*  
2388 *Novas Perspectivas Volume 1 Aspectos Biológicos, Fisiológicos e Sanitários de*

- 2389 Organismos Aquáticos. Pedro & João, São Carlos.
- 2390 Thongprajukaew, K., Rodjaroen, S., 2017. Intermittent feeding induces compensatory  
2391 growth of juvenile yellow mystus (*Hemibagrus nemurus*). Aquatic Living  
2392 Resources 30. <https://doi.org/10.1051/alr/2017001>
- 2393 Trichet, V.V., 2010. Nutrition and immunity: An update. Aquaculture Research 41,  
2394 356–372. <https://doi.org/10.1111/j.1365-2109.2009.02374.x>
- 2395 Turker, H., Eversole, A.G., Brune, D.E., 2003. Filtration of green algae and  
2396 cyanobacteria by Nile tilapia, *Oreochromis niloticus*, in the Partitioned  
2397 Aquaculture System. Aquaculture 215, 93–101. [https://doi.org/10.1016/S0044-  
2398 8486\(02\)00133-3](https://doi.org/10.1016/S0044-8486(02)00133-3)
- 2399 Utermöhl, H., 1958. Zur Vervollkommnung der quantitativen Phytoplankton-Methodik.  
2400 SIL Communications, 1953-1996 9, 1–38.  
2401 <https://doi.org/10.1080/05384680.1958.11904091>
- 2402 Volpato, G.L., Frioli, P.M.A., Carrieri, M.P., 1989. Heterogeneous growth in fishes:  
2403 Some new data in the Nile tilapia, *Oreochromis niloticus*, and a general view about  
2404 the causal mechanisms. Boletim de Fisiologia Animal 13, 7–22.
- 2405 Vosylienė, M.Z., 1999. The Effect of Heavy Metals on Haematological Indices of Fish  
2406 (Survey). Acta Zoologica Lituanica 9, 76–82.  
2407 <https://doi.org/10.1080/13921657.1999.10512290>
- 2408 Wintrobe, M.M., 1934. Variations on the size and haemoglobin content of erythrocytes  
2409 in the blood of various vertebrates. Folia Haematologica 51, 32–49.
- 2410 Yarmohammadi, M., Pourkazemi, M., Kazemi, R., Pourdehghani, M., Hassanzadeh  
2411 Saber, M., Azizzadeh, L., Saber, M.H., Azizzadeh, L., 2015. Effects of starvation

2412 and re-feeding on some hematological and plasma biochemical parameters of  
2413 juvenile Persian sturgeon, *Acipenser persicus* Borodin, 1897. Caspian Journal of  
2414 Environmental Sciences 13, 129–140.

2415 Yuvarajan, P., 2021. Study on floc characteristics and bacterial count from  
2416 biofloc-based genetically improved farmed tilapia culture system. Aquaculture  
2417 Research 52, 1743–1756. <https://doi.org/10.1111/are.15030>

2418 Zar, J.H., 2010. Biostatistical Analysis, 5th ed. Pearson Prentice Hall, New Jersey.

2419 **ANEXO I - TABELAS**

2420

2421 Tabela 1 – Parâmetros físico e químicos de qualidade de água na criação de tilápia do Nilo (*Oreochromis niloticus*)

2422 com diferentes regimes alimentares em sistema de bioflocos (BFT) durante 28 dias.

Parâmetros	Regime alimentar					<i>p</i> -valor
	0SW	1SW	2SW	3SW	4SW	
T (°C)	27.2±0.15	27.3±0.05	27.3±0.03	27.3±0.06	27.3±0.01	0.1226
DO (mg/L)	6.22±0.11	6.22±0.08	6.16±0.05	6.24±0.01	6.36±0.13	0.2252
pH	7.84±0.03	7.83±0.03	7.90±0.05	7.94±0.09	7.97±0.06	0.1445
N – NH <sub>4</sub> (mg/L)	0.14±0.02	0.11±0.02	0.12±0.02	0.11±0.00	0.11±0.01	0.1648
N – NO <sub>2</sub> (mg/L)	1.96±1.25	1.80±1.02	1.81±0.40	2.03±0.51	1.81±0.85	0.9953
N – NO <sub>3</sub> (mg/L)	67.42±3.00 <sup>a</sup>	60.58±9.79 <sup>ab</sup>	58.17±2.25 <sup>ab</sup>	48.58±1.26 <sup>b</sup>	48.58±1.26 <sup>b</sup>	0.0026
Alcalinidade (mgCaCO <sub>3</sub> /L)	120.05±4.65 <sup>ab</sup>	116.33±2.52 <sup>ab</sup>	115.00±11.36 <sup>b</sup>	129.72±6.59 <sup>ab</sup>	137.72±11.75 <sup>a</sup>	0.0306
P – PO <sub>4</sub> <sup>3-</sup> (mg/L)	4.52±0.14	4.39±0.40	4.53±0.10	4.25±0.13	4.19±0.41	0.4715
Salinidade	17.33±0.81	17.17±0.49	16.93±0.81	16.80±0.87	17.05±0.93	0.5915

2423 \*Médias seguidas por letras diferentes, na mesma linha, apresentam diferença significativa pelo teste de Tukey ( $p < 0,05$ ).

2424

2425

2426 Tabela 2 – Características dos bioflocos na criação de tilápia do Nilo (*Oreochromis niloticus*) com  
 2427 diferentes regimes alimentares durante 28 dias.

Parâmetros	Regime alimentar					<i>p</i> -valor
	0SW	1SW	2SW	3SW	4SW	
SST (mg/L)	232.50±26.01 <sup>a</sup>	196.87±9.72 <sup>ab</sup>	153.33±7.32 <sup>bc</sup>	128.42±11.62 <sup>c</sup>	126.87±11.49 <sup>c</sup>	0.0001
SS (ml/L)	8.08±0.63 <sup>a</sup>	6.31±1.32 <sup>ab</sup>	6.54±0.69 <sup>a</sup>	4.08±0.88 <sup>b</sup>	1.00±0.53 <sup>c</sup>	0.0001
Porosidade (%)	99.25±0.26 <sup>b</sup>	99.35±0.31 <sup>b</sup>	99.38±0.28 <sup>b</sup>	99.57±0.19 <sup>a</sup>	99.81±0.17 <sup>a</sup>	0.0001
FVI (ml/g)	31.97±7.89 <sup>ab</sup>	31.13±17.47 <sup>ab</sup>	40.48±23.34 <sup>a</sup>	32.69±17.14 <sup>ab</sup>	16.15±14.56 <sup>b</sup>	0.0237
IDF (g/100ml)	3.30±0.76	5.28±4.98	3.99±3.71	4.94±4.60	12.31±15.56	0.2536

2428 \*SST – Sólidos suspensos totais; SS – sólidos sedimentáveis; FVI –Índice do volume do floco; IDF – Índice de densidade do floco.

2429 \*\* Médias seguidas por letras diferentes, na mesma linha, apresentam diferença significativa pelo teste de Tukey (p < 0,05).

2430

2431

2432

2433

2434

2435

2436 Tabela 3 – Performance produtiva de juvenis de tilápia do Nilo (*Oreochromis niloticus*) mantidos com diferentes regimes alimentares em sistema  
 2437 de bioflocos (BFT) durante 28 dias.

Parâmetros	Regime alimentar					<i>p</i> - valor
	0SW	1SW	2SW	3SW	4SW	
PMI (g)	4.39±0.00	4.39±0.00	4.39±0.00	4.39±0.00	4.39±0.00	0.6400
PMF (g)	19.18±2.80 <sup>a</sup>	15.53±0.60 <sup>a</sup>	10.19±0.16 <sup>b</sup>	7.21±0.12 <sup>bc</sup>	3.71±0.03 <sup>c</sup>	<.0001
GPM (g)	14.79±2.80 <sup>a</sup>	11.14±0.60 <sup>a</sup>	5.80±0.16 <sup>b</sup>	2.82±0.12 <sup>bc</sup>	-0.67±0.03 <sup>c</sup>	<.0001
GB (g)	407.69±99.93 <sup>a</sup>	299.32±54.11 <sup>ab</sup>	164.69±4.71 <sup>bc</sup>	77.38±3.60 <sup>cd</sup>	-33.22±3.54 <sup>d</sup>	0.0001
CTC	0.40±0.06 <sup>a</sup>	0.32±0.04 <sup>a</sup>	0.21±0.01 <sup>b</sup>	0.11±0.01 <sup>b</sup>	-0.06±0.01 <sup>c</sup>	<.0001
SOB (%)	94.44±6.94	93.33±9.43	97.78±1.92	96.67±0.00	88.33±2.36	0.5007
PRD (kg.m <sup>-3</sup> )	3.60±0.67 <sup>a</sup>	2.87±0.36 <sup>ab</sup>	1.98±0.03 <sup>bc</sup>	1.40±0.02 <sup>cd</sup>	0.65±0.02 <sup>d</sup>	0.0001
DF (peixe.m <sup>-3</sup> )	188.89±13.88	186.67±18.86	195.55±3.85	193.33±0.00	176.67±4.71	0.6141
UNI (%)	67.33±7.37 <sup>d</sup>	56.50±9.19 <sup>cd</sup>	76.00±4.00 <sup>bc</sup>	86.33±3.51 <sup>ab</sup>	96.00±0.00 <sup>a</sup>	0.0006
CA(%px/dia)	3.65±0.83 <sup>ab</sup>	4.29±1.02 <sup>a</sup>	2.44±0.14 <sup>bc</sup>	1.55±0.04 <sup>c</sup>	nc	0.0049
EA	1.21±0.30	0.91±0.17	1.07±0.04	1.02±0.06	nc	0.2632
TAA (%)	3.63±0.51	5.59±0.58	5.11±0.13	6.33±0.17	nc	0.2246

2438

2439 \* PMI – Peso médio inicial; PMF – Peso médio final; GPM – Ganho de peso médio; GB – Ganho de biomassa; CTC – Coeficiente térmico de crescimento;  
 2440 SOB – Sobrevivência; PRD – Produtividade; DF – Densidade Final; UNI – Uniformidade do lote; CA – Consumo de alimento; EA – Eficiência alimentar;  
 2441 TAA – Taxa de alimentação aparente.

2442 \*\* nc – não calculado

2443 \*\*\* Médias seguidas por letras diferentes, na mesma linha, apresentam diferença significativa pelo teste de Tukey ( $p < 0,05$ ).

2444 Tabela 4 – Condição corporal de juvenis de tilápia do Nilo (*Oreochromis niloticus*) mantidos com diferentes regimes alimentares em sistema de  
 2445 bioflocos (BFT) durante 28 dias.

Índices	Regime alimentar					<i>p</i> -valor
	0SW	1SW	2SW	3SW	4SW	
IHS (%)	3.07±1.11 <sup>a</sup>	1.29±0.31 <sup>b</sup>	0.72±0.26 <sup>c</sup>	0.60±0.22 <sup>cd</sup>	0.43±0.18 <sup>d</sup>	<0.0500
IVS (%)	11.40±1.78	10.02±1.87	9.76±1.99	10.70±1.95	10.07±1.55	0.0800
IMC (g/cm <sup>2</sup> )	0.19±0.02 <sup>a</sup>	0.17±0.01 <sup>b</sup>	0.13±0.01 <sup>c</sup>	0.11±0.01 <sup>d</sup>	0.09±0.01 <sup>e</sup>	0.0001
FC	1.43±0.17 <sup>a</sup>	1.22±0.12 <sup>b</sup>	0.85±0.15 <sup>c</sup>	0.54±0.19 <sup>d</sup>	-0.37±0.18 <sup>e</sup>	0.0001

2446 \* IHS – Índice hepatossomático; IVS – Índice viscerossomático; IMC – Índice de massa corpórea; FC – Fator de condição.

2447 \*\* Médias seguidas por letras diferentes, na mesma linha, apresentam diferença significativa pelo teste de Tukey ( $p < 0,05$ ).

2448

2449 Tabela 5 - Composição química (base da matéria natural) do corpo inteiro de juvenis de tilápia do Nilo (*Oreochromis niloticus*) mantidos com  
 2450 diferentes regimes alimentares em sistema de bioflocos (BFT) durante 28 dias.

Nutrientes	PI	Regime alimentar					<i>p</i> -valor
		0SW	1SW	2SW	3SW	4SW	
PB (%)	14.62±0.10	16.16±1.35 <sup>a</sup>	15.88±1.79 <sup>a</sup>	13.66±1.37 <sup>ab</sup>	14.11±0.18 <sup>ab</sup>	11.67±0.61 <sup>b</sup>	0.0199
EE (%)	3.24±0.28	4.74±1.17	4.82±0.73	1.75±0.40	1.48±0.21	1.43±0.22	0.0526
CZ (%)	3.65±0.07	4.31±0.21 <sup>b</sup>	5.83±0.08 <sup>a</sup>	5.41±0.12 <sup>a</sup>	6.43±0.05 <sup>a</sup>	6.27±0.93 <sup>a</sup>	0.0006
UM (%)	79.25±0.02	74.78±2.65 <sup>bc</sup>	73.47±2.60 <sup>c</sup>	79.18±1.75 <sup>ab</sup>	77.99±0.26 <sup>abc</sup>	80.62±0.09 <sup>a</sup>	0.0151
EB (kcal kg <sup>-1</sup> )	1131.7±29.9	1360.4±184.1 <sup>a</sup>	1352.3±170.0 <sup>a</sup>	937.1±107.5 <sup>b</sup>	936.4±24.8 <sup>b</sup>	794.5±55.9 <sup>b</sup>	0.0026

2457 \* PB – Proteína bruta; EE – Extrato etéreo; CZ – Cinzas; UM – Umidade; EB – Energia bruta; PI – População inicial.

2458 \*\* Energia bruta foram calculados utilizando os valores fisiológicos padrão: 5.64 kcal/g de proteína, 4.11 kcal/g de carboidratos e 9.44 kcal/g de lipídios  
 2459 (NRC, 2011).

2460 \*\*\* Médias seguidas por letras diferentes, na mesma linha, apresentam diferença significativa pelo teste de Tukey ( $p < 0,05$ ).

2461 Tabela 6 - Composição química (base da matéria seca) dos bioflocos da criação de juvenis de tilápia do Nilo (*Oreochromis niloticus*) em  
 2462 diferentes regimes alimentares durante 28 dias.

Nutrientes	Regime alimentar					<i>p</i> -valor
	OSW	1SW	2SW	3SW	4SW	
PB (%)	33.27±4.06 <sup>a</sup>	29.60±3.37 <sup>ab</sup>	24.00±2.77 <sup>bc</sup>	23.77±0.60 <sup>bc</sup>	21.03±0.29 <sup>c</sup>	0.0139
EE (%)	2.05±0.19 <sup>ab</sup>	1.95±0.31 <sup>ab</sup>	2.86±0.48 <sup>a</sup>	1.72±0.51 <sup>b</sup>	2.42±0.26 <sup>ab</sup>	0.0451
CZ (%)	33.19±0.11	34.79±2.86	36.04±0.71	37.74±4.64	39.06±5.07	0.3461
UM (%)	93.79±0.34	94.23±0.58	92.09±1.20	93.89±0.12	93.71±0.19	0.6192
ENN (%)	31.48±4.30	33.66±4.13	35.62±1.47	36.40±6.77	37.41±4.95	0.6263
EB (kcal kg <sup>-1</sup> )	3367.9±64.9	3240.±121.9	3173.0±43.3	3011.3±284.5	2958.8 ±200.6	0.1001

2463 \* PB – Proteína bruta; EE – Extrato etéreo; CZ – Cinzas; UM – Umidade; EB – Energia bruta; ENN– Extrato não nitrogenado.

2464 \*\* Energia bruta foram calculados utilizando os valores fisiológicos padrão: 5.64 kcal/g de proteína, 4.11 kcal/g de carboidratos e 9.44 kcal/g de lipídios  
 2465 (NRC, 2011).

2466 \*\*\* Médias seguidas por letras diferentes, na mesma linha, apresentam diferença significativa pelo teste de Tukey ( $p < 0,05$ ).

2467

2468

2469

2470

2471 Tabela 7 – Série eritrocitária de juvenis de tilápia do Nilo (*Oreochromis niloticus*) submetidos a diferentes períodos de privação alimentar  
 2472 sistema de bioflocos (BFT) durante 28 dias.

Parâmetros	Regime alimentar					<i>p</i> -valor
	OSW	1SW	2SW	3SW	4SW	
HCT (%)	36,00±4,82 <sup>a</sup>	30,77±2,03 <sup>ab</sup>	25,37±1,46 <sup>bc</sup>	23,00±0,87 <sup>bc</sup>	18,40±0,85 <sup>c</sup>	0,0006
Eri (10 <sup>6</sup> /μL)	1,82±0,24 <sup>a</sup>	1,69±0,27 <sup>ab</sup>	1,74±0,17 <sup>a</sup>	1,74±0,51 <sup>a</sup>	0,69±0,01 <sup>b</sup>	0,0257
Hb (g/dL)	9,05±0,33 <sup>a</sup>	6,26±1,38 <sup>ab</sup>	5,94±1,71 <sup>b</sup>	5,42±0,65 <sup>b</sup>	2,64±0,08 <sup>b</sup>	0,0020
VCM (fL)	192,54±10,53 <sup>ab</sup>	197,75±22,86 <sup>a</sup>	149,06±15,47 <sup>b</sup>	179,25±10,84 <sup>ab</sup>	168,77±7,78 <sup>ab</sup>	0,0419
HCM (pg)	55,24±13,35	37,66±4,26	36,48±8,24	34,84±7,59	34,15±5,30	0,1058
CHCM (g/dL)	26,07±4,20	18,58±5,67	25,88±8,15	24,50±5,38	14,74±1,40	0,2213

2473 \* HCT – Hematócrito; Eri – Eritrócitos; Hb – Hemoglobina; VCM – Volume corpuscular médio; HCM – Hemoglobina corpuscular média;

2474 CHCM – Concentração de hemoglobina corpuscular média.

2475 \*\* Médias seguidas por letras diferentes, na mesma linha, apresentam diferença significativa pelo teste de Tukey ( $p < 0,05$ ).

2476

2477

2478

2479

2480

2481 Tabela 8 – Série leucocitária de juvenis de tilápia do Nilo (*Oreochromis niloticus*) submetidos a diferentes períodos de privação alimentar  
 2482 sistema de bioflocos (BFT) durante 28 dias.

Células ( $\mu\text{L}$ )	Regime alimentar					<i>p</i> -valor
	0SW	1SW	2SW	3SW	4SW	
MON	3491,62 $\pm$ 1461,79	2477,44 $\pm$ 397,26	4299,81 $\pm$ 3612,03	3416,81 $\pm$ 1409,81	735,91 $\pm$ 145,35	0,4668
LIN	7959,60 $\pm$ 4144,24	7069,01 $\pm$ 5401,47	9128,23 $\pm$ 6735,65	7329,83 $\pm$ 4636,82	3629,91 $\pm$ 279,63	0,8111
EOS	691,25 $\pm$ 640,08	724,03 $\pm$ 813,88	179,23 $\pm$ 195,04	360,76 $\pm$ 624,86	0,00 $\pm$ 0,00	0,5678
BAS	148,19 $\pm$ 128,74	0,00 $\pm$ 0,00	60,76 $\pm$ 105,24	387,88 $\pm$ 671,83	37,34 $\pm$ 52,81	0,6559
NEU	3020,31 $\pm$ 1743,57	2112,36 $\pm$ 291,35	1958,16 $\pm$ 374,16	2739,43 $\pm$ 874,00	1642,11 $\pm$ 932,78	0,5773
Células imaturas	1518,343 $\pm$ 691,89	695,107 $\pm$ 34,90	786,08 $\pm$ 304,44	1609,07 $\pm$ 318,30	777,08 $\pm$ 319,72	0,0914

2483 \*MON – Monócitos; LIN – Linfócitos; EOS – Eosinófilos; BAS – Basófilos; NEU – Neutrófilos.

2484

2485

2486

2487

2488

2489 ANEXO II - FIGURAS

2490

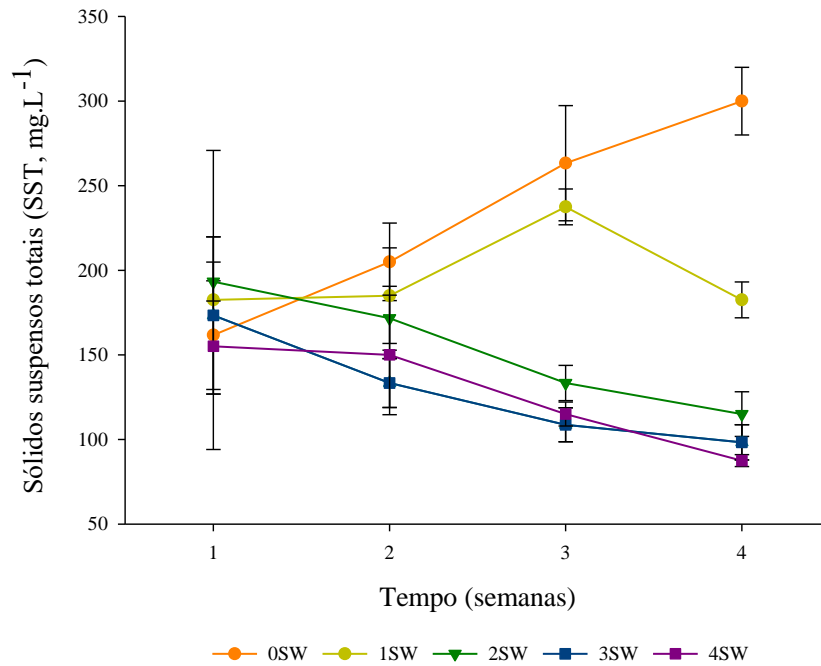
2491

2492

2493

2494

2495



2496

2497

2498 Figura 1 – Comportamento dos sólidos suspensos totais (SST) na criação de tilápia do  
 2499 Nilo (*Oreochromis niloticus*) com diferentes regimes alimentares em sistema de  
 2500 bioflocos (BFT) durante 28 dias.

2501

2502

2503

2504

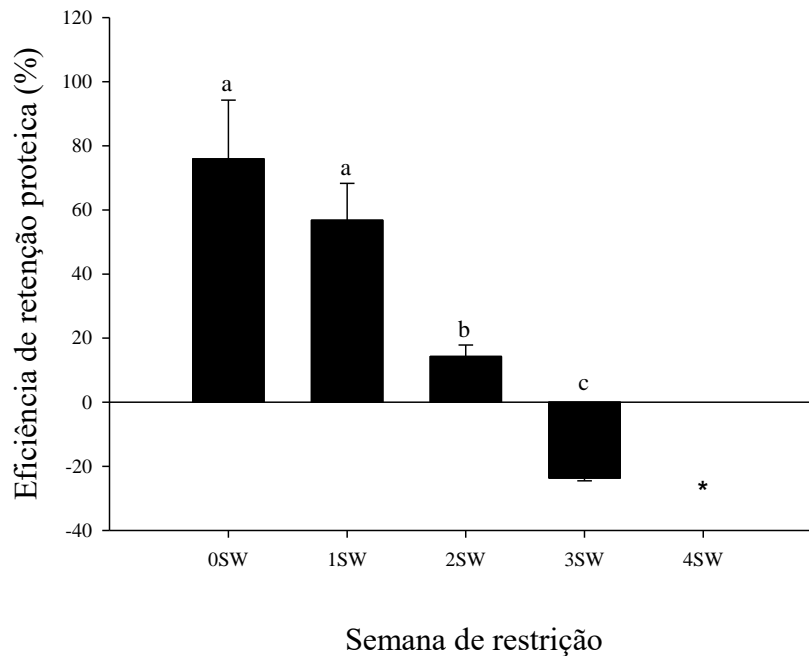
2505

2506

2507

2508

2509



2510

2511

2512 Figura 2 – Eficiência de retenção de proteína de juvenis de tilápia do Nilo (*Oreochromis*  
 2513 *niloticus*) mantidos com diferentes regimes alimentares em sistema de bioflocos (BFT)  
 2514 durante 28 dias.

2515

2516

2517

2518

2519

2520

2521

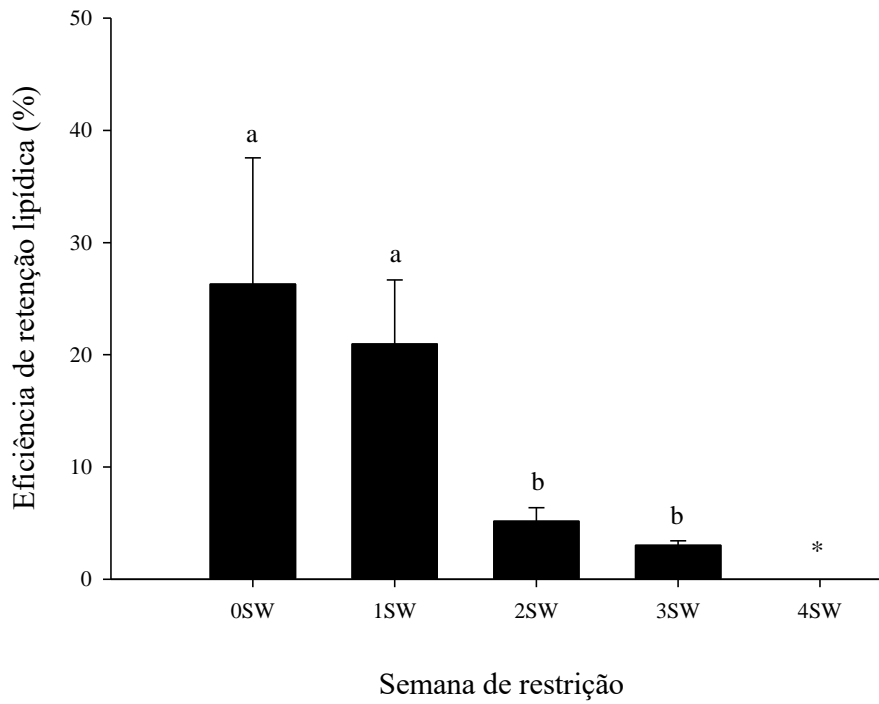
2522

2523

2524

2525

2526

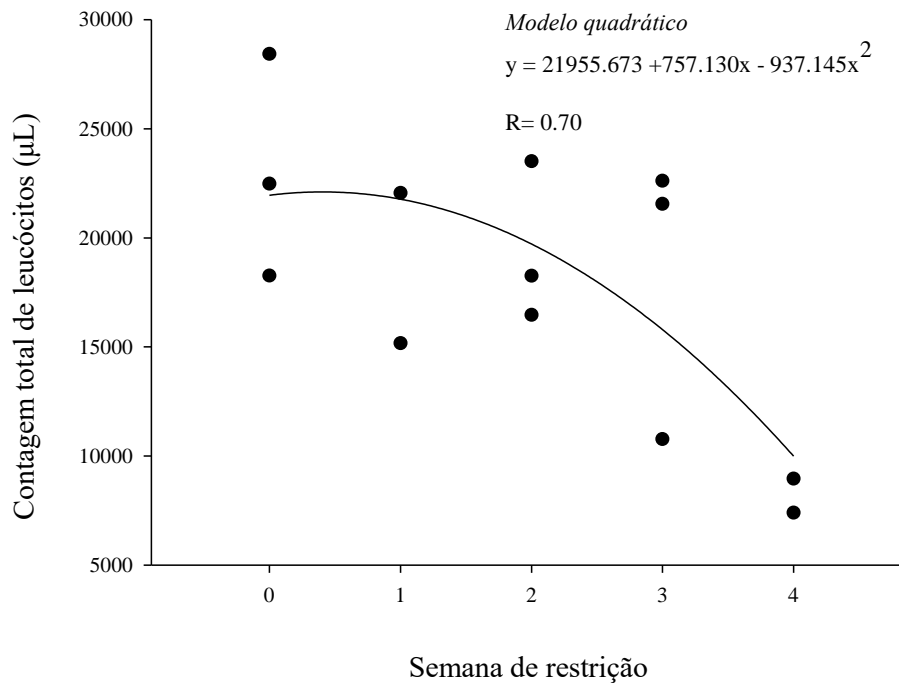


2527

2528

2529 Figura 3 – Eficiência de retenção de lipídeos em juvenis de tilápia do Nilo  
 2530 (*Oreochromis niloticus*) mantidos com diferentes regimes alimentares em sistema de  
 2531 bioflocos (BFT) durante 28 dias.

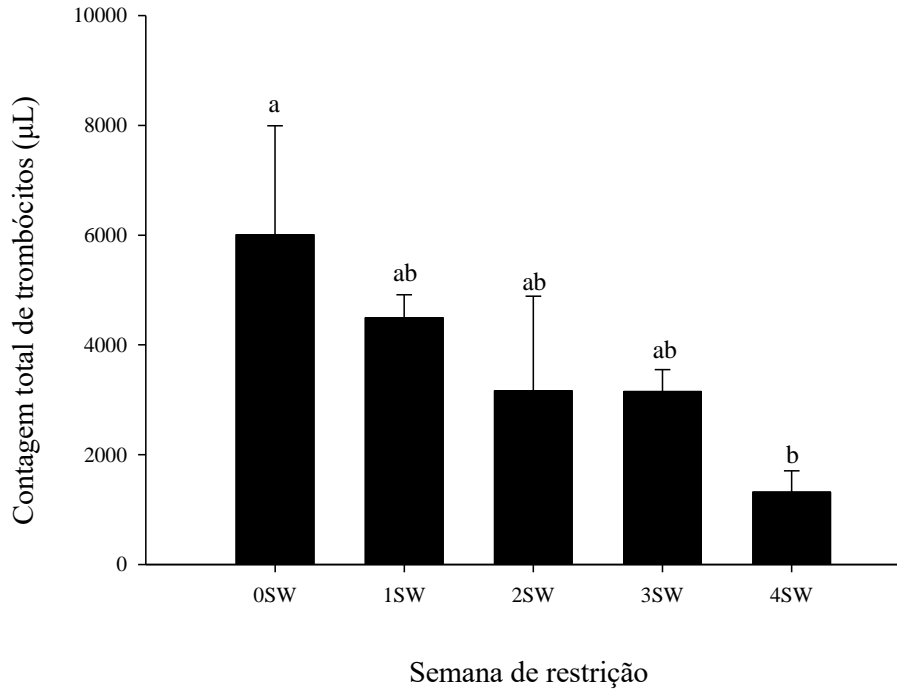
2532



2540

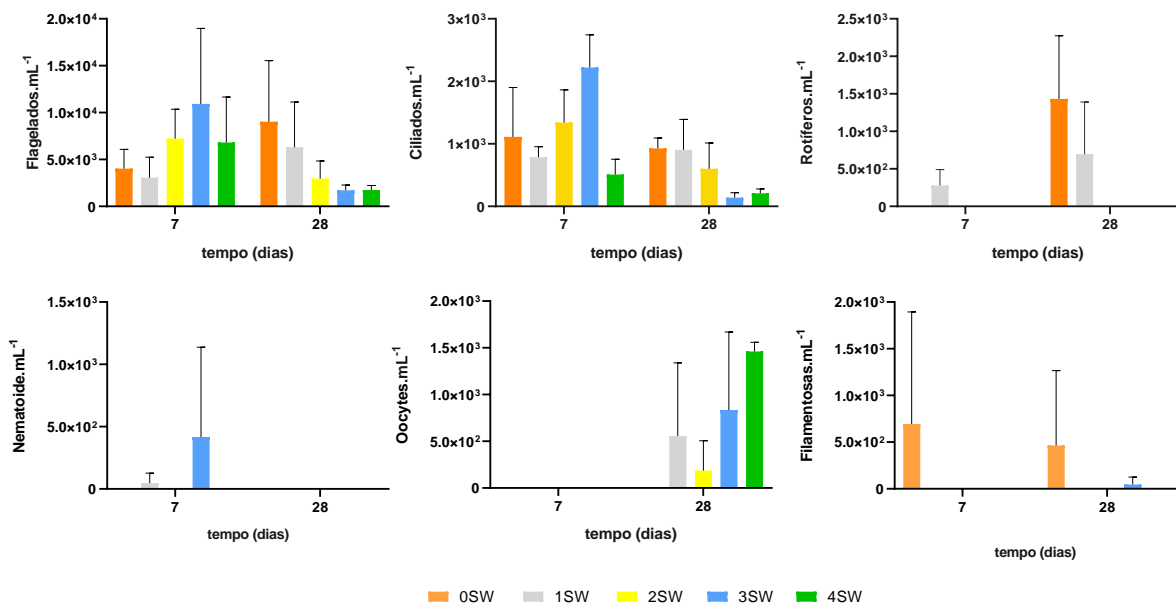
2541 Figura 4 – Contagem total de leucócitos em juvenis de tilápia do Nilo (*Oreochromis*  
 2542 *niloticus*) submetidos a diferentes períodos de privação alimentar sistema de bioflocos  
 2543 (BFT) durante 28 dias.

2544  
2545  
2546  
2547  
2548  
2549  
2550  
2551  
2552  
2553  
2554



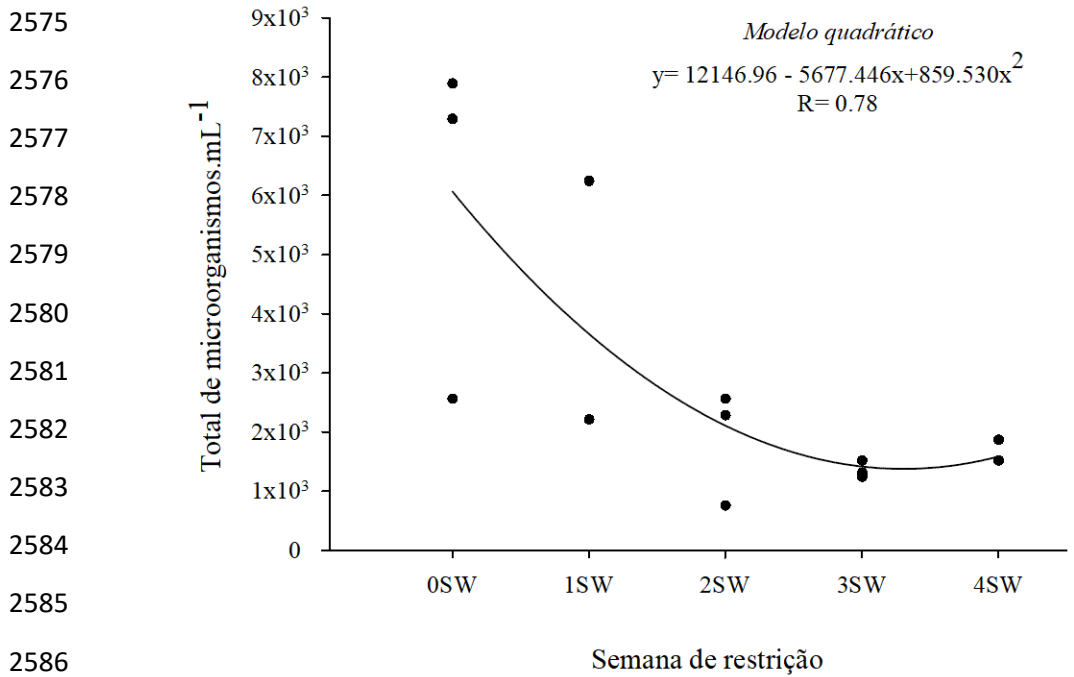
2555 Figura 5 – Contagem total de trombócitos em juvenis de tilápia do Nilo (*Oreochromis*  
2556 *niloticus*) submetidos a diferentes períodos de privação alimentar sistema de bioflocos  
2557 (BFT) durante 28 dias

2558  
2559  
2560  
2561  
2562  
2563  
2564  
2565  
2566  
2567  
2568  
2569  
2570

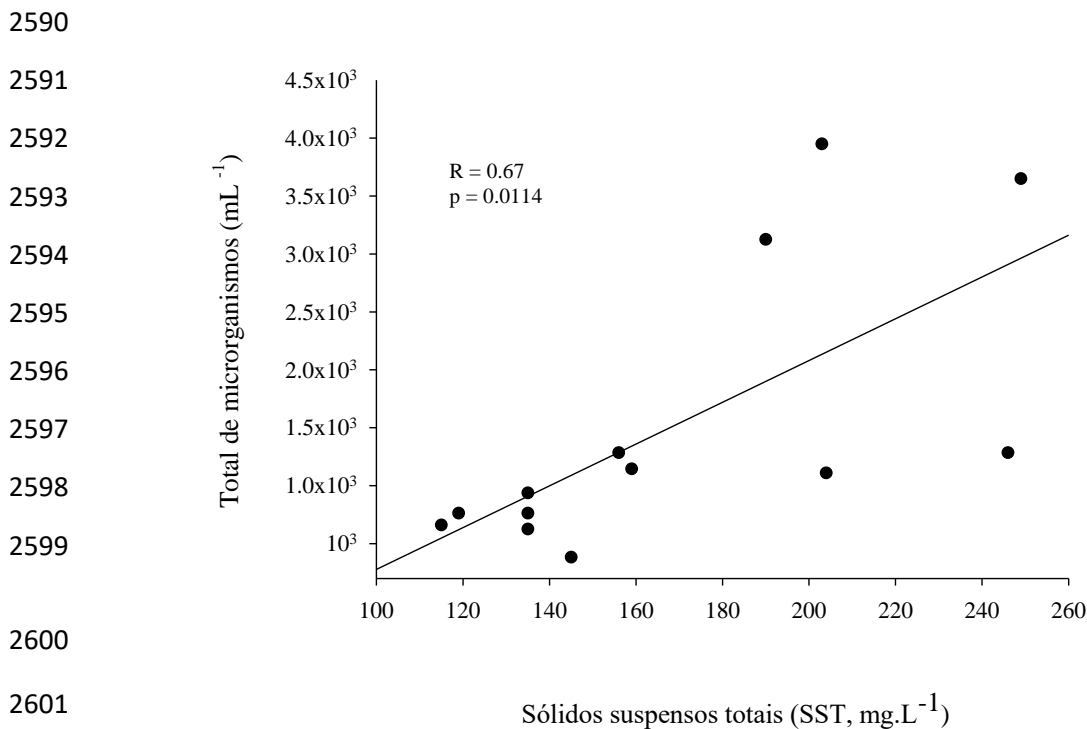


2571 Figura 6 – Variação da abundância (média±desvio) dos grupos de microrganismos na  
2572 criação de juvenis de tilápia do Nilo (*Oreochromis niloticus*) submetidos a diferentes  
2573 períodos de privação alimentar sistema de bioflocos (BFT) durante 28 dias.

2574



2587 Figura 7 – Total de microrganismos na criação de juvenis de tilápia do Nilo  
 2588 (*Oreochromis niloticus*) submetidos a diferentes períodos de privação alimentar sistema  
 2589 de bioflocos (BFT) ao final dos 28 dias de ensaio.



2603 Figura 8 – Correlação entre quantidade total de microrganismos e concentração de  
 2604 sólidos suspensos totais (SST) na criação de juvenis de tilápia do Nilo (*Oreochromis*  
 2605 *niloticus*) submetidos a diferentes períodos de privação alimentar sistema de bioflocos  
 2606 (BFT) durante 28 dias.

### CAPÍTULO III

2607

2608

2609 **Os bioflocos são capazes de sustentar o crescimento de juvenis de tilápia-do-Nilo**  
2610 **(*Oreochromis niloticus*) submetidos à restrição alimentar cíclica?**

2611 Luciana Kelly Oliveira<sup>a</sup>, Dariano Krumennauer<sup>b</sup>, Wilson Wasielesky<sup>c</sup>, & Marcelo  
2612 Borges Tesser <sup>a \*</sup>

2613 <sup>a</sup> Laboratório de Nutrição de Organismos Aquáticos, Instituto de Oceanografia,  
2614 Universidade Federal do Rio Grande – FURG - Rua do Hotel, 02 – Cassino – 96201-  
2615 900 Rio Grande, RS, Brasil

2616 <sup>b</sup> Laboratório de Ecologia de microrganismos Aplicado a Aquicultura, Instituto de  
2617 Oceanografia, Universidade Federal do Rio Grande – FURG – C.P. 474, (RS) CEP  
2618 96201-900, Rio Grande, Brasil

2619 <sup>c</sup> Laboratório de Carcinocultura, Instituto de Oceanografia, Universidade Federal do Rio  
2620 Grande – FURG - Rua do Hotel, 02 – Cassino – 96201-900 Rio Grande, RS, Brasil

2621 \*Corresponding author:

2622 E-mail address: [mbtesser@gmail.com](mailto:mbtesser@gmail.com) (Marcelo Borges Tesser)

#### 2623 **Highlights**

2624 • A restrição de alimento inerte uma vez por semana reduziu a ingestão total de  
2625 ração, mas não na sobrevivência e no crescimento dos juvenis de tilápia.

2626 • Ciclos de 4 e 5 dias de alimentação por semana resultaram em crescimento  
2627 compensatório parcial, próximo ao total.

2628 • O nível de proteína dos bioflocos influencia diretamente o grau de compensação.

2629

2630 **Resumo**

2631 Este estudo foi conduzido com o objetivo de avaliar os efeitos da restrição alimentar  
2632 cíclica (3, 4, 5, 6 e 7 dias de alimentação semanalmente) na performance no berçário de  
2633 juvenis de tilápia do Nilo (*Oreochromis niloticus*) em sistema de bioflocos (BFT)  
2634 durante 77 dias. Um total de 1500 peixes ( $0,42 \pm 0,02$  g) foram distribuídos  
2635 aleatoriamente em 15 unidades experimentais (400L). O crescimento dos animais foi  
2636 influenciado pelos ciclos de alimentação com diferentes restrições ( $P < 0,05$ ), mas não a  
2637 sobrevivência e densidade final ( $P > 0,05$ ), as quais permaneceram em torno de 94% e  
2638 235 peixes.m<sup>-3</sup>, respectivamente. Juvenis alimentados 6 dias por semana apresentaram  
2639 maior eficiência na utilização do alimento ( $P < 0,05$ ), enquanto animais alimentados três  
2640 dias por semana (mais restritos) apresentaram hiperfagia, mas não expressaram  
2641 crescimento compensatório. Os parâmetros de qualidade de água permaneceram dentro  
2642 dos limites aceitáveis para a espécie, e para a operação do sistema. Os regimes de  
2643 alimentação exerceram influência nas características dos bioflocos e na abundância de  
2644 microrganismos ( $P < 0,05$ ). Nutricionalmente, regimes alimentares menos restritos (6 e 7  
2645 dias de alimentação) produziram bioflocos mais proteicos e energéticos ( $P < 0,05$ ),  
2646 enquanto a proteína, lipídio e energia corporal foram significativamente menores  
2647 ( $P < 0,05$ ) com a alimentação mais restrita. Nossos resultados, demonstram que a  
2648 ocorrência de crescimento compensatório total (6 dias de alimentação), representa uma  
2649 vantagem econômica com a redução de 26,8% de ração, e maior rentabilidade na  
2650 comercialização unitária de juvenis de tilápia.

2651

2652 **Palavras-chave:** crescimento compensatório, tecnologia de bioflocos, manejo  
2653 alimentar, sólidos, comunidade microbiana, inanição.

2654

2655 **Abstract**

2656 The effects of cyclical feeding restriction (3, 4, 5, 6, and 7 days of feeding per week) on  
2657 the performance of juvenile Nile tilapia (*Oreochromis niloticus*) in a biofloc system  
2658 (BFT) was evaluate in this study for 77 days. In 15 experimental units (400L) were  
2659 randomly distributed 1500 fish ( $0.42 \pm 0.02$  g). Feeding cycles with different  
2660 restrictions ( $P < 0.05$ ) influenced animal growth but not survival and final density  
2661 ( $P > 0.05$ ), which remained around 94% and 235 fish.m<sup>-3</sup>, respectively. Juveniles fed six  
2662 days a week showed greater food utilization efficiency ( $P < 0.05$ ), while animals fed  
2663 three days a week (more restricted) showed hyperphagia but did not express  
2664 compensatory growth. Water quality parameters remained within acceptable limits for  
2665 the species and system operation. Feeding regimes influenced the characteristics of  
2666 bioflocs and the abundance of microorganisms ( $P < 0.05$ ). Nutritionally, less restricted  
2667 diets (6 and 7 days a week) produced more protein and energy bioflocs ( $P < 0.05$ ), while  
2668 protein, lipid, and body energy were significantly lower ( $P < 0.05$ ) with the more  
2669 restricted diet. Our results demonstrate that the occurrence of total compensatory growth  
2670 (6 days a week) represents an economic advantage with a reduction of 26.8% of feed  
2671 and greater profitability in the unitary commercialization of tilapia juveniles.

2672

2673

2674 **Keywords:** compensatory growth, biofloc technology, food management, solids,  
2675 microbial community, starvation.

2676

2677

## 2678 **1. Introdução**

2679 O estudo sobre manejo alimentar é objeto importante para a criação de  
2680 organismos aquáticos em diferentes sistemas de produção, pois práticas alimentares  
2681 inapropriadas causam prejuízos à qualidade de água, à sanidade dos organismos e ao  
2682 custo de alimentação (Chahid et al., 2021; Van Rijn, 2013). As estratégias de  
2683 alimentação podem ser utilizadas para regular e controlar o desempenho dos peixes  
2684 (Attia et al., 2012). Uma oferta de alimento equilibrada é a base para o desenvolvimento  
2685 de um programa de gestão aquícola bem-sucedido. A superalimentação aumenta a carga  
2686 de nutrientes no sistema piora a qualidade de água, expõe os organismos a ação de  
2687 patógenos e onera o custo de produção (Gao and Lee, 2012); ao tempo que a oferta  
2688 insuficiente de alimento causa depressão das taxas de crescimento dos animais (Jafari et  
2689 al., 2019; Sakyi et al., 2019).

2690 Estratégias de manejo como frequência de alimentação, taxa de arraçoamento e  
2691 restrição alimentar são ferramentas que auxiliam na redução de custos com a  
2692 alimentação (Correa et al., 2020; Oliveira et al., 2021; Silva et al., 2020); e quando  
2693 utilizadas adequadamente promovem melhor aproveitamento dos nutrientes. Benefícios  
2694 em termos de crescimento e economia de ração podem ser alcançados simulando  
2695 situações que ocorrem no ambiente natural como a escassez de alimento. O crescimento  
2696 compensatório é um fenômeno definido como uma fase em que os animais após um  
2697 período de restrição alimentar parcial ou total exibem crescimento acelerado (Ali et al.,  
2698 2003). O estudo desse fenômeno ultrapassa o campo teórico, e pode ser aplicado como  
2699 estratégia de manejo na aquicultura (Jobling et al., 1994). Entretanto, diferentes  
2700 respostas compensatórias podem estar relacionadas a diferentes protocolos  
2701 experimentais, condições ambientais e/ou condições fisiológicas dos peixes (Favero et  
2702 al., 2019; Jafari et al., 2019; McCue, 2010; Nebo et al., 2018).

2703 Com o avanço tecnológico da aquicultura os conhecimentos em manejo de  
2704 alimentação necessitam ser avaliados em função da espécie, linhagem, parâmetros  
2705 externos e principalmente sistema produtivo. Na aquicultura intensiva tradicional, a  
2706 principal fonte de nutrientes é provida por alimentos nutricionalmente completos.  
2707 Entretanto, nos sistemas de produção baseados em bioflocos (*Biofloc Technologic*  
2708 *System* - BFT) além do alimento inerte fornecido, a alta produção microbiana do sistema  
2709 atua como alimento suplementar. Essa comunidade microbiana é gerada a partir da  
2710 manipulação da relação carbono/nitrogênio que favorece o surgimento de bactérias  
2711 heterotróficas que são geradas pela imobilização da amônia presente no meio. Uma vez  
2712 formados, os flocos microbianos podem atuar como suplemento alimentar durante o  
2713 ciclo de produção (Dauda, 2020).

2714 Este alimento “*in situ*” pode ser melhor aproveitado por espécies filtradoras e  
2715 que ocupam baixa posição na cadeia trófica, como a tilápia do Nilo (*Oreochromis*  
2716 *niloticus*) e as tainhas, *Mugil cephalus* e *Mugil liza* (Avnimelech, 2007; Haridas et al.,  
2717 2021), especialmente nas fases iniciais de criação. A realização do berçário e pré-recria  
2718 em BFT apresenta vantagens interessantes como o incremento nutricional, manutenção  
2719 da qualidade da água, menor consumo da água e biossegurança (Khanjani et al., 2022).  
2720 A estabilidade conferida pelo sistema BFT, o torna instrumento na melhoria da  
2721 eficiência alimentar, na prevenção e menor disseminação de enfermidades importantes  
2722 que afetam as criações nos estágios iniciais. Além disso, o sistema BFT pode ser uma  
2723 ferramenta importante na produção de juvenis pelos benefícios nutricionais que  
2724 encurtam o ciclo de produção ao fornecer animais entre 30 e 50g prontos para a recria  
2725 (Manduca et al., 2021; Oliveira et al., 2021). A produção de juvenis é vista como um  
2726 importante nicho de mercado para a piscicultura, posto que a disponibilidade desses  
2727 animais é essencial para manter a cadeia produtiva em funcionamento. Logo, estudos

2728 sobre os aspectos de manejo alimentar durante a produção de juvenis em sistema BFT  
2729 são necessários, posto que nessa fase os animais apresentam o maior potencial de  
2730 aproveitamento dos bioflocos como alimento (Ekasari et al., 2014). Esse estudo  
2731 objetivou avaliar os efeitos dos ciclos curtos de restrição e realimentação sobre o  
2732 desempenho de juvenis de tilápia do Nilo em sistema de bioflocos, e suas implicações  
2733 sobre a eficiência nutricional, qualidade de água, perfil nutricional dos bioflocos e  
2734 composição da comunidade microbiana.

## 2735 **2. Material e métodos**

### 2736 **2.1 Declaração de Ética**

2737 O Comitê de Ética no Uso de Animais da Universidade Federal do Rio Grande,  
2738 Rio Grande, RS, Brasil (Licença nº 003/2020), aprovou previamente todos os  
2739 procedimentos experimentais.

### 2740 **2.2 Instalações**

2741 O experimento foi conduzido na Estação Marinha de Aquicultura da  
2742 Universidade Federal do Rio Grande (FURG), Brasil. Juvenis de tilápia do Nilo (GIFT)  
2743 foram obtidos de uma piscicultura local e aclimatados às condições de laboratório por  
2744 15 dias antes do ensaio. Durante este período, os peixes foram mantidos em três tanques  
2745 (1000 L) com aeração contínua e troca diária de água (20% do volume do tanque) e  
2746 alimentados três vezes ao dia (9h, 13h e 17h) até a aparente saciedade. A composição  
2747 nutricional da ração comercial (Nutripiscis Starter, Presence®, Brasil) continha  
2748 (composição analisada; g kg<sup>-1</sup>): 46,7g de proteína bruta; 5,07 g de extrato etéreo; 3,0 g  
2749 de fibra bruta; 11,5 g de cinzas; e 4.475,5 kcal kg<sup>-1</sup> de energia bruta calculada a partir de  
2750 valores fisiológicos de combustível (NRC, 2011).

2751 O experimento foi realizado em 15 tanques circulares de 400 L abastecidos  
2752 com água salobra (15‰) com controle de temperatura ( $\pm 28^{\circ}\text{C}$ ) por aquecedores  
2753 submersíveis e fotoperíodo de 12 horas de luz e 12 horas de escuro. O delineamento foi  
2754 inteiramente casualizado, com cinco tratamentos e três repetições. Um sistema de ar  
2755 difuso forneceu aeração às unidades experimentais por uma mangueira microperfurada  
2756 conectada a um soprador de ar radial de 7,5 HP (Ibram™, São Paulo, Brasil). Para  
2757 acelerar a formação dos bioflocos, as unidades experimentais foram inoculadas com 40  
2758 litros (25% do volume) de bioflocos maduro conforme metodologia descrita por  
2759 Krummenauer et al. (2014). Com base nos cálculos de Avnimelech (1999) e Ebeling et  
2760 al. (2006) foi adicionado melaço de cana (37% de carbono) como fonte de carbono para  
2761 manter a relação C/N de 15:1, assumindo que 6 g de carbono são necessários para  
2762 converter 1 g de amônia.

### 2763 **2.3 Procedimentos experimentais**

2764 Após a aclimação, os peixes ( $0,42 \pm 0,02$  g) foram distribuídos  
2765 aleatoriamente em cada tanque (100 peixes por tanque), equivalente a uma densidade de  
2766 estocagem de 250 peixes  $\text{m}^{-3}$ . Os peixes foram submetidos a cinco regimes alimentares  
2767 (Tabela 1) e alimentados com a mesma ração comercial utilizada durante a aclimação  
2768 em três refeições diárias (9h, 13h e 17h) até saciedade aparente por 77 dias.

### 2769 **2.4 Qualidade da água**

2770 O oxigênio dissolvido, a temperatura (Handy Polaris, OxyGuard™,  
2771 Dinamarca) e o pH (Seven2Go, Mettler Toledo™, Brasil) foram verificados diariamente  
2772 pela manhã em cada tanque. Amônia (UNESCO, 1983), nitrito (Aminot e Chausseple, 1983)  
2773 e alcalinidade (APHA, 2012) foram monitorados duas vezes por semana.

2774 Finalmente, salinidade (RTP-20ATC, ATC™, Brasil), nitrato (García-Robledo et al.,  
2775 2014) e fosfato (Aminot e Chaussepied, 1983) foram analisados semanalmente.

## 2776 **2.5 Características do bioflocos**

2777 Os sólidos suspensos totais (Strickland e Parsons, 1972), os sólidos  
2778 sedimentáveis (APHA, 2012), e a turbidez (2100P, HACH™, Portugal) foram  
2779 monitorados duas vezes por semana. Com base nesses dados, foi calculado pelo método  
2780 de Smith e Coackley (1984) da seguinte forma: Porosidade (%) = (1- sólidos  
2781 sedimentados/volume de água) × 100. A porosidade do floco significa espaços em  
2782 flocos que se envolveram com sólidos de água. O índice de volume do floco (IVF) foi  
2783 medido por Mohlman (1934) seguindo a fórmula: IVF (ml/g) = sólidos em  
2784 sedimentação (ml)/sólidos suspensos totais (g). De acordo com o centro de referência  
2785 internacional da Organização Mundial da Saúde (1978), o índice de densidade do floco  
2786 (IDF) foi calculado usando a seguinte fórmula: IDF = 100/IVF.

## 2787 **2.6 Análise do crescimento dos peixes**

2788 Os peixes foram mantidos em jejum de alimento inerte por 24 horas,  
2789 anestesiados com benzocaína a 50 mg L<sup>-1</sup>), contados, pesados e medidos ao final do  
2790 experimento para determinação dos seguintes parâmetros de desempenho:

2791 Ganho de peso = (peso final – peso inicial)

2792 Unidade Térmica de Crescimento = [(peso final<sup>1/3</sup> – Peso inicial<sup>1/3</sup>)/ (temperatura da  
2793 água × dias de experimento)] × 100

2794 Taxa de sobrevivência (%) = [(número final de peixes – número inicial de peixes)/  
2795 número inicial de peixes] × 100

2796 Produtividade = (biomassa final/volume de água) × 1000

2797 Densidade final = número final de peixe/volume de água

- 2798 Eficiência alimentar = (peso final – peso inicial) / consumo total de ração
- 2799 Taxa de alimentação (%) = [ (consumo total de ração/dias de alimentação) / ((peso final  
2800 + peso inicial) /2) ] × 100
- 2801 Consumo diário de ração (%) = consumo de ração / [(peso inicial do peixe + peso final  
2802 do peixe) × dias alimentados / 2]} × 100
- 2803 Índice hepatossomático (%) = (peso do fígado/peso corporal total) × 100
- 2804 Índice viscerossomático (%) = (peso das vísceras/peso corporal total) × 100
- 2805 Índice de lipossomático (%) = (peso da gordura visceral/peso corporal total) × 100
- 2806 Índice de massa corporal (g/cm<sup>2</sup>) = peso corporal total/ comprimento total<sup>2</sup>
- 2807 Fator de condição = peso final/ (comprimento total<sup>3</sup>) × 100
- 2808 Retenção da eficiência proteica (%) = (peso final × proteína corporal final) – (peso  
2809 inicial × proteína corporal inicial) × 100/ ingestão de proteína

2810 Uma possível compensação (em termos de ganho de peso) pelos peixes foi  
2811 estimada por um coeficiente de compensação em peso (CC) =  $\Delta T/\Delta C$ , onde  $\Delta T$  = ganho  
2812 de peso médio por grupo de tratamento/número de dias de alimentação,  $\Delta C$  = ganho de  
2813 peso médio pelo grupo controle/número de dias de alimentação; CC > 1 indicaria  
2814 compensação (Mattila et al., 2009).

## 2815 **2.7 Análise de composição química**

2816 Cem peixes da população inicial foram coletados aleatoriamente e eutanasiados  
2817 (com benzocaína a 100 mg L<sup>-1</sup>), triturados e congelados para posterior análise. A  
2818 composição aproximada de corpo inteiro, bioflocos e dieta foi analisada de acordo com  
2819 a AOAC (2007). O método Kjeldahl (MA-036, Marconi™, Brasil) foi utilizado para

2820 determinar o teor de proteína bruta, e o método Soxhlet (MA-487, Marconi™, Brasil)  
2821 foi usado para estimar o teor de lipídeo bruto. A cinza determinada por queima simples  
2822 foi em mufla (MA-385, Marconi™, Brasil) a 600 °C por 5 horas, e a umidade foi  
2823 determinada pelo método gravimétrico em estufa de ar forçado (MA-035/3, Marconi™ ,  
2824 Brasil) a 105 °C até peso constante. Finalmente, a energia bruta foi calculada a partir  
2825 dos valores fisiológicos do combustível (NRC, 2011).

## 2826 **2.8 Abundância de microrganismos**

2827 Amostras de água do cultivo (10mL) foram coletadas ao final da primeira  
2828 semana (dia 7), na quinta semana (dia 35) e na décima primeira semana (dia 77) do  
2829 experimento, e então fixadas em formol a 4% para a contagem de protozoários e outros  
2830 organismos. Alíquotas das amostras foram colocadas em câmara de sedimentação, e  
2831 levadas ao microscópio invertido (IX51, Olympus™) com magnificação final de 200×,  
2832 onde 30 campos aleatórios foram contados de acordo com Utermöhl (1958).

## 2833 **2.9 Análise econômica**

2834 Foi avaliada a viabilidade econômica da produção de juvenis de tilápia sob  
2835 diferentes estratégias de restrição alimentar, assim como a economia alimentar durante o  
2836 período experimental. As análises econômicas foram realizadas considerando apenas os  
2837 custos de alimentação da seguinte forma:

2838  $\text{Custo da ração (US$.Kg}^{-1}) = (\text{preço da ração} \times \% \text{ consumo de ração})$

2839  $\text{Custo de alimentação (US\$)} = (\text{custo de alimentação} \times \text{taxa de conversão alimentar})$

2840  $\text{TCA econômica} = (\text{preço da ração} \times \text{taxa de conversão alimentar})$

2841  $\text{Receita bruta (US\$)} = (\text{juvenis produzidos} \times \text{preço unitário dos juvenis})$

2842  $\text{Margem de lucro bruto} = (\text{receita bruta} - \text{custo de alimentação})$

2843  $\text{Rentabilidade (\%)} = (\text{Margem de lucro bruto/Custo de alimentação}) \times 100$

2844 O preço do juvenil foi realizado conforme proposto por Oliveira et al. (2021)  
2845 da seguinte forma: lote de juvenis (US\$/mil indivíduos) = preço inicial de venda de  
2846 1000 juvenis ( $\pm 1\text{g}$ ) + (1000 $\times$ peso médio do juvenil grande (kg))  $\times$  custo de produção  
2847 por quilo de juvenil. O custo estimado para 1000 juvenis no estado do Rio Grande do  
2848 Sul foi de US\$ 39,53 e US\$ 1,98 por quilo de juvenil produzido.

## 2849 **2.10 Análise estatística**

2850 Os dados obtidos no ensaio foram testados quanto à normalidade (teste de  
2851 Kolmogorov-Smirnov) e homogeneidade (teste de Levene). Uma ANOVA de uma via  
2852 foi realizada, e quando significativo o teste de Tukey foi aplicado para comparação das  
2853 médias. Quando os pressupostos da ANOVA não foram atendidos, foi realizado o teste  
2854 não paramétrico (teste de Kruskal-Wallis). A análise de regressão polinomial foi  
2855 realizada para demonstrar a relação entre o consumo de ração e a eficiência alimentar  
2856 com os ciclos de alimentação restrita. Todas as análises foram realizadas com o  
2857 software SAS OnDemand for Academics. Os dados de microrganismos foram  
2858 analisados usando as estatísticas não paramétricas do tipo “Anova”, seguidas de  
2859 Comparações Múltiplas e Intervalos de Confiança Simultâneos pelo método “*Tipo*  
2860 *Tukey*” usando os pacotes nparLD e nparcomp do software RStudio, respectivamente.

## 2861 **3. Resultados**

### 2862 **3.1 Qualidade de água**

2863 Os parâmetros de qualidade da água nas diferentes estratégias de alimentação  
2864 são apresentados na Tabela 2. Ao longo do experimento a temperatura e o pH não  
2865 apresentaram influências dos tratamentos ( $P>0,05$ ). A concentração de oxigênio  
2866 dissolvido a partir do tratamento 4DPS, foi estatisticamente reduzida em média 3,21%.

2867 As maiores concentrações médias de alcalinidade foram observadas em 3DPS e 4DPS  
2868 ( $P < 0,05$ ). Em todos os tratamentos, a concentração média de nitrogênio amoniacal total  
2869 (NAT) foi  $< 1\text{mg/L}$ , enquanto o nitrito manteve-se  $< 2\text{mg/L}$  não havendo diferenças  
2870 significativas entre os tratamentos ( $P > 0,05$ ). As concentrações médias de nitrato e  
2871 fosfato não foram diferentes entre os tratamentos ( $P > 0,05$ ).

### 2872 **3.2 Características do bioflocos**

2873 As características dos bioflocos estão apresentadas na Tabela 3. O incremento  
2874 nos dias de alimentação a partir de 5DPS não aumentou significativamente as  
2875 concentrações de SST ( $P < 0,05$ ). Os sólidos sedimentáveis foram significativamente  
2876 elevados, e os bioflocos menos porosos a partir de 6 dias de alimentação, enquanto uma  
2877 maior restrição de alimento reduziu o volume de sólidos e aumentou a porosidade dos  
2878 flocos microbianos ( $P < 0,05$ ). Não foram observadas respostas na turbidez e nos índices  
2879 de volume e densidade dos bioflocos em razão da quantidade de dias de alimentação  
2880 ( $P > 0,05$ ).

### 2881 **3.3 Desempenho zootécnico**

2882 Os resultados do desempenho dos juvenis de tilápia-do-Nilo estão apresentados  
2883 na Tabela 4. Os animais cresceram com o aumento de dias de alimentação até 6 dias por  
2884 semana. Logo, a alimentação durante 7 dias não incrementou o peso médio final, ganho  
2885 de peso e o crescimento térmico ( $P < 0,05$ ). Em decorrência dos dias de alimentação, a  
2886 produtividade aumentou até o sexto dia de alimentação seguindo o padrão observado  
2887 nos parâmetros de crescimento. As estratégias de alimentação não afetaram as respostas  
2888 de sobrevivência e produtividade do cultivo ( $P > 0,05$ ). A taxa de alimentação, o  
2889 consumo diário de alimento e a ingestão diária de proteína foi significativamente maior  
2890 no grupo alimentado durante 3 dias por semana (Tabela 5). Já os animais alimentados

2891 entre 6 e 7 dias por semana (6DPS e 7DPS) foram mais eficientes na utilização da  
2892 proteína ( $P<0,05$ ). Contudo, a eficiência alimentar apresentou comportamento  
2893 quadrático crescente (Figura 1) com o incremento nos dias de alimentação. Por outro  
2894 lado, o consumo de alimento diário por peixe apresentou um comportamento quadrático  
2895 decrescente (Figura 2). Animais submetidos à restrição alimentar uma vez por semana  
2896 (6DPS) apresentaram compensação total no seu crescimento, enquanto animais  
2897 ligeiramente mais restritos (4DPS e 5DPS) apresentaram compensação parcial muito  
2898 próxima do total (Figura 3). Houve uma correlação positiva entre os níveis de proteína  
2899 bruta do bioflocos e o grau de compensação de crescimento dos animais, onde 70,56%  
2900 do coeficiente de compensação é explicado pelo nível de proteína bruta do bioflocos  
2901 (Figura 4).

2902 Os peixes alimentados ininterruptamente apresentaram elevado índice  
2903 hepatossomático (IHS) ( $P<0,05$ ). Em decorrência do acréscimo de dias de alimentação,  
2904 o índice lipossomático (ILS) e o índice de massa corpórea (IMC) aumentaram até 6  
2905 DPS ( $P<0,05$ ), a partir desse ponto nenhum incremento significativo foi observado. O  
2906 índice viscerossomático não foi influenciado pelos diferentes manejos de alimentação  
2907 ( $P>0,05$ ).

#### 2908 **3.4 Composição centesimal dos peixes e da biomassa microbiana**

2909 Os regimes de alimentação influenciaram a composição corporal dos peixes  
2910 (Tabela 6), exceto o teor de cinzas ( $P>0,05$ ). A partir de 4 DPS, o teor de proteína e  
2911 energia bruta corporal não aumentou em função do acréscimo na oferta diária de  
2912 alimento. O conteúdo lipídico corporal aumentou até 5 DPS, a partir deste ponto  
2913 nenhum acréscimo significativo foi observado. Enquanto, os peixes submetidos a 3 DPS  
2914 apresentaram teor de umidade elevado, em relação àqueles alimentados seis dias por  
2915 semana ( $P<0,05$ ). Os tratamentos exerceram efeito sobre a composição nutricional dos

2916 bioflocos (Tabela 7). Os tratamentos 6 DPS e 7 DPS produziram bioflocos com maior  
2917 teor proteico e energético ( $P<0,05$ ).

### 2918 **3.5 Avaliação econômica**

2919 Na Tabela 8 é apresentada a avaliação econômica referente a produção de mil  
2920 juvenis de tilápias em diferentes estratégias de alimentação. Os custos com alimentação  
2921 foram proporcionais aos dias de alimentação ( $P<0,05$ ). O fornecimento de ração durante  
2922 6 e 7 dias por semana resultou em animais com maior preço de comercialização e  
2923 receita bruta ( $P<0,05$ ). Uma melhor conversão alimentar econômica, margem de lucro  
2924 bruta e rentabilidade foram obtidas quando os animais foram alimentados durante seis  
2925 dias ao longo da semana ( $P<0,05$ ). No entanto, a oferta de alimento durante 4 e 5 dias  
2926 resultou em uma margem de lucro similar a 7 DPS.

### 2927 **3.6. Contagem dos microrganismos**

2928 Os resultados da abundância de zooplâncton durante os 77 dias de ensaio estão  
2929 demonstrados na Figura 5. Os ciliados foram influenciados pelos tratamentos ao longo  
2930 do tempo (Figura 5B), entretanto não foi observada interação entre ambos os parâmetros  
2931 ( $P> 0,05$ ). As maiores concentrações de ciliados ocorreram aos 77 dias, onde a entrada  
2932 de alimento durante 5 dias (5DPS) resultou na concentração de  $5,4 \times 10^3$  ciliados.  $\text{mL}^{-1}$ .  
2933 O tempo e os tratamentos influenciaram a concentração de rotíferos na água (Figura  
2934 5C), e a interação entre esses parâmetros foi significativa ( $P<0,05$ ). Ao longo do tempo  
2935 ocorreu diminuição na concentração de rotíferos nos grupos com o menor aporte de  
2936 alimento (3DPS e 4 DPS), entretanto 5 DPS, apresentou redução na concentração aos 77  
2937 dias. Em contraste, 7 DPS resultou em  $2,0 \times 10^2$  rotíferos.  $\text{mL}^{-1}$  em relação ao grupo com  
2938 menor aporte de nutrientes (3 DPS) ao final do período experimental. A concentração de  
2939 amebas (Figura 5D) não foi influenciada pelos tratamentos ( $P>0,05$ ), mas pelo tempo

2940 apresentando interação significativa entre essas variáveis ( $P < 0,05$ ). Aos 77 dias, um  
2941 maior aporte (7DPS) de alimento resultou em uma concentração de  $3,0 \times 10^2$  amebas.  
2942  $\text{mL}^{-1}$  na água.

#### 2943 **4. Discussão**

2944 Na aquicultura o monitoramento da qualidade de água é condição primordial  
2945 para alcançar bons resultados de crescimento, e manutenção da saúde dos peixes em  
2946 produção. Durante o estudo, os parâmetros de qualidade de água permaneceram dentro  
2947 dos níveis considerados ideais para o crescimento da espécie (El-Sayed, 2006; DeLong,  
2948 Losordo e Rakocy, 2009). A entrada de alimento favoreceu o aumento da biomassa  
2949 microbiana (180 – 270 mg/L de SST), e reduziu timidamente o oxigênio e a  
2950 alcalinidade. A maior presença de sólidos, intensifica a ação oxidante das bactérias  
2951 aeróbias na degradação da matéria orgânica, o que eleva a demanda bioquímica de  
2952 oxigênio. Além disso, o processo de assimilação da amônia pelas bactérias  
2953 heterotróficas consome 4,71 g de oxigênio para cada grama de amônia convertida em  
2954 biomassa microbiana (Ebeling et al., 2006). Por vezes, a demanda microbiana por  
2955 oxigênio pode exceder, o seu consumo pelos organismos criados. Entretanto, os níveis  
2956 de oxigênio permaneceram dentro do preconizado para o crescimento da espécie (El-  
2957 Sayed, 2006; Tran-Duy et al., 2012) sendo um pouco mais elevado em 3DPS.

2958 A depleção da alcalinidade ocorre através da utilização dos carbonatos como  
2959 fonte de carbono inorgânico (3,57g de  $\text{CaCO}_3$  por grama de amônia assimilada) pelas  
2960 bactérias (Ebeling et al., 2006). Em sistemas de troca limitada de água a manutenção da  
2961 alcalinidade entre 100 – 150 mg/L de  $\text{CaCO}_3$  é importante para a ocorrência da  
2962 ciclagem do nitrogênio. Em nosso estudo, o sequestro da amônia pelas bactérias  
2963 heterotróficas, assim como o processo de nitrificação realizado pelas bactérias oxidantes  
2964 de amônia e nitrito (AOB e NOB) foram favorecidos pela manutenção dos níveis de

2965 alcalinidade. A estabilidade na ciclagem do nitrogênio leva a baixa concentração dos  
2966 compostos tóxicos (amônia e nitrito), e conseqüente acúmulo de nitrato no sistema (Luo  
2967 et al., 2020) como ocorreu ao longo do nosso ensaio. No entanto, dentre os compostos  
2968 nitrogenados o nitrato apresenta menor toxicidade aos organismos aquáticos (Luo et al.,  
2969 2020), mesmo em exposição crônica; e em nosso estudo, as concentrações de nitrato  
2970 permaneceram adequadas para a espécie (<500mg/L) (Monsees et al., 2017).

2971 Os níveis de SS e SST foram potencializados pelos dias de alimentação devido  
2972 à maior disposição de substrato para as bactérias heterotróficas. Entretanto, a restrição  
2973 de ração, assim como o hábito alimentar da espécie contribuiu para a manutenção de  
2974 concentrações de sólidos medianas (~ 220 mg/L de SST e ~ 14,5 ml/L de SS). Os  
2975 bioflocos são afetados estruturalmente pela redução da concentração dos sólidos (SS e  
2976 SST) a partir de uma maior ingestão de partículas pelos peixes (3DPS), onde uma  
2977 menor concentração de SS indica a presença de flocos de menor tamanho e com elevada  
2978 porosidade (Yuvarajan, 2021). No processo de melhoria da qualidade de água pela  
2979 imobilização do nitrogênio inorgânico, as novas células bacterianas geradas  
2980 permanecem disponíveis “*in situ*” (Robles-Porchas et al., 2020). Um peixe omnívoro  
2981 filtrador como a tilápia do Nilo (*Oreochromis niloticus*) filtra as partículas de alimento  
2982 presentes na água, e a busca por esse alimento pode ser ativa em períodos de inanição, e  
2983 nessa condição a tilápia reduz a biomassa de fitoplâncton (Menezes et al., 2010; Salazar  
2984 Torres et al., 2016). No sistema BFT, a restrição de ração parece estimular o consumo  
2985 do alimento natural dado o declínio na concentração de sólidos (3 DPS e 4DPS). Esse  
2986 comportamento corrobora os achados de Gallardo-Collí et al., (2020), onde a  
2987 concentração de sólidos foi afetada por ciclos de restrição e realimentação mais  
2988 intensos. A tilápia é considerada um bioclarificador no controle de sólidos em sistemas

2989 multitróficos integrados (Poersch et al., 2021; Poli et al., 2019) pela sua capacidade de  
2990 consumir os bioflocos (Avnimelech, 2007; Azim & Little, 2008; Ekasari et al., 2014).

2991         Esse consumo, alivia a pressão negativa sobre os níveis de oxigênio e  
2992 alcalinidade em ciclos de restrição alimentar mais intensos (3DPS), e reduz a  
2993 abundância de rotíferos. Isso porque a remoção dos sólidos em suspensão reduz  
2994 significativamente a presença de rotíferos e nematoides (Ray et al., 2010). Entretanto, os  
2995 rotíferos atuam consumindo os protozoários ciliados, e podem fragmentar os flocos  
2996 consumindo as bactérias que neles estão aderidas, essa predação exerce regulação sobre  
2997 as populações desses organismos (Monroy-Dosta et al., 2013). Por outro lado, uma  
2998 maior entrada de nutrientes nos grupos 5 DPS, 6 DPS e 7 DPS favoreceu a abundância  
2999 de amebas, especialmente aos 77 dias. Não por acaso, uma maior presença de amebas  
3000 nesses grupos pode estar relacionada com o maior volume dos bioflocos nesse período.  
3001 No processo de remoção biológica do nitrogênio em sistema de lodos ativados, as  
3002 amebas estão presentes nos compartimentos com maior tempo de residência do *sludge* e  
3003 forte oxigenação (Madoni, 2011). Este cenário é idêntico ao *mesocosmo* estabelecido na  
3004 criação em sistema de bioflocos.

3005         Os protozoários são considerados os mais importantes consumidores de  
3006 bactérias (Thompson et al., 2002; Madoni, 2011). O incremento na assembleia de  
3007 ciliados, exerceu uma regulação na densidade de flagelados ao final do ensaio o que  
3008 demonstra a existência de interação trófica entre os organismos nos tanques de criação.  
3009 Contudo, estudos com sucessão de protozoários em lodos ativados mostram que a  
3010 predominância dos flagelados ocorre em estágios iniciais do processo, devido a sua  
3011 baixa necessidade energética (Krummenauer et al., 2020; Madoni, 2011). De fato, em  
3012 nosso estudo um maior predomínio dos flagelados ocorreu entre o sétimo e trigésimo

3013 quinto dia, com redução significativa em 6DPS e 7DPS ao final do ensaio, o que  
3014 coincide com o aumento dos ciliados nesses grupos.

3015 Embora, o estabelecimento de uma teia alimentar microbiana composta por  
3016 uma comunidade de microrganismos ampla e diversa (bactérias, flagelados, ciliados,  
3017 amebas, rotíferos e nematoides) contribua para que os bioflocos sejam ricos em  
3018 nutrientes importantes como proteína, ácidos graxos polinsaturados e compostos  
3019 bioativos (Khanjani and Sharifinia, 2020), uma dieta composta exclusivamente de  
3020 bioflocos não consegue sustentar o desempenho dos peixes (Oliveira et al., 2021). O  
3021 comportamento alimentar dos peixes é estimulado por fatores extrínsecos que impactam  
3022 o crescimento, como a disponibilidade do alimento e sua composição (Assan et al.,  
3023 2021; Silva et al., 2020). Logo, a qualidade do alimento suplementar pode influenciar o  
3024 desempenho dos peixes, ao mesmo tempo que sofre influência direta do manejo  
3025 alimentar (Silva et al., 2020). Na verdade, o maior teor proteico (38,3% PB) e  
3026 energético (2252,8 Kcal.kg<sup>-1</sup>) dos flocos microbianos permite sustentar o crescimento  
3027 dos animais durante a ausência de alimento inerte durante um dia por semana. Em  
3028 contraste, Correa et al (2019) demonstraram ser possível limitar a oferta de alimento aos  
3029 juvenis de tilápia por até 3 dias por semana em BFT. Esse gradiente, pode ser explicado  
3030 pela disposição do sistema em “*macrocosmo-microcosmos*”, onde todos os tratamentos  
3031 estão expostos a mesma concentração de sólidos, e ao mesmo perfil nutricional da  
3032 biomassa microbiana. No sistema estático, o próprio biofloco é modulado pelo manejo  
3033 alimentar, uma vez que em parte este é responsável pela entrada de nutrientes no  
3034 sistema. Logo, é implícito se as baixas concentrações de sólidos em nosso estudo são  
3035 efeito apenas do consumo, ou produto do gradiente de entrada de nutrientes ou ainda  
3036 efeito sinérgico de ambas as situações. *Designs* experimentais em recirculação são  
3037 interessantes pela manutenção dos bioflocos com características semelhantes em todos

3038 os tratamentos, entretanto respostas individuais dos tratamentos sobre a qualidade de  
3039 água, a composição dos agregados e estrutura da comunidade microbiana são perdidas e  
3040 desta forma cuidados devem ser tomados quando se almeja avaliar a alimentação e/ou a  
3041 nutrição de uma dada espécie neste sistema.

3042         Em geral, o processo de alimentação (inerte) é a principal via de obtenção de  
3043 nutrientes para os peixes e camarões em sistemas intensivos. Embora o sistema BFT,  
3044 seja classificado como sistema superintensivo, a biomassa microbiana associada ao  
3045 arraçoamento atuam como vias sinérgicas no processo de alimentação. Após 77 dias, o  
3046 jejum programado (6 DPS) provou ser eficaz, visto que promoveu crescimento similar  
3047 ao manejo alimentar integral. Esse crescimento foi similar ao registrado por Correa et  
3048 al. (2020) para tilápias cultivadas em BFT com água doce após 56 dias de cultivo.  
3049 Frequentemente, é atribuída ao sistema BFT a capacidade de melhorar a conversão  
3050 alimentar, devido a sua contribuição na alimentação dos organismos aquáticos  
3051 (El-Sayed, 2021; Oliveira et al., 2022). Essa tendência também foi observada nos  
3052 animais do grupo 6DPS, onde uma menor quantidade de alimento inerte se traduziu em  
3053 maior eficiência alimentar. Esse grupo demonstra claramente o sinergismo entre  
3054 alimentação adequada e o bioflocos com uma melhor eficiência na utilização do  
3055 alimento, possibilitando a redução de 16.8 pontos percentuais na quantidade de alimento  
3056 a ser ofertado. Esse resultado foi similar ao obtido com juvenis de *Colossoma*  
3057 *macropomum* submetidos ao mesmo tratamento em sistema de recirculação (Assis et al.,  
3058 2020). Por outro lado, uma restrição mais intensa ocasiona piora na conversão  
3059 alimentar, isso porque a eficiência alimentar também é influenciada pelo desequilíbrio  
3060 nutricional na alimentação. Esses animais tiveram seu crescimento deprimido (~10 g),  
3061 em razão da menor quantidade de dias de alimentação associado aos bioflocos com teor  
3062 reduzido de proteína (~24% PB). Esse resultado é similar aos detectados por Oliveira et

3063 al. (2021), os quais sob total ausência de alimento inerte os juvenis de tilápia  
3064 alcançaram 10g de peso final em bioflocos com 34% PB. Esta similaridade entre os  
3065 resultados demonstra que a qualidade nutricional do bioflocos é determinante para  
3066 maximizar a sua contribuição na alimentação dos peixes. Por vezes, os bioflocos  
3067 apresentam deficiências em alguns aminoácidos essenciais, o que pode ser um ponto  
3068 crítico ao atendimento das exigências nutricionais dos organismos aquáticos (Alzate-  
3069 Díaz et al., 2020; Binalshikh-Abubkr et al., 2021). No entanto, sob restrição de alimento  
3070 inerte a curto prazo, a biomassa microbiana apresenta um importante papel na  
3071 manutenção de organismos aquáticos (Lara et al., 2017; Weldon et al., 2021; Oliveira et  
3072 al., 2021).

3073 A alimentação é um sinal externo importante, que pode estimular o  
3074 comportamento alimentar e o crescimento dos peixes (Assan et al., 2021). Hiperfagia é  
3075 descrita como aumento na taxa de consumo do alimento em resposta ao jejum  
3076 (Argüello-Guevara et al., 2018). Este comportamento muitas vezes está acompanhado  
3077 por aceleração no crescimento dos animais, a qual pode gerar ganho compensatório  
3078 resultando em animais com desempenho similar (Ali et al., 2003). No presente ensaio, a  
3079 hiperfagia foi evidenciada pelo incremento gradual na ingestão diária de alimento e pela  
3080 maior taxa de alimentação aparente, ambas em função do aumento na restrição  
3081 alimentar. No entanto, essa resposta não se traduziu em crescimento compensatório nos  
3082 grupos mais restritos; esse comportamento em partes pode ser explicado pela  
3083 intensidade da restrição (Py et al., 2022) e pela qualidade nutricional dos bioflocos,  
3084 visto que dietas com qualidade inferior promovem regulação negativa das funções  
3085 intestinais, em especial após períodos de jejum (Zaldúa and Naya, 2014). Nossos  
3086 resultados demonstram que a restrição alimentar de curto prazo (1 dia por semana),  
3087 promoveu crescimento compensatório total visto a equivalência de desempenho entre o

3088 grupo 6DPS e 7DPS. Embora ambos os grupos tenham menor taxa de alimentação  
3089 aparente (2,36 e 2,18% da biomassa/dia), os juvenis foram mais eficientes em direcionar  
3090 o alimento para a síntese proteica. No entanto, o gradiente proteico dos bioflocos  
3091 limitou a capacidade de compensação dos grupos 4DPS e 5DPS (figura 4).

3092           Em decorrência das alterações na dieta e no manejo alimentar, o tamanho da  
3093 estrutura hepática dos peixes pode variar (Sgnaulin et al., 2020; Silva et al., 2020). Em  
3094 nosso estudo, o índice hepatossomático declinou com a intensidade do jejum, esse  
3095 comportamento também foi verificado em diferentes espécies (Abdel-Tawwab et al.,  
3096 2006; Barcellos et al., 2010; Pérez-jiménez et al., 2007). Essa diminuição da estrutura  
3097 hepática pode estar relacionada à mobilização dos carboidratos armazenados no fígado  
3098 na forma de glicogênio (Barcellos et al., 2010), sendo o primeiro substrato usado como  
3099 fonte de energia. Por outro lado, nos grupos 6DPS e 7DPS um maior índice  
3100 hepatossomático evidencia que esses juvenis estão mais bem nutridos. Corroborando  
3101 com os resultados obtidos com o índice hepatossomático, a alimentação exógena  
3102 fornecida integralmente (7 dias/semana) proporcionou maior acúmulo de gordura  
3103 visceral nos peixes. Esse comportamento demonstra um possível desequilíbrio na  
3104 alimentação *ex situ*, associada a maior disponibilidade de alimento *in situ* com elevado  
3105 teor proteico (~ 40% PB). O acúmulo de gordura na cavidade celomática dos peixes  
3106 pode ser favorecido por um processo de superalimentação. Contudo, a redução  
3107 gradativa na oferta de alimento mobiliza as reservas energéticas do animal para a  
3108 manutenção do seu metabolismo basal. Ainda que, a presença da biomassa microbiana  
3109 estabeleça um cenário de inanição parcial, há um desequilíbrio entre síntese e  
3110 degradação dos tecidos que impede o acúmulo de reservas energéticas, uma vez que os  
3111 bioflocos tem caráter de suplementação alimentar. Em verdade, a composição proteica  
3112 dos bioflocos é muito variável (24 – 40% PB), e pode apresentar deficiência em seu

3113 perfil aminoacídico (Khanjani et al., 2023); além disso os bioflocos em geral são pobres  
3114 em lipídios (Khanjani et al., 2023), essas características podem representar um fator  
3115 limitante para o processo de síntese tecidual, visto que em sua totalidade não fornecem  
3116 todos os nutrientes necessários para suprir as exigências nutricionais dos peixes.

3117 Mesmo apresentando uma abordagem ambientalmente mais amigável em  
3118 relação ao uso da água, os custos operacionais do sistema de bioflocos ainda  
3119 comprometem a sua aplicação na criação de tilápia. No entanto, considerando apenas os  
3120 custos com a alimentação na fase de berçário e pré-recria nossos resultados demonstram  
3121 a viabilidade da criação de tilápia combinando restrição alimentar um dia por semana  
3122 com biomassa microbiana “*in situ*” e seu potencial para redução de até 26,8 pontos  
3123 percentuais nos custos referentes a alimentação. Um dos pontos-chaves no mercado de  
3124 produção de tilápia consiste na disponibilidade dos juvenis, e esse aspecto é importante  
3125 a fim de evitar a descontinuidade da cadeia produtiva. Em especial, em regiões com  
3126 climas temperados e/ou onde a criação de tilápia ocorre em tanques-rede a oferta de  
3127 juvenis entre 30 e 50 g aproximadamente é interessante para reduzir o tempo do ciclo de  
3128 produção. Há um grande potencial no sistema BFT para produzir e manter esses animais  
3129 durante a fase de berçário, apoiado a menor exigência de recursos como água, área  
3130 disponível, redução de custo com alimentação e mão-de-obra. Entre as estratégias de  
3131 manejo adotadas, suspender a alimentação uma vez por semana incrementa a margem  
3132 de lucro bruta em 17 pontos percentuais. No entanto, esses indicadores econômicos  
3133 podem mudar em função da região, preço de obtenção do alimento e dos juvenis.

## 3134 **5. Conclusão**

3135 Nossos resultados demonstram ser possível utilizar o sistema BFT na  
3136 manutenção estratégica de estoques de juvenis de tilápia. Reforçam a proposição de que  
3137 a biomassa microbiana atua como importante suplemento alimentar para a tilápia na

3138 fase inicial, oferecendo suporte na ausência de alimento inerte quando em períodos  
3139 curtos de jejum. Entretanto, a qualidade nutricional dos bioflocos é diretamente afetada  
3140 pela estratégia de manejo alimentar empregada, que neste estudo demonstrou influir  
3141 também na compensação de crescimento em manejos ligeiramente mais restritos.  
3142 Durante o berçário e a pré-recria, ciclos curtos de restrição alimentar podem ser  
3143 aplicados para reduzir custos com alimentação (26,8 pontos percentuais). Logo, em  
3144 sistema BFT torna-se factível restringir a alimentação dos juvenis uma vez por semana  
3145 com resultados positivos sobre o desempenho dos animais.

#### 3146 **Declaração de contribuição de autoria**

3147 **Luciana Kelly Oliveira:** Conceituação, Metodologia, Visualização, Investigação,  
3148 Curadoria de dados, Análise formal, Redação – rascunho original, Redação – revisão e  
3149 edição. **Dariano Krumennauer:** Redação – revisão e edição. **Wilson Wasielesky:**  
3150 Redação – revisão e edição. **Marcelo Borges Tesser:** Supervisão, Administração do  
3151 projeto, Redação – revisão e edição, Captação de recursos.

#### 3152 **Declaração de Interesse Concorrente**

3153 Os autores declaram que não têm interesses financeiros concorrentes conhecidos ou  
3154 relacionamentos pessoais que possam parecer influenciar o trabalho relatado neste  
3155 artigo.

#### 3156 **Disponibilidade de dados**

3157 Os dados serão disponibilizados mediante solicitação.

#### 3158 **Agradecimentos**

3159 O primeiro autor agradece à Coordenação de Aperfeiçoamento de Pessoal de  
3160 Nível Superior – Brasil (CAPES) pela concessão da bolsa de doutorado (Código

3161 Financeiro 001). Wasielesky, W. e Tesser, M. B. são bolsistas de produtividade do  
3162 Conselho Nacional de Desenvolvimento Científico e Tecnológico – Brasil (CNPq) sob  
3163 os processos nº: 310652/2017-0 e PQ 304474/2020-7, respectivamente.

#### 3164 **Referências**

3165 Abdel-Tawwab, M., Khattab, Y.A.E., Ahmad, M.H., Shalaby, A.M.E., 2006.  
3166 Compensatory Growth, Feed Utilization, Whole-Body Composition, and  
3167 Hematological Changes in Starved Juvenile Nile Tilapia, *Oreochromis niloticus*  
3168 (L.). Journal of Applied Aquaculture 18, 17–36.

3169 [https://doi.org/http://dx.doi.org/10.1300/J028v18n03\\_02](https://doi.org/http://dx.doi.org/10.1300/J028v18n03_02)

3170 Ali, M., Nieceza, A., Wootton, R., 2003. Compensatory growth in fishes. Fish and  
3171 fishries 4, 147–190.

3172 Alzate-Díaz, H.A., Ramírez, A.P.M., Emerenciano, M.G.C., Carrasco, S.C.P., 2020.  
3173 Organoleptic and nutritional characteristics of fillets of pirapitinga fed different  
3174 protein sources in a biofloc system. Pesquisa Agropecuária Brasileira 55, 2020.

3175 <https://doi.org/10.1590/s1678-3921.pab2020.v55.01795>

3176 Aminot, A., Chausseple, M., 1983. Manuel des analyses chimiques en milieu marin.  
3177 CNEXO, Paris.

3178 APHA, A.P.H.A., 2012. Standard methods for the examination of water and  
3179 wastewater, 22 ed. ed. American Public Health Association, Washington, DC.

3180 Argüello-Guevara, W., Apolinario, W., Bohórquez-Cruz, M., Reinoso, S., Rodríguez,  
3181 S., Sonnenholzner, S., 2018. Effects of intermittent feeding on water quality, skin  
3182 parasites, feed consumption, and growth performance of juvenile longfin yellowtail  
3183 *Seriola rivoliana* (Valenciennes, 1833). Aquaculture Research 49, 3586–3594.

- 3184 <https://doi.org/10.1111/are.13825>
- 3185 Assan, D., Huang, Y., Mustapha, U.F., Addah, M.N., Li, G., Chen, H., 2021. Fish Feed  
3186 Intake, Feeding Behavior, and the Physiological Response of Apelin to Fasting and  
3187 Refeeding. *Frontiers in Endocrinology* 12, 1–12.
- 3188 <https://doi.org/10.3389/fendo.2021.798903>
- 3189 Assis, Y.P.A.S., de Assis Porto, L., de Melo, N.F.A.C., Palheta, G.D.A., Luz, R.K.,  
3190 Favero, G.C., 2020. Feed restriction as a feeding management strategy in  
3191 *Colossoma macropomum* juveniles under recirculating aquaculture system (RAS).  
3192 *Aquaculture* 529, 735689.
- 3193 <https://doi.org/10.1016/j.aquaculture.2020.735689>
- 3194 Attia, J., Millot, S., Di-Poï, C., Bégout, M.-L., Noble, C., Sanchez-Vazquez, F.J.,  
3195 Terova, G., Saroglia, M., Damsgård, B., 2012. Demand feeding and welfare in  
3196 farmed fish. *Fish Physiology and Biochemistry* 38, 107–118.
- 3197 <https://doi.org/10.1007/s10695-011-9538-4>
- 3198 Avnimelech, Y., 2007. Feeding with microbial flocs by tilapia in minimal discharge  
3199 bio-flocs technology ponds. *Aquaculture* 264, 140–147.
- 3200 <https://doi.org/10.1016/j.aquaculture.2006.11.025>
- 3201 Avnimelech, Y., 1999. Carbon/nitrogen ratio as a control element in aquaculture  
3202 systems. *Aquaculture* 176, 227–235.
- 3203 [https://doi.org/10.1016/S0044-8486\(99\)00085-X](https://doi.org/10.1016/S0044-8486(99)00085-X)
- 3204 Barcellos, L.J.G., Marqueze, A., Trapp, M., Quevedo, R.M., Ferreira, D., 2010. The  
3205 effects of fasting on cortisol, blood glucose and liver and muscle glycogen in adult

- 3206 jundiá *Rhamdia quelen*. Aquaculture 300, 231–236.  
3207 <https://doi.org/10.1016/j.aquaculture.2010.01.013>
- 3208 Binalshikh-Abubkr, T., Hanafiah, M.M., Das, S.K., 2021. Marine Science and  
3209 Engineering Proximate Chemical Composition of Dried Shrimp and Tilapia Waste  
3210 Bioflocs Produced by Two Drying Methods.  
3211 <https://doi.org/10.3390/jmse9020193>
- 3212 Chahid, A., N'Doye, I., Majoris, J.E., Berumen, M.L., Laleg-Kirati, T.M., 2021. Model  
3213 predictive control paradigms for fish growth reference tracking in precision  
3214 aquaculture. Journal of Process Control 105, 160–168.  
3215 <https://doi.org/10.1016/j.jprocont.2021.07.015>
- 3216 Correa, A. de S., Pinho, S.M., Molinari, D., Pereira, K. da R., Gutiérrez, S.M., Monroy-  
3217 Dosta, M. del C., Emerenciano, M.G.C., 2020. Rearing of Nile tilapia  
3218 (*Oreochromis niloticus*) juveniles in a biofloc system employing periods of feed  
3219 deprivation. Journal of Applied Aquaculture 32, 139–156.  
3220 <https://doi.org/10.1080/10454438.2019.1679319>
- 3221 Dauda, A.B., 2020. Biofloc technology: a review on the microbial interactions,  
3222 operational parameters and implications to disease and health management of  
3223 cultured aquatic animals. Reviews in Aquaculture 12, 1193–1210.  
3224 <https://doi.org/10.1111/raq.12379>
- 3225 Ebeling, J.M., Timmons, M.B., Bisogni, J.J., 2006. Engineering analysis of the  
3226 stoichiometry of photoautotrophic, autotrophic, and heterotrophic removal of  
3227 ammonia–nitrogen in aquaculture systems. Aquaculture 257, 346–358.  
3228 <https://doi.org/10.1016/j.aquaculture.2006.03.019>

- 3229 Ekasari, J., Angela, D., Waluyo, S.H., Bachtiar, T., Surawidjaja, E.H., Bossier, P., De  
3230 Schryver, P., 2014. The size of biofloc determines the nutritional composition and  
3231 the nitrogen recovery by aquaculture animals. *Aquaculture* 426–427, 105–111.  
3232 <https://doi.org/10.1016/j.aquaculture.2014.01.023>
- 3233 El-Sayed, A.F.M., 2006. *Tilapia culture*, *Tilapia culture*. CABI Publishing, UK, UK.  
3234 <https://doi.org/10.1079/9780851990149.0000>
- 3235 El-Sayed, A.M., 2021. Use of biofloc technology in shrimp aquaculture: a  
3236 comprehensive review, with emphasis on the last decade. *Reviews in Aquaculture*  
3237 13, 676–705. <https://doi.org/10.1111/raq.12494>
- 3238 Favero, G.C., Boaventura, T.P., Ferreira, A.L., Silva, A.C.F., Porto, L.A., Luz, R.K.,  
3239 2019. Fasting/re-feeding and water temperature promote the mobilization of body  
3240 reserves in juvenile freshwater carnivorous catfish *Lophiosilurus alexandri*.  
3241 *Aquaculture* 511, 734223.  
3242 <https://doi.org/10.1016/j.aquaculture.2019.734223>
- 3243 Gallardo-Collí, A., Pérez-Fuentes, M., Pérez-Rostro, C.I., Hernández-Vergara, M.P.,  
3244 2020. Compensatory growth of Nile tilapia *Oreochromis niloticus*, L. subjected to  
3245 cyclic periods of feed restriction and feeding in a biofloc system. *Aquaculture*  
3246 *Research* 51, 1813–1823.  
3247 <https://doi.org/10.1111/are.14530>
- 3248 Gao, Y., Lee, J.Y., 2012. Compensatory responses of Nile tilapia *Oreochromis niloticus*  
3249 under different feed-deprivation regimes. *Fisheries and Aquatic Sciences* 15, 305–  
3250 311. <https://doi.org/10.5657/FAS.2012.0305>
- 3251 García-Robledo, E., Corzo, A., Papaspyrou, S., 2014. A fast and direct

3252 spectrophotometric method for the sequential determination of nitrate and nitrite at  
3253 low concentrations in small volumes. *Marine Chemistry* 162, 30–36.  
3254 <https://doi.org/10.1016/j.marchem.2014.03.002>

3255 Haridas, H., Chadha, N.K., Sawant, P.B., Deo, A.D., Ande, M.P., Syamala, K.,  
3256 Sontakke, R., Lingam, S.S., 2021. Growth performance, digestive enzyme activity,  
3257 non-specific immune response and stress enzyme status in early stages of grey  
3258 mullet reared in a biofloc system. *Aquaculture Research* 52, 4923–4933.  
3259 <https://doi.org/10.1111/are.15326>

3260 Jafari, N., Falahatkar, B., Sajjadi, M.M., 2019. The effect of feeding strategies and body  
3261 weight on growth performance and hematological parameters of Siberian sturgeon  
3262 (*Acipenser baerii* , Brandt 1869): Preliminary results. *Journal of Applied*  
3263 *Ichthyology* 35, 289–295. <https://doi.org/10.1111/jai.13824>

3264 Jobling, M., Meløy, O.H., dos Santos, J., Christiansen, B., 1994. The compensatory  
3265 growth response of the Atlantic cod: effects of nutritional history. *Aquaculture*  
3266 *International: Journal of the European Aquaculture Society* 2, 75–90.  
3267 <https://doi.org/10.1007/BF00128802>

3268 Khanjani, M.H., Mozanzadeh, M.T., Sharifinia, M., Emerenciano, M.G.C., 2023.  
3269 Biofloc: A sustainable dietary supplement, nutritional value and functional  
3270 properties. *Aquaculture* 562, 738757.  
3271 <https://doi.org/10.1016/j.aquaculture.2022.738757>

3272 Khanjani, M.H., Sharifinia, M., 2020. Biofloc technology as a promising tool to  
3273 improve aquaculture production. *Reviews in Aquaculture*.  
3274 <https://doi.org/10.1111/raq.12412>

- 3275 Khanjani, M.H., Sharifinia, M., Hajirezaee, S., 2022. Recent progress towards the  
3276 application of biofloc technology for tilapia farming. *Aquaculture* 552, 738021.  
3277 <https://doi.org/10.1016/j.aquaculture.2022.738021>
- 3278 Krummenauer, D., Abreu, P.C., Poersch, L., Reis, P.A.C.P., Suita, S.M., dos Reis,  
3279 W.G., Wasielesky, W., 2020. The relationship between shrimp (*Litopenaeus*  
3280 *vannamei*) size and biofloc consumption determined by the stable isotope  
3281 technique. *Aquaculture* 529, 735635.  
3282 <https://doi.org/10.1016/j.aquaculture.2020.735635>
- 3283 Krummenauer, D., Samocha, T., Poersch, L., Lara, G., Wasielesky, W., 2014. The  
3284 Reuse of Water on the Culture of Pacific White Shrimp, *Litopenaeus vannamei* , in  
3285 BFT System. *Journal of the World Aquaculture Society* 45, 3–14.  
3286 <https://doi.org/10.1111/jwas.12093>
- 3287 Lara, G., Honda, M., Poersch, L., Wasielesky, W., 2017. The use of biofilm and  
3288 different feeding rates in biofloc culture system: the effects in shrimp growth  
3289 parameters. *Aquaculture International* 25, 1959–1970.  
3290 <https://doi.org/10.1007/s10499-017-0151-0>
- 3291 Luo, G., Xu, J., Meng, H., 2020. Nitrate accumulation in biofloc aquaculture systems.  
3292 *Aquaculture* 520, 734675. <https://doi.org/10.1016/j.aquaculture.2019.734675>
- 3293 Madoni, P., 2011. Protozoa in wastewater treatment processes: A minireview. *Italian*  
3294 *Journal of Zoology* 78, 3–11. <https://doi.org/10.1080/11250000903373797>
- 3295 Manduca, L.G., Silva, M.A. da, Alvarenga, É.R. de, Alves, G.F. de O., Ferreira, N.H.,  
3296 Teixeira, E. de A., Fernandes, A.F.A., Silva, M. de A. e., Turra, E.M., 2021.  
3297 Effects of different stocking densities on Nile tilapia performance and profitability

- 3298 of a biofloc system with a minimum water exchange. *Aquaculture* 530, 735814.  
3299 <https://doi.org/10.1016/j.aquaculture.2020.735814>
- 3300 Mattila, J., Koskela, J., Pirhonen, J., 2009. The effect of the length of repeated feed  
3301 deprivation between single meals on compensatory growth of pikeperch *Sander*  
3302 *lucioperca*. *Aquaculture* 296, 65–70.  
3303 <https://doi.org/10.1016/j.aquaculture.2009.07.024>
- 3304 McCue, M.D., 2010. Starvation physiology: Reviewing the different strategies animals  
3305 use to survive a common challenge. *Comparative Biochemistry and Physiology - A*  
3306 *Molecular and Integrative Physiology* 156, 1–18.  
3307 <https://doi.org/10.1016/j.cbpa.2010.01.002>
- 3308 Menezes, R.F., Attayde, J.L., Rivera Vasconcelos, F., 2010. Effects of omnivorous  
3309 filter-feeding fish and nutrient enrichment on the plankton community and water  
3310 transparency of a tropical reservoir. *Freshwater Biology* 55, 767–779.  
3311 <https://doi.org/10.1111/J.1365-2427.2009.02319.X>
- 3312 Mohlman, F.W., 1934. The sludge index. *Sewage Works Journal* 6, 119–122.  
3313 <https://doi.org/10.2307/25028375>
- 3314 Monroy-Dosta, M.C., de Lara, R., Castro-Mejía, J., Castro-Mejía, G., Coelho-  
3315 Emerenciano, M.G., 2013. Microbiology community composition and abundance  
3316 associated to biofloc in tilapia aquaculture | Composición y abundancia de  
3317 comunidades microbianas asociados al biofloc en un cultivo de tilapia. *Revista de*  
3318 *Biología Marina y Oceanografía* 48, 511–520.
- 3319 Monsees, H., Klatt, L., Kloas, W., Wuertz, S., 2017. Chronic exposure to nitrate  
3320 significantly reduces growth and affects the health status of juvenile Nile tilapia

3321 (*Oreochromis niloticus* L.) in recirculating aquaculture systems. *Aquaculture*  
3322 Research 48, 3482–3492. <https://doi.org/10.1111/are.13174>

3323 Nebo, C., Gimbo, R.Y., Kojima, J.T., Overturf, K., Dal-Pai-Silva, M., Portella, M.C.,  
3324 2018. Depletion of stored nutrients during fasting in Nile tilapia (*Oreochromis*  
3325 *niloticus*) juveniles. *Journal of Applied Aquaculture* 30, 157–173.  
3326 <https://doi.org/10.1080/10454438.2017.1420516>

3327 NRC, N.R.C., 2011. Nutrients requirements of fish and shrimp. The National  
3328 Academies Press, Washington, D.C.

3329 Oliveira, L.K., Pilz, L., Furtado, P.S., Ballester, E.L.C., Bicudo, Á.J. de A., 2021.  
3330 Growth, nutritional efficiency, and profitability of juvenile GIFT strain of Nile  
3331 tilapia (*Oreochromis niloticus*) reared in biofloc system on graded feeding rates.  
3332 *Aquaculture* 541. <https://doi.org/10.1016/j.aquaculture.2021.736830>

3333 Oliveira, L.K., Wasielesky, W., Tesser, M.B., 2022. Fish culture in biofloc technology  
3334 (BFT): Insights on stocking density carbon sources, C/N ratio, fish nutrition and  
3335 health. *Aquaculture and Fisheries*. <https://doi.org/10.1016/j.aaf.2022.08.010>

3336 Pérez-jiménez, A., Guedes, M.J., Morales, A.E., Oliva-teles, A., 2007. Metabolic  
3337 responses to short starvation and refeeding in *Dicentrarchus labrax* . Effect of  
3338 dietary composition 265, 325–335.  
3339 <https://doi.org/10.1016/j.aquaculture.2007.01.021>

3340 Poersch, L., Brunson, J., Gaona, C.A.P., Stokes, A., Richardson, J., Pitts, K., Leffler, J.,  
3341 2021. Pacific white shrimp, red drum, and tilapia integrated in a biofloc system:  
3342 Use of tilapia as a consumer of total suspended solids. *Journal of the World*  
3343 *Aquaculture Society* 52, 1168–1177. <https://doi.org/10.1111/JWAS.12832>

- 3344 Poli, M.A., Legarda, E.C., de Lorenzo, M.A., Pinheiro, I., Martins, M.A., Seiffert,  
3345 W.Q., do Nascimento Vieira, F., 2019. Integrated multitrophic aquaculture applied  
3346 to shrimp rearing in a biofloc system. *Aquaculture* 511.  
3347 <https://doi.org/10.1016/j.aquaculture.2019.734274>
- 3348 Py, C., Elizondo-González, R., Peña-Rodríguez, A., 2022. Compensatory growth:  
3349 Fitness cost in farmed fish and crustaceans. *Reviews in Aquaculture* 14, 1389–  
3350 1417. <https://doi.org/10.1111/raq.12656>
- 3351 Ray, A.J., Seaborn, G., Leffler, J.W., Wilde, S.B., Lawson, A., Browdy, C.L., 2010.  
3352 Characterization of microbial communities in minimal-exchange, intensive  
3353 aquaculture systems and the effects of suspended solids management.  
3354 <https://doi.org/10.1016/j.aquaculture.2010.10.019>
- 3355 Robles-Porchas, G.R., Gollas-Galván, T., Martínez-Porchas, M., Martínez-Cordova,  
3356 L.R., Miranda-Baeza, A., Vargas-Albores, F., 2020. The nitrification process for  
3357 nitrogen removal in biofloc system aquaculture. *Reviews in Aquaculture* 12, 2228–  
3358 2249. <https://doi.org/10.1111/raq.12431>
- 3359 Sakyi, M.E., Cai, J., Tang, J., Xia, L., Li, P., Delwin Abarike, E., Kofi, F., Kuebutornye,  
3360 A., Jian, J., 2019. Short term starvation and re-feeding in Nile tilapia (*Oreochromis*  
3361 *niloticus*, Linnaeus 1758): Growth measurements, and immune responses.  
3362 <https://doi.org/10.1016/j.aqrep.2019.100261>
- 3363 Salazar Torres, G., Silva, L.H.S., Rangel, L.M., Attayde, J.L., Huszar, V.L.M., 2016.  
3364 Cyanobacteria are controlled by omnivorous filter-feeding fish (Nile tilapia) in a  
3365 tropical eutrophic reservoir. *Hydrobiologia* 765, 115–129.  
3366 <https://doi.org/10.1007/s10750-015-2406-y>
- 3367 Sgnaulin, T., Durigon, E.G.E.G., Pinho, S.M.S.M., Jerônimo, G.T.G.T., Lopes,

3368 D.L.D.A.D.L. de A., Emerenciano, M.G.C.M.G.C., 2020. Nutrition of Genetically  
3369 Improved Farmed Tilapia (GIFT) in biofloc technology system: Optimization of  
3370 digestible protein and digestible energy levels during nursery phase. Aquaculture  
3371 521. <https://doi.org/10.1016/j.aquaculture.2020.734998>

3372 Silva, M.A., Alvarenga, É.R., Costa, F.F.B. da, Turra, E.M., Alves, G.F. de O.,  
3373 Manduca, L.G., Sales, S.C.M., Leite, N.R., Bezerra, V.M., Moraes, S.G. da S.,  
3374 Teixeira, E. de A., 2020. Feeding management strategies to optimize the use of  
3375 suspended feed for Nile tilapia ( *Oreochromis niloticus* ) cultivated in bioflocs.  
3376 Aquaculture Research 51, 605–615. <https://doi.org/10.1111/are.14408>

3377 Smith, P., Coackley, P., 1984. Diffusivity, tortuosity and pore structure of activated  
3378 sludge. Water Research 18, 117–122. [https://doi.org/10.1016/0043-](https://doi.org/10.1016/0043-1354(84)90056-3)  
3379 [1354\(84\)90056-3](https://doi.org/10.1016/0043-1354(84)90056-3)

3380 Strickland, J.D.H., Parsons, T.R., 1972. A Practical Handbook of seawater analysis, 2nd  
3381 ed, Fisheries research board of Canada. Ottawwa.

3382 Thompson, F.L., Abreu, P.C., Wasielesky, W., 2002. Importance of Biofilm for Water  
3383 Quality and Nourishment in Intensive Shrimp Culture. Aquaculture 203(3-4): .  
3384 Aquaculture 203, 263–278.

3385 Tran-Duy, A., van Dam, A.A., Schrama, J.W., 2012. Feed intake, growth and  
3386 metabolism of Nile tilapia (*Oreochromis niloticus*) in relation to dissolved oxygen  
3387 concentration. Aquaculture Research 43, 730–744. [https://doi.org/10.1111/j.1365-](https://doi.org/10.1111/j.1365-2109.2011.02882.x)  
3388 [2109.2011.02882.x](https://doi.org/10.1111/j.1365-2109.2011.02882.x)

3389 UNESCO, 1983. Chemical methods for use in marine environmental monitoring,  
3390 Intergovernmental Oceanographic commission - Manuals and guides 12.

- 3391 Van Rijn, J., 2013. Waste treatment in recirculating aquaculture systems. *Aquacultural*  
3392 *Engineering* 53, 49–56. <https://doi.org/10.1016/j.aquaeng.2012.11.010>
- 3393 Weldon, A., Davis, D.A., Rhodes, M., Reis, J., Stites, W., Ito, P., 2021. Feed  
3394 management of *Litopenaeus vannamei* in a high density biofloc system.  
3395 *Aquaculture* 544, 737074.  
3396 <https://doi.org/10.1016/J.AQUACULTURE.2021.737074>
- 3397 World Health Organization international reference center, 1978. *Methods of Analysis of*  
3398 *Sewage Sludge Solid Waste and Compost*. Switzerland.
- 3399 Yuvarajan, P., 2021. Study on floc characteristics and bacterial count from biofloc-  
3400 based genetically improved farmed tilapia culture system. *Aquaculture Research*  
3401 52, 1743–1756. <https://doi.org/10.1111/are.15030>
- 3402 Zaldúa, N., Naya, D.E., 2014. Digestive flexibility during fasting in fish: A review.  
3403 *Comparative Biochemistry and Physiology - A Molecular and Integrative*  
3404 *Physiology* 169, 7–14. <https://doi.org/10.1016/j.cbpa.2013.12.006>

3405 **ANEXO I - TABELAS**

3406 Tabela 1: Ciclos alimentares de restrição de curto prazo durante o cultivo de  
 3407 juvenis de tilápia do Nilo (*Oreochromis niloticus*) em sistema de bioflocos

Dias de alimentação/semana		Dias de ausência de alimento
3 DPS	Segunda, Terça e Quarta	Quinta, Sexta, Sábado e Domingo
4 DPS	Segunda, Terça, Quarta e Quinta	Sexta, Sábado e Domingo
5 DPS	Segunda, Terça, Quarta, Quinta e Sexta	Sábado e Domingo
6 DPS	Segunda, Terça, Quarta, Quinta, Sexta e Sábado	Domingo
7 DPS	Segunda, Terça, Quarta, Quinta, Sexta, Sábado e Domingo	*

3408 DPS – dias por semana; \* peixes alimentados durante toda semana

3409

3410

3411

3412

3413 Tabela 2: Parâmetros físico e químicos da água durante a criação juvenis de tilápia do Nilo (*Oreochromis niloticus*) sob  
 3414 ciclos de restrição alimentar em sistema de bioflocos (BFT).

3415	Dias de alimentação					<i>P</i> - valor	
	3 DPS	4 DPS	5 DPS	6 DPS	7 DPS		
3416	Temperatura (°C)	28,1 ± 0,14	28,2 ± 0,14	28,2 ± 0,10	28,2 ± 0,09	28,2 ± 0,08	0,2141
	OD (mg/L)	7,01 ± 0,08 <sup>a</sup>	6,76 ± 0,18 <sup>b</sup>	6,80 ± 0,17 <sup>b</sup>	6,79 ± 0,16 <sup>b</sup>	6,79 ± 0,14 <sup>b</sup>	0,0009
3417	pH	8,06 ± 0,18	7,92 ± 0,30	7,85 ± 0,31	7,84 ± 0,32	7,84 ± 0,33	0,3569
	Alcalinidade (mg CaCO <sub>3</sub> /L)	167,3 ± 33,6 <sup>a</sup>	150,6 ± 21,0 <sup>ab</sup>	137,4 ± 15,7 <sup>b</sup>	133,8 ± 15,4 <sup>b</sup>	138,4 ± 14,7 <sup>b</sup>	0,0072
3418	N – AT (mg/L)	0,10 ± 0,07	0,11 ± 0,11	0,12 ± 0,12	0,18 ± 0,28	0,17 ± 0,24	0,8986
	N – NO <sub>2</sub> (mg/L)	1,34 ± 2,11	1,79 ± 2,46	1,98 ± 2,93	1,83 ± 2,61	1,60 ± 2,41	0,9850
3419	N – NO <sub>3</sub> (mg/L)	108,73 ± 84,58	100,97 ± 67,17	130,67 ± 98,09	123,42 ± 86,35	134,65 ± 89,42	0,7940
	P – PO <sub>4</sub> <sup>3-</sup> (mg/L)	7,97 ± 2,97	9,28 ± 5,02	10,40 ± 6,50	9,89 ± 5,20	10,38 ± 5,48	0,7240

3420 DPS – dias por semana; OD – oxigênio dissolvido.

3421 \*Médias seguidas por letras diferentes, na mesma linha, apresentam diferença significativa pelo teste de Tukey (P < 0,05).

3422

3423

3424

3425

3426

3427

3428 Tabela 3: Características dos bioflocos durante a criação de juvenis de tilápia do Nilo (*Oreochromis niloticus*) sob ciclos de restrição alimentar  
 3429 em sistema de bioflocos (BFT)

	Dias de alimentação					<i>P</i> - valor
	3 DPS	4 DPS	5 DPS	6 DPS	7 DPS	
SST (mg/L)	182,76 ± 83,58 <sup>b</sup>	192,87 ± 89,67 <sup>b</sup>	210,46 ± 106,34 <sup>ab</sup>	250,27 ± 147,60 <sup>ab</sup>	269,87 ± 160,47 <sup>a</sup>	0,0040
SS (ml/L)	7,96 ± 4,85 <sup>b</sup>	11,02 ± 7,32 <sup>ab</sup>	11,73 ± 8,81 <sup>ab</sup>	16,77 ± 16,01 <sup>a</sup>	25,12 ± 82,78 <sup>a</sup>	<0,0010
Porosidade (%)	99,21 ± 0,49 <sup>a</sup>	98,90 ± 0,74 <sup>ab</sup>	98,84 ± 0,89 <sup>ab</sup>	98,33 ± 1,61 <sup>b</sup>	97,21 ± 10,46 <sup>b</sup>	<0,0010
IFV	43,74 ± 20,96	64,20 ± 52,08	55,20 ± 38,37	70,93 ± 91,88	97,21 ± 10,46	0,1342
IDF	3,05 ± 2,14	2,42 ± 1,75	2,54 ± 1,59	2,52 ± 2,10	2,93 ± 3,64	0,1377
Turbidez (NTU)	102,28 ± 68,44	100,60 ± 76,35	102,17 ± 82,56	121,07 ± 97,73	146,18 ± 115,13	0,3038

3430 DPS – dias por semana; SST – Sólidos suspensos totais; SS – Sólidos sedimentáveis; IFV – Índice do volume do floco;

3431 IDF – Índice de densidade do floco

3432 \*Médias seguidas por letras diferentes, na mesma linha, apresentam diferença significativa pelo teste de Tukey ( $p < 0,05$ ).

3433

3434

3435

3436

3437

3438

3439

3440

3441 Tabela 4: Performance produtiva de juvenis de tilapia do tilapia do Nilo (*Oreochromis niloticus*) sob ciclos de restrição alimentar em  
 3442 sistema de bioflocos (BFT)

3443	Dias de alimentação					<i>P</i> – valor	
3444	3 DPS	4 DPS	5 DPS	6 DPS	7 DPS		
3444	Peso inicial (g)	0,42 ± 0,02	0,42 ± 0,01	0,42 ± 0,01	0,42 ± 0,02	0,42 ± 0,01	0,9993
3445	Peso final (g)	10,81 ± 0,17 <sup>c</sup>	23,06 ± 0,67 <sup>b</sup>	29,62 ± 2,76 <sup>b</sup>	38,52 ± 5,22 <sup>a</sup>	45,34 ± 3,22 <sup>a</sup>	<0,0001
	Ganho de peso (g)	10,39 ± 0,17 <sup>c</sup>	22,64 ± 0,67 <sup>b</sup>	29,20 ± 2,76 <sup>b</sup>	38,10 ± 5,28 <sup>a</sup>	44,92 ± 3,22 <sup>a</sup>	<0,0001
3446	Unidade térmica de crescimento	0,30 ± 0,01 <sup>d</sup>	0,44 ± 0,00 <sup>c</sup>	0,49 ± 0,01 <sup>b</sup>	0,54 ± 0,02 <sup>a</sup>	0,57 ± 0,01 <sup>a</sup>	<0,0001
	Taxa de sobrevivência (%)	94,7 ± 2,30	97,0 ± 2,60	96,7 ± 2,90	93,0 ± 6,10	87,7 ± 2,10	0,6730
3447	Produtividade (kg.m <sup>-3</sup> )	2,50 ± 0,13 <sup>d</sup>	5,57 ± 0,06 <sup>c</sup>	7,15 ± 0,54 <sup>b</sup>	8,91 ± 0,68 <sup>a</sup>	9,93 ± 0,50 <sup>a</sup>	<0,0001
3448	Densidade Final (peixes.m <sup>-3</sup> )	237 ± 5,77	243 ± 6,43	242 ± 6,93	233 ± 15,37	219 ± 5,13	0,1584
3449	Índice hepatossomático (%)	1,52 ± 0,46 <sup>b</sup>	1,54 ± 0,32 <sup>b</sup>	1,76 ± 0,70 <sup>b</sup>	2,35 ± 0,63 <sup>a</sup>	2,37 ± 0,55 <sup>a</sup>	<0,0001
3450	Índice viscerossomático (%)	13,16 ± 1,95	13,23 ± 1,83	14,26 ± 3,19	14,14 ± 3,28	14,04 ± 2,47	0,5833
3451	Índice lipossomático (%)	0,37 ± 0,48 <sup>d</sup>	0,87 ± 0,55 <sup>c</sup>	1,28 ± 0,82 <sup>bc</sup>	1,88 ± 0,63 <sup>ab</sup>	2,29 ± 1,51 <sup>a</sup>	<0,0001
3452	Índice de massa corpórea (g/cm <sup>2</sup> )	0,16 ± 0,02 <sup>c</sup>	0,20 ± 0,04 <sup>b</sup>	0,21 ± 0,05 <sup>b</sup>	0,27 ± 0,05 <sup>a</sup>	0,27 ± 0,04 <sup>a</sup>	<0,0001
3453	Coefficiente de compensação	0,54 ± 0,01 <sup>b</sup>	0,88 ± 0,03 <sup>a</sup>	0,91 ± 0,08 <sup>a</sup>	0,99 ± 0,14 <sup>a</sup>	1,00 ± 0,07 <sup>a</sup>	0,0010

3454 DPS – dias por semana. \*Médias seguidas por letras diferentes, na mesma linha, apresentam diferença significativa pelo teste de Tukey (P < 0,05).

3455

3456

3457

3458 Tabela 5: Parâmetros de eficiência nutricional de tilápia do Nilo (*Oreochromis niloticus*) submetida a ciclos de restrição alimentar em sistema de  
3459 bioflocos (BFT)

	Dias de alimentação					<i>P</i> - valor
	3 DPS	4 DPS	5 DPS	6 DPS	7 DPS	
Taxa de alimentação (%)	6,61 ± 0,43 <sup>a</sup>	4,05 ± 0,08 <sup>b</sup>	3,15 ± 0,07 <sup>b</sup>	2,36 ± 0,02 <sup>c</sup>	2,18 ± 0,04 <sup>c</sup>	<0,0001
Redução de alimento (%)	60,37	40,14	25,56	16,76	-	-
Ingestão diária de proteína (%)	64,54±2,77 <sup>a</sup>	41,22±0,52 <sup>b</sup>	32,13±1,47 <sup>c</sup>	23,15±1,43 <sup>d</sup>	20,20±0,61 <sup>d</sup>	<0,0001
Eficiência de retenção proteica (%)	30,17±1,62 <sup>c</sup>	38,01±0,95 <sup>b</sup>	40,26±3,93 <sup>b</sup>	48,32±1,66 <sup>a</sup>	47,90±2,60 <sup>a</sup>	<0,0001
Ganho de proteína (g)	144,27±8,54 <sup>c</sup>	323,80±13,22 <sup>b</sup>	427,72±63,33 <sup>b</sup>	573,19±66,45 <sup>a</sup>	682,16±67,00 <sup>a</sup>	<0,0001

3460 DPS – dias por semana. \*Médias seguidas por letras diferentes, na mesma linha, apresentam diferença significativa pelo teste de Tukey ( $P < 0,05$ ).

3461

3462 Tabela 6: Composição corporal (base da matéria natural) de tilápia do Nilo (*Oreochromis niloticus*) sob ciclos de restrição alimentar em sistema  
3463 de bioflocos (BFT)

Nutrientes	Dias de alimentação						<i>P</i> - valor
	PI	3 DPS	4 DPS	5 DPS	6 DPS	7 DPS	
Proteína Bruta (%)	11,01±1,11	13,77±1,35 <sup>b</sup>	14,23±0,34 <sup>ab</sup>	14,55±0,90 <sup>ab</sup>	15,03±1,35 <sup>ab</sup>	15,12±0,50 <sup>a</sup>	0,0305
Lipídeos (%)	1,78±0,02	5,38±0,42 <sup>c</sup>	6,27±0,09 <sup>b</sup>	6,46±0,50 <sup>ab</sup>	7,05±0,63 <sup>a</sup>	6,36±0,17 <sup>ab</sup>	<0,0001
Cinzas (%)	2,75±0,15	4,88±0,24	5,11±0,22	4,96±0,46	4,92±0,32	4,97±0,15	0,5617
Umidade (%)	83,44±0,02	75,13±1,34 <sup>a</sup>	73,58±0,38 <sup>ab</sup>	73,20±1,84 <sup>ab</sup>	71,66±0,93 <sup>b</sup>	71,90±1,25 <sup>ab</sup>	0,0393
Energia Bruta (kcal kg <sup>-1</sup> )*	735,28±24,68	1293,40±116,92 <sup>b</sup>	1386,44±13,47 <sup>ab</sup>	1436,42±83,96 <sup>ab</sup>	1368,87±190,69 <sup>ab</sup>	1516,97±126,13 <sup>a</sup>	0,0358

3464 PI – População inicial; DPS – dias por semana; \*Médias seguidas por letras diferentes, na mesma linha, apresentam diferença significativa pelo teste de  
3465 Tukey ( $P < 0,05$ ).

3466 \*\*Energia bruta: calculada a partir de valores fisiológicos padrão: 5,64 kcal/g de proteína, 4,11 kcal/g de carboidratos e 9,44 kcal/g de lipídeos  
3467 (NRC, 2011).

3468 Tabela 7: Composição química (base da matéria seca) do bioflocos proveniente da criação de tilápia do Nilo (*Oreochromis niloticus*) sob ciclos  
 3469 de restrição alimentar em sistema de bioflocos (BFT)

Nutrientes	Dias de alimentação					<i>P</i> - valor
	3 DPS	4 DPS	5 DPS	6 DPS	7 DPS	
Proteína bruta (%)	24,55±0,84 <sup>c</sup>	30,31±0,69 <sup>b</sup>	31,45±1,55 <sup>b</sup>	38,33±1,76 <sup>a</sup>	40,58±2,96 <sup>a</sup>	<0,0001
Lipídeos (%)	0,58±0,25	0,71±0,47	0,27±0,08	0,35±0,15	0,81±0,30	0,3815
Cinzas (%)	48,42±1,98 <sup>a</sup>	42,79±2,53 <sup>b</sup>	40,91±0,91 <sup>b</sup>	34,00±0,49 <sup>c</sup>	32,28±1,78 <sup>c</sup>	<0,0001
Fibra bruta (%)	1,69±0,35	1,81±0,25	1,51±0,11	1,59±0,113	1,89±0,16	0,0395
Umidade (%)	88,31±2,36	87,51±4,22	91,67±0,16	92,70±2,62	89,98±2,19	0,1633
Extrato não nitrogenado (%)	23,07±0,32	26,55±1,69	25,77±1,68	26,12±2,28	23,62±4,02	0,6412
Energia bruta (Kcal.kg <sup>-1</sup> )	1463,68±57,20 <sup>b</sup>	1757,50±72,37 <sup>b</sup>	1763,80±80,32 <sup>b</sup>	2252,76±7,69 <sup>a</sup>	2313±170,28 <sup>a</sup>	0,0011

3470 DPS – dias por semana. \*Médias seguidas por letras diferentes, na mesma linha, apresentam diferença significativa pelo teste de Tukey ( $P < 0,05$ ).

3471 \*Energia bruta: calculada a partir de valores fisiológicos padrão: 5,64 kcal/g de proteína, 4,11 kcal/g de carboidratos e 9,44 kcal/g de lipídeos  
 3472 (NRC, 2011).

3473

3474

3475

3476

3477

3478 Tabela 8: Parâmetros econômicos de produção de juvenis de tilápia do Nilo (*Oreochromis niloticus*) sob ciclos de restrição alimentar em Sistema  
 3479 de bioflocos (BFT)

Parâmetros	Dias de alimentação					P - valor
	3 DPS	4 DPS	5 DPS	6 DPS	7 DPS	
<i>Custo</i>						
Custo do alimento (US\$.Kg <sup>-1</sup> )	20,84±0,29 <sup>d</sup>	36,24±1,54 <sup>c</sup>	45,23±3,07 <sup>bc</sup>	52,80±7,44 <sup>b</sup>	66,99±5,35 <sup>a</sup>	<0,0001
Redução custo do alimento (%)	68,89	45,90	32,48	21,18	0,00	nc
Custo de alimentação (US\$)	24,76±2,02 <sup>c</sup>	33,54±2,08 <sup>bc</sup>	40,37±1,75 <sup>b</sup>	42,17±6,14 <sup>b</sup>	57,61±5,28 <sup>a</sup>	<0,0001
Redução custo da alimentação (%)	57,02	41,78	29,93	26,80	0,00	nc
FCR econômico	1,98±0,00 <sup>d</sup>	1,61±0,03 <sup>c</sup>	1,55±0,04 <sup>bc</sup>	1,39±0,01 <sup>a</sup>	1,49±0,02 <sup>b</sup>	<0,0001
<i>Receita</i>						
Preço do juvenil (US\$ por 1000 peixes)	60,90±0,35 <sup>c</sup>	85,10±1,32 <sup>b</sup>	98,06±5,45 <sup>b</sup>	115,66±10,31 <sup>a</sup>	129,14±6,37 <sup>a</sup>	<0,0001
Receita bruta (US\$ por 1000 peixes)	57,65±1,45 <sup>d</sup>	82,53±1,38 <sup>c</sup>	94,73±3,98 <sup>b</sup>	107,18±4,01 <sup>a</sup>	113,12±3,29 <sup>a</sup>	<0,0001
Margem de lucro bruto (US\$ por 1000 peixes)	32,89±2,02 <sup>c</sup>	48,98±3,32 <sup>b</sup>	54,36±3,17 <sup>b</sup>	65,01±4,17 <sup>a</sup>	55,52±2,05 <sup>b</sup>	<0,0001
Incremento na margem de lucro (%)	-45,76	-11,78	-2,09	17,09	0,00	nc
Lucratividade (%)	133,67±17,08 <sup>ab</sup>	146,85±19,43 <sup>ab</sup>	134,79±8,74 <sup>ab</sup>	156,98±29,34 <sup>a</sup>	97,13±12,37 <sup>b</sup>	0,0266

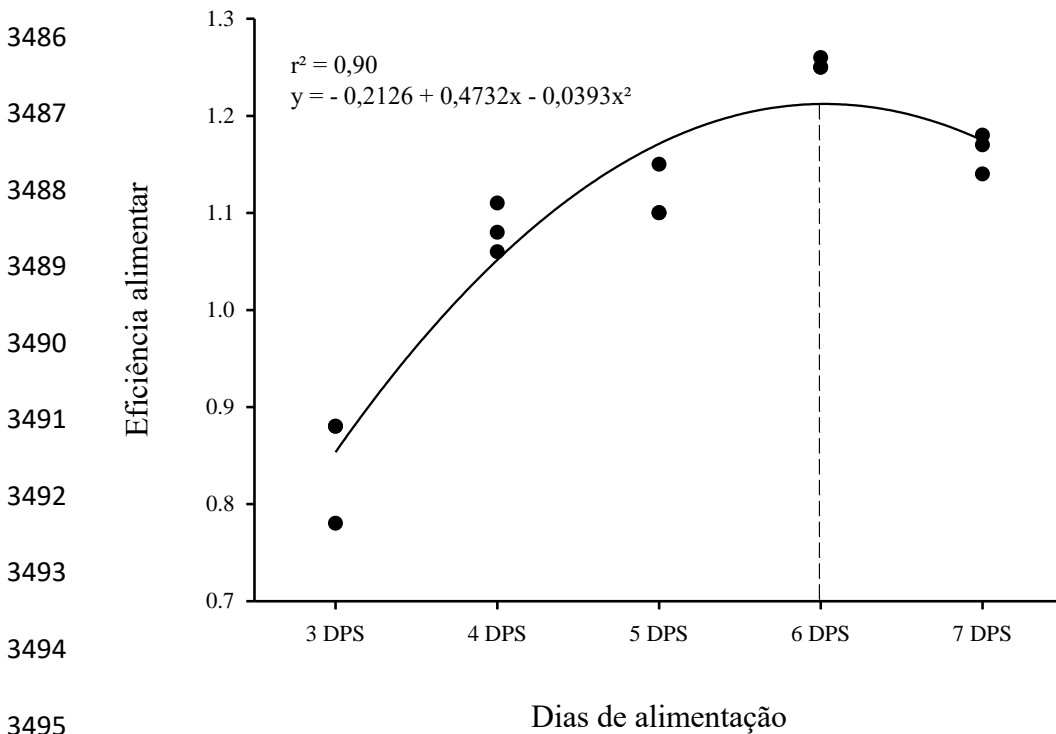
3480 DPS – dias por semana; nc: não calculado; \*Médias seguidas por letras diferentes, na mesma linha, apresentam diferença significativa pelo teste de Tukey  
 3481 (P < 0,05).

3482

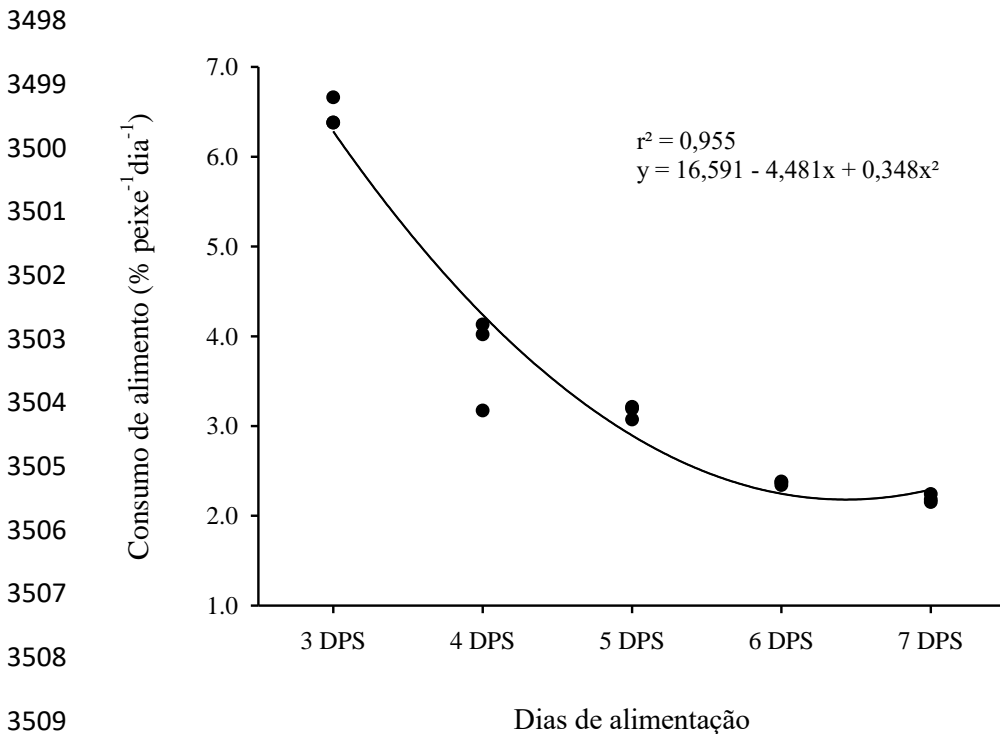
3483

3484

3485 ANEXO II - FIGURAS

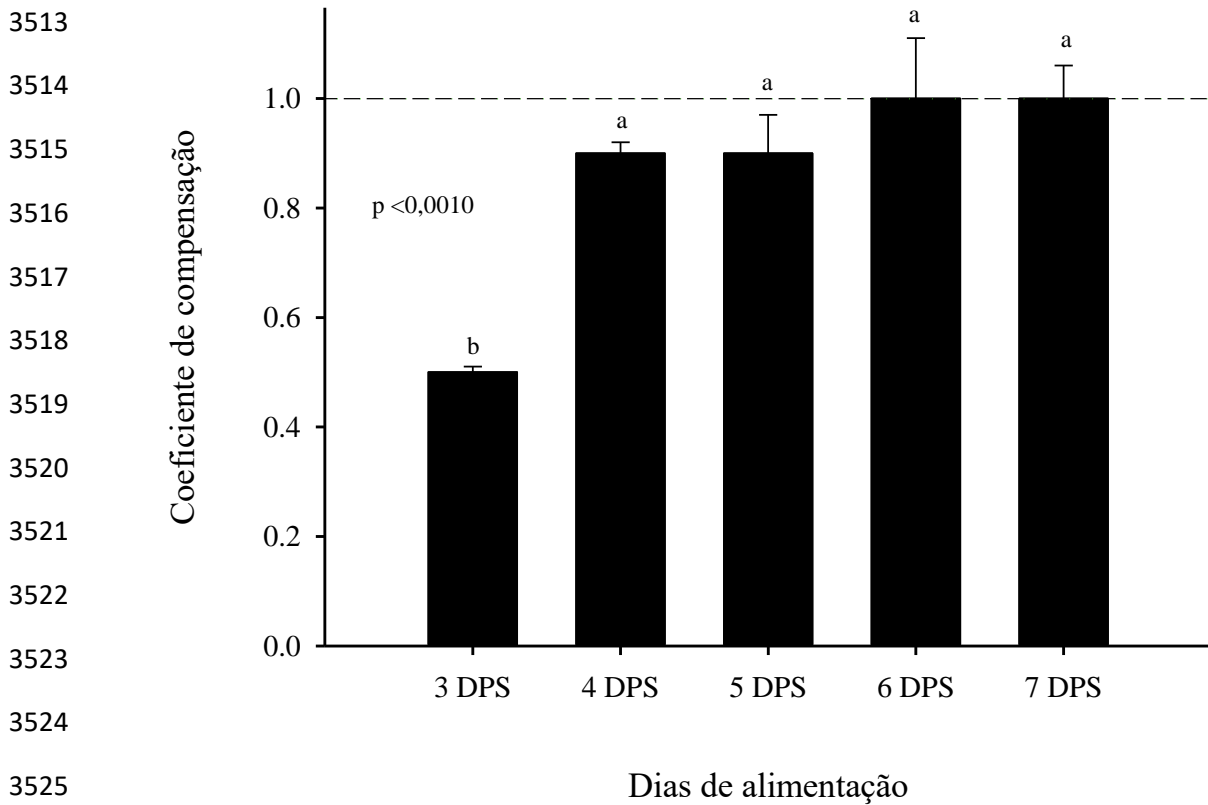


3496 Figura 1: Relação entre eficiência alimentar de juvenis de tilápia do Nilo (*Oreochromis*  
3497 *niloticus*) e ciclos de restrição alimentar em sistema de bioflocos (BFT)

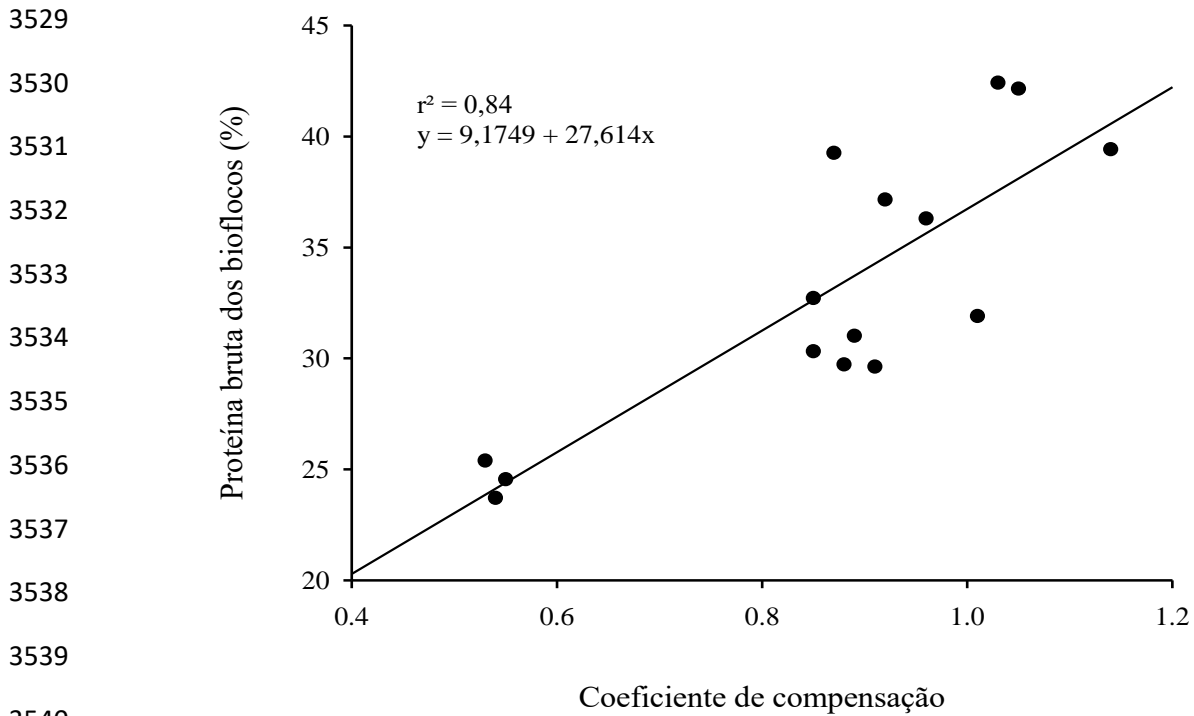


3510 Figura 2: Relação entre consumo de ração de juvenis de tilápia do Nilo (*Oreochromis*  
3511 *niloticus*) e ciclos de restrição alimentar em sistema de bioflocos (BFT)

3512



3526 Figura 3: Coeficiente de compensação de juvenis de tilápia do Nilo (*Oreochromis*  
 3527 *niloticus*) submetidos a diferentes ciclos de restrição alimentar em sistema de bioflocos  
 3528 (BFT)



3541 Figura 4: Correlação entre a proteína bruta do bioflocos e o coeficiente de compensação  
 3542 de juvenis de tilápia do Nilo (*Oreochromis niloticus*) submetidos a diferentes ciclos de  
 3543 restrição alimentar em sistema de bioflocos (BFT)

3544

3545

3546

3547

3548

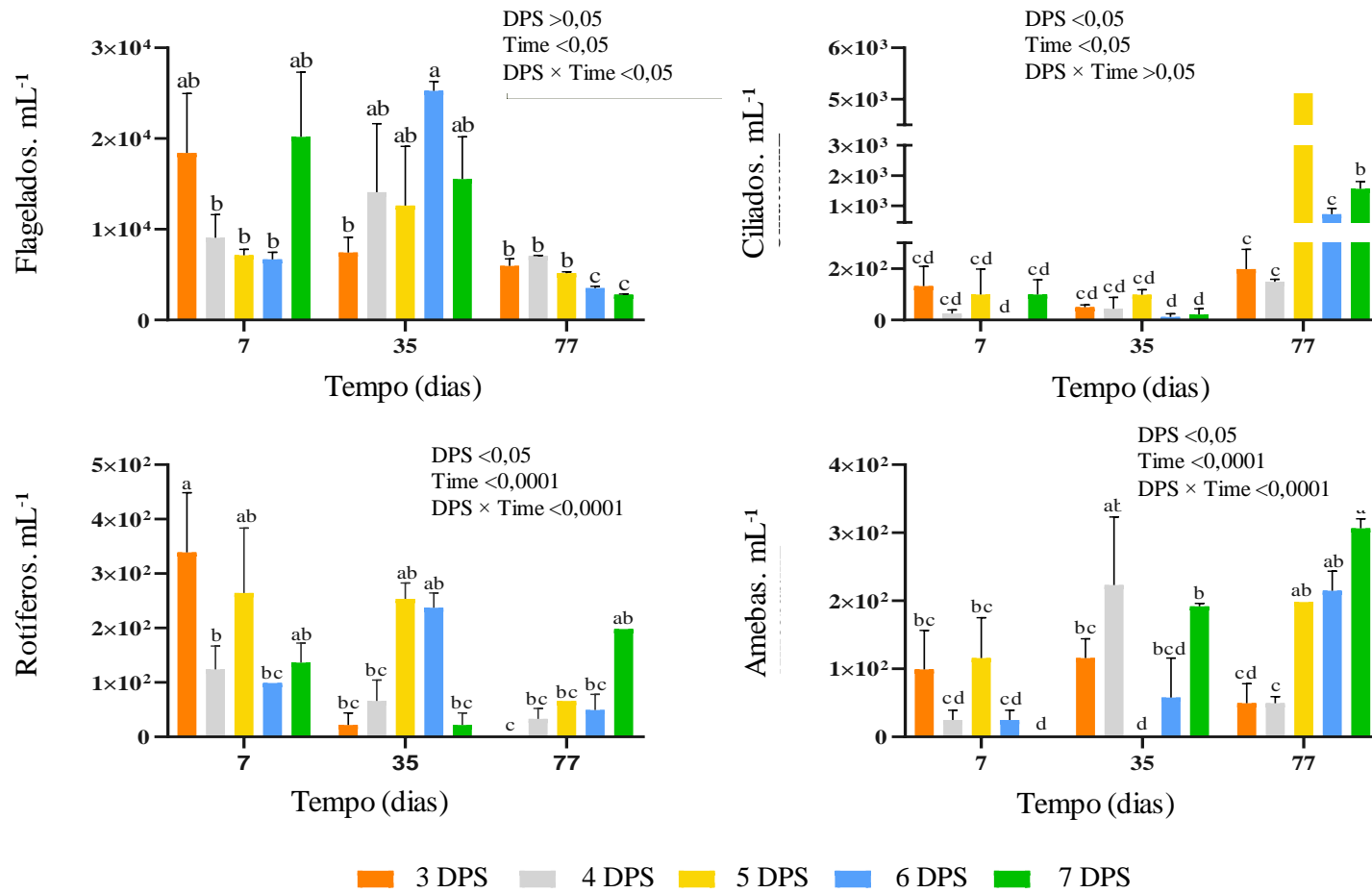
3549

3550

3551

3552

3553



3554 Figura 5: Variação da abundância de microrganismos – (A) flagelados, (B) ciliados, (C) rotíferos e (D) amebas em diferentes tempos na criação  
 3555 de juvenis de tilápia do Nilo (*Oreochromis niloticus*) submetidos a diferentes ciclos de restrição alimentar em sistema de bioflocos (BFT)

## 3556 CONCLUSÃO GERAL

3557 Os agregados microbianos podem ser aliados importantes no manejo alimentar  
3558 de juvenis de tilápia-do-Nilo (*Oreochromis niloticus*), porém a sua composição  
3559 nutricional pode ser um fator limitante para aplicação de manejos mais restritivos, pois  
3560 o perfil nutricional dos agregados microbianos é diretamente influenciado pelo aporte  
3561 de nutrientes no sistema. O *design* do sistema pode interferir tanto na qualidade  
3562 nutricional do bioflocos, como na sua capacidade de compensar o crescimento dos  
3563 peixes na ausência e/ou restrição de ração. Nossos estudos foram conduzidos em  
3564 sistema estático, o que nos permitiu observar e avaliar a influência do manejo na  
3565 dinâmica do sistema.

3566 A comunidade microbiana também pode ser influenciada pelos diferentes  
3567 manejos alimentares seja na sua abundância ou na sua concentração total. Na ausência  
3568 e/ou a restrição de alimento inerte os animais tendem a buscar ativamente por alimento,  
3569 aumentando assim o consumo aparente dos agregados microbianos. Como estratégia de  
3570 produção em um sistema de bioflocos estático, os juvenis de tilápia podem ser  
3571 submetidos a restrição alimentar de ração sem prejuízos ao seu crescimento em duas  
3572 condições distintas:

- 3573 1) Restrição total: por até uma semana (capítulo II); e
- 3574 2) Restrição parcial: ciclos de 1 dia de restrição/6 dia de alimentação (capítulo III).

3575 A restrição de alimento inerte associada ao bioflocos permite manter e  
3576 melhorar a eficiência alimentar (capítulo II e III), ao reduzir a quantidade de alimento a  
3577 ser ofertado (26.8%). Esse aspecto da alimentação é altamente desejável na criação  
3578 comercial, posto que os gastos com ração representam até 60% dos custos de produção.  
3579 Embora nessa fase, o consumo total de ração seja muito menor em relação as fases

3580 posteriores (recria e terminação), as rações comerciais destinadas as fases iniciais de  
3581 criação são mais caras pelo seu alto teor de proteína bruta. Nas condições de restrição  
3582 alimentar propostas (capítulo II e III), é intrigante como o bioflocos contribuiu para a  
3583 manutenção da sobrevivência dos animais mediante ao desafio nutricional. Esse aspecto  
3584 é importante na produção de juvenis de tilápia, haja visto que no Brasil há uma  
3585 crescente demanda por juvenis (20 a 50g) destinados à produção de peixes em tanques-  
3586 rede e para a antecipação da produção em viveiros escavados, como estratégia de  
3587 redução do tempo no ciclo de produção. Nessa fase, esses animais são comercializados  
3588 por unidade e apresentam valor agregado na composição do seu preço. Logo, além de  
3589 reduzir custos com alimentação o sistema BFT pode contribuir na manutenção  
3590 estratégica de lotes de juvenis de tilápia destinados a comercialização, especialmente em  
3591 regiões com gradientes climáticos como o sudeste e o sul do país.

3592

3593

3594

3595

3596

3597

3598

3599

3600

3601

3602 **PERSPECTIVAS FUTURAS**

3603           Em termos de contribuição dos bioflocos na alimentação dos peixes é de  
3604 extrema importância compreender melhor quais os fatores que associados ao aporte de  
3605 alimento no sistema podem influenciar a composição nutricional dos agregados  
3606 microbianos. Esse conhecimento, pode auxiliar na manipulação nutricional dos  
3607 bioflocos e aumentar a capacidade de compensação de crescimento durante manejos  
3608 alimentares restritos.

3609           Em nosso estudo, exploramos a capacidade do bioflocos em auxiliar a  
3610 manutenção do crescimento frente a ausência de alimento, e em ciclos de ausência e  
3611 presença de alimento. No entanto, existem diversas estratégias que podem ser  
3612 exploradas no campo da alimentação, onde os agregados microbianos podem contribuir  
3613 como fonte suplementar de alimento. Logo, estudos que explorem os processos de  
3614 realimentação após períodos de restrição alimentar na perspectiva de tempo de  
3615 realimentação, frequência de alimentação, da qualidade do alimento ofertado durante  
3616 esse período e/ou desses fatores associados são bem-vindos.